

**ITINERARIO INTERNAZIONALE E78**  
**S.G.C. GROSSETO - FANO**  
**ADEGUAMENTO A 4 CORSIE**  
**NEL TRATTO GROSSETO - SIENA (S.S. 223 "DI PAGANICO")**  
**DAL KM 41+600 AL KM 53+400 - LOTTO 9**

**PROGETTO ESECUTIVO**

**COD. FI15**

**PROGETTAZIONE: ATI SINTAGMA - GDG - ICARIA**

**IL RESPONSABILE DELL'INTEGRAZIONE DELLE PRESTAZIONI SPECIALISTICHE:**  
Dott. Ing. Nando Granieri  
Ordine degli Ingegneri della Prov. di Perugia n° A351

**IL GRUPPO DI PROGETTAZIONE:**

**MANDATARIA:**

**MANDANTI:**



**ICARIA**  
società di ingegneria

Dott. Ing. N. Granieri  
Dott. Arch. N. Kamenicky  
Dott. Ing. V. Truffini  
Dott. Arch. A. Bracchini  
Dott. Ing. F. Durastanti  
Dott. Ing. E. Bartolucci  
Dott. Geol. G. Cerquiglini  
Geom. S. Scopetta  
Dott. Ing. L. Sbrenna  
Dott. Ing. E. Sellari  
Dott. Ing. L. Dinelli  
Dott. Ing. L. Nani  
Dott. Ing. F. Pambianco  
Dott. Agr. F. Berti Nulli

Dott. Ing. D. Carlacchini  
Dott. Ing. S. Sacconi  
Dott. Ing. A. Rea  
Dott. Ing. V. De Gori  
Dott. Ing. C. Consorti  
Geom. F. Dominici

Dott. Ing. V. Rotisciani  
Dott. Ing. F. Macchioni  
Geom. C. Vischini  
Dott. Ing. V. Piunno  
Dott. Ing. G. Pulli  
Geom. C. Sugaroni

**IL PROGETTISTA:**

Dott. Ing. Federico Durastanti  
Ordine degli Ingegneri della Prov. di Terni n° A844

**IL GEOLOGO:**

Dott. Geol. Giorgio Cerquiglini  
Ordine dei Geologi della Regione Umbria n°108

**Il R.U.P.:**

Dott. Ing. Raffaele Franco Carso

**IL COORDINATORE PER LA SICUREZZA IN FASE DI PROGETTAZIONE:**

Dott. Ing. Filippo Pambianco  
Ordine degli Ingegneri della Prov. di Perugia n° A1373

**PROTOCOLLO**

**DATA**



**OPERE DI SOSTEGNO**  
**Opera di sostegno OS04**  
**Relazione di calcolo**

| CODICE PROGETTO |             |          | NOME FILE         |         | REVISIONE    | SCALA:     |
|-----------------|-------------|----------|-------------------|---------|--------------|------------|
| PROGETTO        | LIV. PROG.  | N. PROG. | T00-OS04-STR-RE01 |         |              |            |
| LOFI15          | E           | 1901     | T00OS04STRRE01    |         | A            | -          |
|                 |             |          |                   |         |              |            |
|                 |             |          |                   |         |              |            |
| A               | Emissione   |          | 28/02/2020        | L.Nani  | E.Bartolucci | N.Granieri |
| REV.            | DESCRIZIONE |          | DATA              | REDATTO | VERIFICATO   | APPROVATO  |

## INDICE

|   |           |
|---|-----------|
| <b>1. PREMESSA</b> .....  | <b>2</b>  |
| <b>2. NORMATIVA DI RIFERIMENTO</b> .....  | <b>3</b>  |
| <b>3. CARATTERISTICHE DEI MATERIALI</b> .....   | <b>4</b>  |
| <b>3.1 ELEMENTO DI RINFORZO</b> .....   | <b>4</b>  |
| <b>3.2 REQUISITI RICHIESTI PER IL RILEVATO STRUTTURALE</b> .....                      | <b>6</b>  |
| <b>4. ISTRUZIONI OPERATIVE PER LA REALIZZAZIONE DEL RILEVATO STRUTTURALE</b> <b>8</b> |           |
| <b>4.1 STESA DEL MATERIALE</b> .....  | <b>8</b>  |
| <b>4.2 COMPATTAZIONE</b> .....  | <b>8</b>  |
| <b>4.3 CONDIZIONI CLIMATICHE</b> .....  | <b>9</b>  |
| <b>4.4 RILEVATI DI PROVA</b> .....  | <b>9</b>  |
| <b>4.5 PROVE DI CONTROLLO</b> .....   | <b>9</b>  |
| <b>5. CARATTERIZZAZIONE GEOTECNICA</b> .....  | <b>11</b> |
| <b>6. CONDIZIONI DI CARICO VERIFICATE</b> .....                                       | <b>12</b> |
| <b>7. COEFFICIENTI DI SICUREZZA PARZIALI</b> .....                                    | <b>13</b> |
| <b>8. IPOTESI DI CALCOLO</b> .....  | <b>14</b> |
| <b>9. METODO DI CALCOLO</b> .....   | <b>15</b> |
| <b>9.1 GENERAZIONE DELLE SUPERFICI DI ROTTURA</b> .....                               | <b>18</b> |
| <b>9.2 CARICHI DINAMICI DOVUTI A FORZE DI NATURA SISMICHE</b> .....                   | <b>19</b> |
| <b>10. TABULATI DI CALCOLO</b> .....  | <b>22</b> |

## 1. PREMESSA

Il presente documento viene emesso nell’ambito della redazione degli elaborati tecnici relativi alla progettazione esecutiva dell’ampliamento da 2 a 4 corsie dell’Itinerario internazionale E78 S.G.C. Grosseto – Fano, Lotto 9.

Oggetto della presente relazione sono le analisi e le verifiche statiche dell’opera di sostegno OS04, realizzata in terra rinforzata a paramento rinverdito.

Le strutture sono progettate coerentemente con quanto previsto dalla normativa vigente, Norme Tecniche delle Costruzioni 2018.

## 2. NORMATIVA DI RIFERIMENTO

Il progetto è stato redatto sulla base delle seguenti normative e standard progettuali:

- Decreto Ministeriale del 17/01/2018 - “Norme Tecniche per le Costruzioni”.
- Eurocodice 7 “Progettazione geotecnica - Parte 1: Regole generali”, aprile 1997.
- Eurocodice 8 “Indicazioni progettuali per la resistenza sismica delle strutture – Parte 1: Regole generali - azioni sismiche e requisiti generali per le strutture”, ottobre 1997;
- Eurocodice 8 “Indicazioni progettuali per la resistenza sismica delle strutture – Parte 5: Fondazioni, strutture di contenimento ed aspetti geotecnici”, febbraio 1998;
- UNI EN 14475 - Esecuzione di lavori geotecnici speciali - Terra rinforzata;
- UNI 10006 - Costruzione e manutenzione delle strade - Tecniche di impiego delle terre;
- ASTM D 3282 - Standard Practice for Classification of Soils and Soil-Aggregate Mixtures for Highway Construction Purposes;
- UNI EN 13242 - Aggregati per materiali non legati e legati con leganti idraulici per l'impiego in opere di ingegneria civile e nella costruzione di strade;
- UNI EN 13285 - Miscele non legate – Specifiche;
- UNI EN ISO 14688-1 - Indagini e prove geotecniche - Identificazione e classificazione dei terreni - Identificazione e descrizione.

### 3. CARATTERISTICHE DEI MATERIALI

#### 3.1 Elemento di rinforzo

La struttura di sostegno in terra rinforzata con paramento rinverdibile è realizzata in elementi marcati CE in accordo con la ETA 16/0767 per gli specifici impieghi come “sistemi in rete metallica per il rinforzo del terreno per opere di sostegno”. La struttura è costituita da elementi di armatura planari orizzontali, larghi 3.0 m, in rete metallica a doppia torsione, realizzati in accordo con le “Linee Guida per la certificazione di idoneità tecnica all’impiego e l’utilizzo di prodotti in rete metallica a doppia torsione “approvate dal Consiglio Superiore LL.PP. (n.69/2013), ed in accordo con la UNI EN 10223-3:2013.

La rete metallica a doppia torsione deve essere realizzata con maglia esagonale tipo 8x10 (UNI-EN 10223-3), tessuta con filo in acciaio trafilato, avente un diametro pari 2.70 mm, galvanizzato con lega eutettica di Zinco - Alluminio (5%), conforme all’EN 10244-2 (Classe A) con un quantitativo non inferiore a 245 g/mq. Oltre a tale trattamento il filo sarà ricoperto da un rivestimento di materiale plastico che dovrà avere uno spessore nominale di 0.50 mm, portando il diametro esterno al valore nominale di 3.70 mm. La resistenza del polimero ai raggi UV sarà tale che a seguito di un’esposizione di 2500 ore a radiazioni UV (secondo ISO 4892-2 o ISO 4892-3) il carico di rottura e l’allungamento a rottura non variano in misura maggiore al 25%.

La resistenza a trazione della rete dovrà essere non inferiore a 50 kN/m (test eseguiti in accordo alla UNI EN 10223-3:2013).

La rete una volta sottoposta al 50% del carico massimo a rottura per trazione pari a 25 kN/m, non dovrà presentare rotture del rivestimento plastico del filo all’interno delle torsioni.

Capacità di carico a punzonamento della rete dovrà essere non inferiore a 65 kN (test eseguiti in accordo alla UNI 11437 e alla ISO 17746).

La rete deve presentare una resistenza a corrosione in SO<sub>2</sub> (0,2 dm<sup>3</sup> SO<sub>2</sub> per 2 dm<sup>3</sup> acqua) tale per cui dopo 28 cicli la percentuale di ruggine rossa non deve essere superiore al 5% (test eseguito in accordo alla EN ISO 6988).

La rete deve presentare una resistenza a corrosione in test in nebbia salina tale per cui dopo 6000h la percentuale di ruggine rossa non deve essere superiore al 5% (test eseguito in accordo alla EN ISO 9227).

Ogni singolo elemento è provvisto di barrette di rinforzo galvanizzate con lega eutettica di Zinco - Alluminio (5%), con un quantitativo non inferiore a 265 g/mq e plasticate, aventi diametro pari a 3.40/4.40 mm e inserite all’interno della doppia torsione delle maglie, in corrispondenza dello spigolo superiore ed inferiore del paramento. Il paramento in vista sarà provvisto inoltre di un elemento di irrigidimento interno assemblato in fase di produzione in stabilimento, costituito da un pannello di rete elettrosaldato con diametro non inferiore a 6 mm e da un idoneo ritentore di fini. Il paramento sarà fissato con pendenza variabile, per mezzo di

elementi a squadra realizzati in tondino metallico e preassemblati alla struttura. Gli elementi di rinforzo contigui saranno posti in opera e legati tra loro con punti metallici meccanizzati galvanizzati con Galmac lega eutettica di Zinco - Alluminio (5%) classe A secondo la UNI EN 10244-2, con diametro 3.00 mm e carico di rottura minimo pari a 1700 MPa.

Il Sistema Qualità della ditta produttrice dovrà essere inoltre certificato in accordo alla ISO 9001:2008 da un organismo terzo indipendente. Il Sistema di Gestione Ambientale della ditta produttrice dovrà essere inoltre certificato in accordo alla ISO 14001:2004 da un organismo terzo indipendente.

Le lunghezze dei rinforzi sono riportate negli elaborati grafici di dettaglio e nei tabulati di dimensionamento allegati.

I rinforzi previsti per la realizzazione dei muri in terra rinforzata sono costituiti da geogriglie.

Queste geogriglie sono costituite da due ordini di nastri tra loro saldati ortogonalmente così da ottenere una struttura di rinforzo a “griglia”. I singoli nastri sono costituiti da filamenti di poliestere ad alta tenacità allineati ed incapsulati in una guaina protettiva di rivestimento di polietilene (LDPE).

Le caratteristiche meccaniche delle geogriglie previste in progetto sono riportate nella tabella di seguito:

|  |      |
|--|------|
| resistenza a trazione longitudinale (kN/m)           | 200  |
| resistenza a trazione trasversale (kN/m)             | 6    |
| allungamento a rottura nelle due direzioni (v.medio) | ≤11% |

### 3.2 Requisiti richiesti per il rilevato strutturale

Il terreno di riempimento che costituisce il rilevato strutturale dell'opera, potrà provenire sia da scavi precedentemente eseguiti sia da cave di prestito e facendo riferimento alle classificazioni ASTM D 3282 o UNI 10006 dovrà appartenere ai A1-a, A1-b, A3, A2-4, A2-5 con esclusione di pezzature superiori a 250mm.

Il materiale con dimensioni superiori a 100 mm è ammesso con percentuale inferiore al 15% del totale.

In ogni caso dovranno essere rispettate le seguenti condizioni:

- a) Il materiale da rilevato sarà idoneo quando la percentuale passante al setaccio da 75 micron (0,075 mm.), secondo l'analisi granulometrica, è inferiore del 15%.
- b) Qualora non fosse verificata la precedente condizione a), il materiale da rilevato sarà comunque considerato idoneo quando:
  - la percentuale del campione esaminato per sedimentazione passante al vaglio di 15 micron (0,015 mm.), è inferiore al 10%;
  - la percentuale sulle prove realizzate per sedimentazione rimane compresa tra il 10% e 20% e l'angolo di attrito interno, misurato con prove di taglio su campioni saturi, è superiore a 25°.

In ogni caso saranno esclusi elementi di diametro maggiore o uguale a 250mm, e i materiali che, da prove opportune, presentino angoli d'attrito minori di quelli previsti in progetto.

Il peso di volume del terreno di riempimento, in opera compattato, dovrà essere superiore a quanto indicato nella presente relazione al capitolo “ipotesi di calcolo”. Tale materiale dovrà essere compattato fino a raggiungere il 95% della densità secca AASHTO (ASTM D1557).

Il valore di attività degli ioni (pH) misurato sull'acqua del campione di terra saturato, dovrà essere compreso tra 5 e 10.

Il contenuto in cloruri e solfati dovrà essere determinato soltanto per quei materiali la cui resistività sia compresa tra i 1.000 e i 5.000 Ohm cm. e in questo caso non dovrà eccedere i seguenti valori:

|         | <i>Opere a secco</i> | <i>Opere in acqua dolce</i> | <i>Metodo di Prova di Riferimento</i> |
|---------|----------------------|-----------------------------|---------------------------------------|
| [Cl-]   | 200 mg/kg            | 100 mg/kg                   | UNI EN 1744-1                         |
| [SO4==] | 200 mg/l             | 100 mg/l                    | EN 196-2                              |
| [NH4+]  | 15 mg/l              | 15 mg/l                     | ISO 7150-1 o 7150-2                   |
| [Mg++]  | 300 mg/l             | 300 mg/l                    | ISO 7980                              |

Per la determinazione dell'idoneità del materiale da porre in opera nella porzione rinforzata del rilevato si effettueranno preventivamente le seguenti prove:

- analisi granulometrica con relativa classificazione CNR-UNI 10006;
- determinazione del contenuto naturale d'acqua;

- determinazione del limite liquido e dell'indice di plasticità sull'eventuale porzione di passante al setaccio 0,4 UNI 2332;
- prova Proctor per la determinazione del grado di umidità ottimale - AASHTO mod. T180.
- prova di compattazione AASHTO;
- Determinazione del valore della resistività e del pH per ogni campione della stessa provenienza.

Materiali non conformi alle specifiche potranno essere usati solo su autorizzazione scritta del progettista ed approvate dalla DD.LL.



## 4. ISTRUZIONI OPERATIVE PER LA REALIZZAZIONE DEL RILEVATO STRUTTURALE

Il materiale verrà posto in opera per strati di altezza pari a circa 375 mm.

La posa del rilevato seguirà immediatamente il montaggio di ciascuna fila di pannelli; in corrispondenza di ogni strato di rinforzo il materiale sarà steso e compattato prima della posa e del fissaggio delle stesse.

### 4.1 Stesa del materiale

La stesa del materiale dovrà essere eseguita sistematicamente per strati di spessore costante e con modalità e attrezzature atte ad evitare segregazione, brusche variazioni granulometriche e del contenuto d'acqua.

Durante le fasi di lavoro, e ad opera ultimata, si dovrà garantire il rapido deflusso delle acque meteoriche conferendo sagomature aventi pendenza trasversale non inferiore al 4%, perpendicolare al paramento e a scendere verso la coda dei rinforzi.

Lo spessore del materiale sciolto di ogni singolo strato di rilevato non dovrà risultare superiore a 40 cm. La stesa avverrà sempre parallelamente al paramento esterno.

### 4.2 Compattazione

Il grado di compattazione sarà  $\geq 95\%$  del valore fornito dalla prova AASHTO mod. T 180. La compattazione potrà aver luogo soltanto dopo aver accertato che il contenuto d'acqua delle terre sia prossimo ( $\pm 1,5\%$  ca.) a quello ottimale determinato mediante la prova AASHTO mod. T 180.

Se tale contenuto dovesse risultare superiore, il materiale dovrà essere essiccato per aerazione. Se inferiore l'aumento sarà conseguito per umidificazione e con modalità tali da garantire una distribuzione uniforme dell'acqua entro l'intero spessore dello strato.

Tipo, caratteristiche e numero dei mezzi di compattazione, e anche le modalità esecutive di dettaglio (numero di passate, velocità operativa, frequenza), dovranno essere tali da garantire le caratteristiche del rilevato Strutturale di cui al capitolo 5.

La compattazione a tergo del paramento dovrà essere tale da escludere una riduzione nell'addensamento.

In particolare, si dovrà evitare che grossi rulli vibranti operino entro una distanza  $\leq 1,5$  m dai paramenti della terra armata.

A questa distanza si useranno mezzi di compattazione leggeri quali piastre vibranti, piccoli rulli vibranti, badando a garantire i valori di densità richiesti, operando, se necessario, su strati di spessore ridotto.

Qualora si dovessero manifestare erosioni di sorta sul terreno già steso, si dovrà provvedere al ripristino delle zone danneggiate.

### 4.3 Condizioni climatiche

La costruzione dei rilevati in presenza di gelo o di pioggia persistenti non sarà consentita in linea generale, tranne per quei materiali meno suscettibili all'azione del gelo e delle acque meteoriche (es. ghiaia). Nella esecuzione di rilevati con terre ad elevato contenuto della frazione coesiva dovranno essere tenuti a disposizione anche dei rulli gommati che permettano la chiusura della superficie dell'ultimo strato in caso di pioggia.

### 4.4 Rilevati di prova

Quando prescritto dalla Direzione Lavori, l'Impresa procederà alla esecuzione dei rilevati di prova.

In particolare, si potrà fare ricorso ai rilevati di prova per verificare l'idoneità di materiali diversi da quelli specificati nei precedenti capitoli.

Il rilevato di prova consentirà di individuare le caratteristiche fisico-meccaniche dei materiali messi in opera, le caratteristiche dei mezzi di compattazione (tipo, peso, energie vibranti) e le modalità esecutive più idonee (numero di passate, velocità del rullo, spessore degli strati, ecc.), le procedure di lavoro e di controllo cui attenersi nel corso della formazione dei rilevati.

### 4.5 Prove di controllo

Prima che venga messo in opera uno strato di terreno nel rilevato rinforzato, quello precedente dovrà essere sottoposto alle prove di controllo e possedere i requisiti di costipamento richiesti.

La frequenza delle prove di seguito specificata, deve ritenersi come minima e potrà essere aumentata, in considerazione della maggiore o minore omogeneità granulometrica dei materiali portati a rilevato e della variabilità nelle procedure di compattazione.

Le prove andranno distribuite in modo tale da essere sicuramente rappresentative in relazione alle caratteristiche dei terreni utilizzati.

La serie di prove sui primi 5000 mc. Potrà essere effettuata una sola volta a condizione che i materiali mantengano caratteristiche omogenee e siano costanti le modalità di compattazione.

FREQUENZA MINIMA DELLE PROVE

RILEVATI RINFORZATI DA RINFORZI LINEARI

| Tipo di Prova   | PRIMI 5000 mc<br>Ripetere la prova ogni<br>(m3) | SUCCESSIVI mc<br>Ripetere la prova ogni<br>(m3) |
|---|---|---|
| Classif. CNR - UNI 10006  | 2000  | 5000  |
| pH  | 2000 <sup>a</sup>                               | 5000  |
| Contenuto in cloruri e solfati per valori di resistività tra 1000/5000 Ohm.cm | 5000 <sup>a</sup>                               | 5000  |
| Costip. AASHTO Mod. CNR   | 2000  | 5000  |
| Densità in sito CNR 22  | 250   | 1000  |
| Carico su piastra CNR 9 - 70317   | 1000  | 5000  |

| Tipo di Prova     | PRIMI 5000 mc<br>Ripetere la prova ogni<br>(m3) | SUCCESSIVI mc<br>Ripetere la prova ogni<br>(m3) |
|-------------------|---|---|
| Controllo umidità | *   | *   |

NOTE:

a – Prove da effettuare solo nel caso di utilizzo di rinforzi in acciaio

\* Frequenti e rapportate alle condizioni meteorologiche locali ed alle caratteristiche di omogeneità dei materiali costituenti il rilevato

## 5. CARATTERIZZAZIONE GEOTECNICA

Si riportano di seguito i parametri di resistenza e deformabilità dei terreni attraversati in accordo con la caratterizzazione geotecnica.

| Unità geotecniche |                 | Unità geologiche |   | $\gamma$             | $c'$  | $\varphi'$ | $z$         | $c_u$   | $E'$    | OCR   |
|-------------------|-----------------|------------------|---|----------------------|-------|------------|-------------|---------|---------|-------|
|                   |                 |                  |   | [kN/m <sup>3</sup> ] | [kPa] | [°]        | [m da p.c.] | [kPa]   | [MPa]   | [-]   |
| A                 | Sabbia e ghiaia | at, at2, at3     | alluvioni fluviali terrazzate recenti e antiche | 19.5                 | 10÷20 | 25÷27      | 0÷2         | -       | 5÷20    | -     |
|                   |                 |                  |   |                      |       |            | >2          |         | 25÷50   |       |
| B                 | Argilliti       | Pb               | Argille a Palombini                             | 20                   | 10÷25 | 28÷30      | 0÷20        | 150÷250 | 50÷120  | 3÷5   |
|                   |                 |                  |   |                      |       |            | >20         | 100÷200 | 100÷220 | 1.5÷3 |
| C                 | Calcare/Ghiaia  | CV               | Calcare Cavernoso                               | 21                   | 10÷15 | 34÷35      | 0÷10        | -       | 40÷80   | -     |
|                   |                 |                  |   |                      |       |            | >10         |         | 60÷120  |       |
| D                 | Breccia/Ghiaia  | CM               | Brecce di Grotti                                | 19                   | 0     | 35÷37      | 0÷20        | -       | 50÷100  | -     |
|                   |                 |                  |   |                      |       |            | >20         |         | 100÷200 |       |
| E                 | Argille/Limi    | dl, Pa, Ps       | Depositi lacustri, argille e sabbie plioceniche | 19.5                 | 10÷30 | 23÷25      | 0÷20        | 100÷200 | 40÷80   | 3÷5   |
|                   |                 |                  |   |                      |       |            | >20         |         | 80÷120  | 1.5÷3 |

Tabella 1: Caratterizzazione geotecnica

La falda non è presente nel tratto interessato dall'opera e pertanto non verrà considerata ai fini del dimensionamento.

## 6.CONDIZIONI DI CARICO VERIFICATE

Il dimensionamento della struttura è stata condotte sulla base dei dati forniti dal cliente secondo gli Stati Limite Ultimi (SLU - SLV) sia in condizioni statiche che in condizioni sismiche.

In accordo con le nuove Norme Tecniche per le Costruzioni di cui al D.M. 17/01/2018 - capitolo 6 – sono stati applicati coefficienti parziali ai carichi, ai parametri geotecnici ed alle resistenze (come definiti nel capitolo successivo).

Per quanto riguarda la stabilità globale si è utilizzato l'Approccio 1 Combinazione 2: A2+M2+R2 (NTC2018 par. 6.5.3.1.1 Muri di sostegno).

Per quanto riguarda le verifiche agli SLU di tipo geotecnico (GEO) cioè per le Verifiche Esterne a Scorrimento della Fondazione, verifica di Capacità Portante della Fondazione e verifica a Ribaltamento della Struttura si è utilizzato l'Approccio 2: A1+M1+R3 (NTC2018 par. 6.5.3.1.1 Muri di sostegno).

Per quanto riguarda le verifiche agli SLU di tipo strutturale (STR), per le Verifiche di resistenza degli elementi strutturali si è utilizzato l'Approccio 2: A1+M1+R3 (NTC2018 par. 6.5.3.1.1 Muri di sostegno).

In accordo con le nuove Norme Tecniche per le Costruzioni di cui al D.M. 17/01/2018 - capitolo 7.11 – sono state condotte anche le verifiche in condizioni sismiche applicando i coefficienti parziali dei parametri geotecnici ed alle resistenze (come definiti nel capitolo successivo), mentre i coefficienti parziali dei carichi sono stati posti pari ad 1.

Per quanto riguarda la stabilità globale si è utilizzato l'Approccio 1 Combinazione 2: M2+R2+kh±kv (NTC2018 par. 6.5.3.1.1 Muri di sostegno).

Per quanto riguarda le verifiche agli SLU di tipo geotecnico (GEO) cioè per le Verifiche Esterne a Scorrimento della Fondazione, verifica di Capacità Portante della Fondazione e verifica a Ribaltamento della Struttura si è utilizzato l'Approccio 2: M1+R3+kh±kv (NTC2018 par. 6.5.3.1.1 Muri di sostegno).

Per quanto riguarda invece le verifiche agli SLU di tipo strutturale (STR) (NTC2018 par. 6.5.3.1.1 Muri di sostegno), per le Verifiche di resistenza degli elementi strutturali si è utilizzato l'Approccio 2: M1+R3+kh±kv.

## 7. COEFFICIENTI DI SICUREZZA PARZIALI

Il progetto strutturale e geotecnico delle opere in esame sarà condotto in conformità alle indicazioni del D.M. 17/01/2018 (rif. Cap. 6 e Cap. 7).

Nell'ambito delle verifiche allo Stato Limite Ultimo si sono adottati i seguenti coefficienti parziali:

| Coefficienti PARZIALI DEI PARAMETRI DI RESISTENZA $\gamma_R$ |      |       |      |       |
|--|------|-------|------|-------|
| $R_d = R_k / \gamma_R$                                       | R2   | R2(*) | R3   | R3(*) |
| Stabilità  | 1,10 | 1,20  | 1,00 | 1,20  |
| Scorrimento - Slittamento per attrito                        | 1,00 | 1,00  | 1,10 | 1,00  |
| Ribaltamento   | 1,00 | 1,00  | 1,15 | 1,00  |
| Capacità portante della Fondazione - Punzonamento            | 1,00 | 1,00  | 1,40 | 1,20  |

| Coefficienti PARZIALI DEI PARAMETRI GEOTECNICI $\gamma_M$ |      |       |      |       |
|---|------|-------|------|-------|
|   | M1   | M1(*) | M2   | M2(*) |
| Peso unità di volume ( $\gamma_f$ )                       | 1,00 | 1,00  | 1,00 | 1,00  |
| Angolo di attrito $\tan\phi'_k$ ( $\gamma_{\phi'}$ )      | 1,00 | 1,00  | 1,25 | 1,00  |
| Coesione efficace $c'_k$ ( $\gamma_{c'}$ )                | 1,00 | 1,00  | 1,25 | 1,00  |
| Resistenza non drenata $c_{uk}$ ( $\gamma_{cu}$ )         | 1,00 | 1,00  | 1,40 | 1,00  |

| Coefficienti PARZIALI DELLE AZIONI $\gamma_F$  |             |      |       |      |       |
|--|-------------|------|-------|------|-------|
|  |             | A1   | A1(*) | A2   | A2(*) |
| <b>PERMANENTI:</b><br>(Pesi, spinte geostatiche del terreno;<br>sovraccarichi permanenti)<br><br>( $\gamma_{G1}$ ) | Favorevole  | 1,00 | 1,00  | 1,00 | 1,00  |
|  | Sfavorevole | 1,30 | 1,00  | 1,00 | 1,00  |
| <b>VARIABILI:</b><br>(sovraccarichi variabili; sisma; spinte<br>relative indotte)<br><br>( $\gamma_{G1}$ )         | Favorevole  | 0,00 | 1,00  | 0,00 | 1,00  |
|  | Sfavorevole | 1,50 | 1,00  | 1,30 | 1,00  |

(Rif. D.M. 17/01/2018 Tab. 6.2.I, Tab. 6.2.II, Par. 7.11.6.2.2 e Par. 7.11.4)

Nota:

Coefficienti parziali dei carichi e delle spinte (i carichi permanenti non strutturali sono assimilati ai sovraccarichi permanenti in quanto compiutamente definiti).

(\*) condizioni sismiche: nel caso di verifiche sismiche i coefficienti parziali sulle azioni e sui parametri geotecnici vengono posti pari all'unità (Rif. 7.11.6.2.2 del D.M. 17/01/2018).

## 8. IPOTESI DI CALCOLO

- Comune di costruzione o coordinate topografiche: Monticiano
- Vita nominale dell'opera -  $V_N$  (Rif. D.M. 17/01/2018 tab 2.4.I) 50 anni
- Coefficiente d'uso -  $C_U$  (Rif. D.M. 17/01/2018 tab 2.4.II) Classe IV
- Categoria del Sottosuolo (Rif. D.M. 17/01/2018 tab. 3.2.II e tab. 3.2.IV) C
- Categoria Topografica (Rif. D.M. 17/01/2018 Tab. 3.2.III e Tab. 3.2.V) T1

Nei calcoli di stabilità e resistenza si sono assunte le caratteristiche fisiche dei terreni. La caratterizzazione geomeccanica dei terreni è riportata negli allegati di calcolo.

Si è considerato agente un sovraccarico accidentale pari a 20 kPa.

Per le verifiche sismiche il sovraccarico accidentale dovuto al transito di mezzi viene moltiplicato per il fattore  $\psi_{2j} = 0.2$  in accordo con D.M. 17/01/2018 cap. 5.1.3.12.

Il calcolo viene inoltre eseguito tenendo conto delle azioni sismiche dell'area oggetto del progetto secondo quanto prescritto da D.M. 17/01/2018 per cui:

Accelerazione orizzontale massima attesa su suolo rigido:  $a_g/g = 0,21$

Coefficiente di sottosuolo:  $S = S_s \times S_t = 1,38$

Coefficiente di riduzione:  $\beta_m = 0,38$  (valore riferito allo stato limite ultimo SLV);

Coefficiente sismico orizzontale  $k_h$ :  $= S \times a_g/g \times \beta_m = 1,384 \times 0,210 \times 0,38 = 0,11$

Coefficiente sismico verticale  $k_v$ :  $= k_h / 2 = \pm 0,055$

Il dimensionamento delle strutture in progetto è stato eseguito con riferimento a quanto riportato nelle seguenti tabelle ed eventualmente integrato e dettagliato nel proseguo del paragrafo. Per le altezze delle sezioni di calcolo si rimanda ai relativi tabulati ed agli eventuali disegni acclusi alla presente nota oltre che alle tavole di progetto.

| DATI<br>GEOTECNICI                | Terreno in sito | Vedi sezioni di calcolo nei tabulati allegati |                        |                        |
|-----------------------------------|-----------------|---|------------------------|------------------------|
|                                   | Fondazione      |   |                        |                        |
|                                   | Rilevato        | $\gamma_3 = 19.0 \text{ kN/m}^3$              | $\varphi_3 = 35^\circ$ | $c'_3 = 0 \text{ kPa}$ |
| CARICHI<br>ACCIDENTALI<br>ESTERNI | Dinamico        | 20 kPa (4 kPa in condizioni sismiche)         |                        |                        |
|                                   | Sismico         | $K_h = 0,110$                                 | $K_v = 0,055$          |                        |

## 9. METODO DI CALCOLO

L'esame delle condizioni di stabilità dei rilevati viene condotto utilizzando gli usuali metodi dell'equilibrio limite. La valutazione dei fattori di sicurezza alla stabilità viene condotta mediante un programma di calcolo denominato MacStars W cui la ricerca delle superfici critiche viene svolta attraverso la generazione automatica di un elevato numero di superfici di potenziale scivolamento. In particolare in questa sede si fa riferimento al metodo di BISHOP modificato che prevede l'utilizzo di superfici di scorrimento circolari.

### Metodi utilizzati nel codice

Nel codice di calcolo di MacStars W si utilizzano i metodi semplificati di Bishop e Janbu.

In entrambi i metodi il criterio di rottura adottato è quello di Mohr - Coulomb:

$$\tau = c + (\sigma - u) * \tan(\phi')$$

dove:

$\tau$  = tensione tangenziale massima

$c$  = coesione

$\sigma$  = pressione normale totale

$u$  = pressione interstiziale

$\phi'$  = angolo di attrito

Applicando al valore della tensione tangenziale massima il coefficiente di sicurezza si ottiene la forza tangenziale mobilitata

### **Caratteristiche del metodo semplificato di Bishop sono:**

- vale solo per superfici circolari e quasi circolari, cioè superfici che vengono assimilate a superfici circolari adottando un centro di rotazione fittizio;
- ipotizza che le forze di interazione tra i conci siano solo orizzontali;
- ottiene il coefficiente di sicurezza mediante scrittura della condizione di equilibrio alla rotazione intorno al centro della circonferenza;
- non soddisfa l'equilibrio globale in direzione orizzontale.

### **Caratteristiche del metodo semplificato di Janbu sono:**

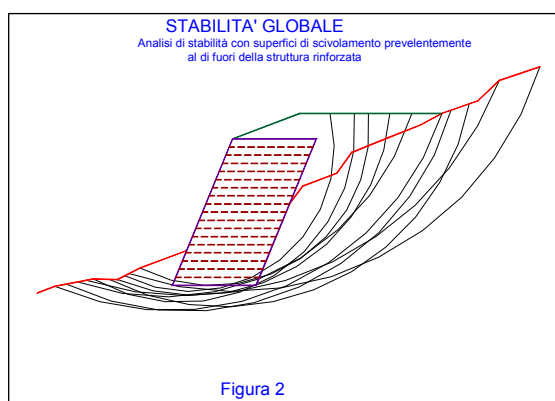
- vale per superfici di forma qualsiasi;
- ipotizza inizialmente che le forze di interazione tra i conci siano solo orizzontali;
- ottiene il coefficiente di sicurezza mediante scrittura della condizione di equilibrio alla traslazione verticale e quindi orizzontale;
- consente di tenere in conto le forze di interazione verticali (tangenziale) tra i conci mediante applicazione al precedente coefficiente di sicurezza di un fattore correttivo che dipende dalla geometria del problema e dal tipo di terreno;
- non soddisfa l'equilibrio globale alla rotazione del cuneo.



In relazione ai modelli di comportamento dei rinforzi una verifica di stabilità può essere condotta con il metodo rigido o con il metodo degli spostamenti.

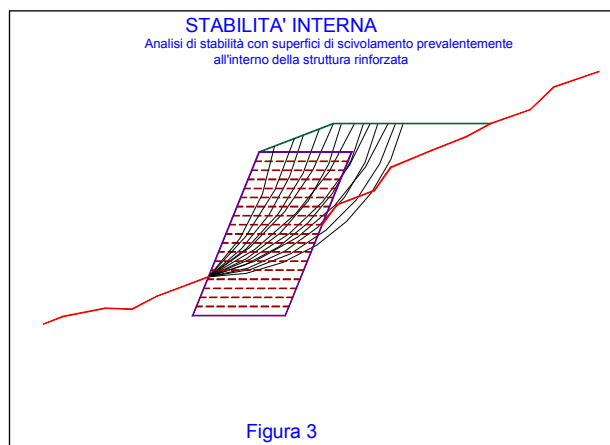
### Verifica di stabilità globale

La verifica di stabilità globale, o stabilità di base, è da intendersi come la verifica di stabilità con i metodi all'equilibrio limite di un pendio, rinforzato o meno. Può quindi essere utilizzato per valutare la stabilità del pendio in assenza di rinforzi, prima delle ipotesi di progetto di rinforzo. A seguito del progetto, tale verifica è da utilizzare per valutare la stabilità dell'opera nei confronti di meccanismi di potenziale scivolamento profondi e quindi eventualmente esterni ai rinforzi stessi (fig. 2).



### Verifica di stabilità interna

La verifica di stabilità interna (o stabilità di pendio) è quella verifica che consente di valutare il dimensionamento dell'opera, intesa come definizione dei rinforzi (tipologia, spaziatura, lunghezza, ecc.). In tale tipo di verifica le superfici di potenziale scivolamento partono dal piede di valle dell'opera di rinforzo e terminano nella parte superiore del pendio dopo aver attraversato l'opera progettata (fig. 3).



## Modello rigido

Nel modello rigido si ipotizza che un qualsiasi rinforzo che attraversi la superficie di potenziale scorrimento analizzata fornisca la forza di rottura del rinforzo, penalizzata dal relativo coefficiente di sicurezza, indipendentemente dai valori di rigidezza dei rinforzi stessi. Per ciascun rinforzo devono essere verificate le seguenti condizioni:

- deve essere garantito un ancoraggio minimo (fornito dall'utente);
- deve essere garantito lo sfilamento nella zona di ancoraggio;
- deve essere garantito lo sfilamento all'interno della porzione di terreno instabile.

Nel primo caso, una lunghezza di ancoraggio inferiore al minimo stabilito comporta l'annullamento completo della trazione nel rinforzo

Nel secondo e nel terzo caso la trazione nel rinforzo viene limitata al minore dei due valori di sfilamento.

Il calcolo delle forze ultime di sfilamento viene eseguito con il seguente procedimento, che si basa sulla considerazione che in tutti i punti del rinforzo sia raggiunta la condizione ultima ( $\tau_u$ ).

## Sfilamento esterno (tratto di ancoraggio)

La zona di ancoraggio viene suddivisa in tratti e per ciascun tratto si calcola il valore della tensione tangenziale ultima ( $\tau_u$ ) dalla seguente relazione:

$$\tau_u = f \cdot \sigma_v$$

dove:

$f$  = coefficiente di attrito totale del rinforzo sui materiali sopra e sotto nel tratto interessato, potendo essere rinforzo su rinforzo ( $f_{rr}$ ) o rinforzo su terreno ( $f_{tr}$ ).

$\sigma_v$  = tensione verticale efficace sul tratto considerato, ottenuta dalla relazione:

$$\sigma_v = (W + P_v - U) / dx$$

$W$  = peso totale della colonna di terreno sovrastante;

$P_v$  = componente verticale del carico distribuito uniforme agente in sommità;

$U$  = pressione neutra;

$dx$  = larghezza del tratto considerato.

L'integrale delle tensioni tangenziali ultime fornisce la forza di sfilamento esterna ultima del rinforzo. Al valore così determinato può essere applicato un coefficiente di sicurezza definito dall'utente.

## Sfilamento interno

Nel caso di rinforzi secondari il procedimento per il calcolo della forza di sfilamento ultima è identico a quella dello sfilamento esterno.

La lunghezza del rinforzo all'interno del blocco instabile viene suddivisa in tratti e per ciascun tratto si calcola il valore della tensione tangenziale ultima ( $\tau_u$ ) dalla seguente relazione:

$$\tau_u = f \cdot \sigma_v$$

dove il significato dei simboli è il medesimo del caso precedente. L'integrazione delle tensioni tangenziali ultime fornisce la forza ultima di sfilamento interno.

Nel caso di rinforzi principali è da aggiungere il contributo resistente dovuto al risvolto. Tale contributo ( $F_0$ ) può essere calcolato mediante somma di due contributi:

$$F_0 = F_1 + \Delta F$$

Dove  $F_1$  è il contributo che genera sfilamento nella parte risvoltata (orizzontale), mentre  $\Delta F$  è l'ulteriore contributo che tiene conto delle forze radenti lungo il tratto subverticale, adiacente al paramento.

$F_1$  viene calcolata con procedimento analogo a quello dello sfilamento esterno (integrazione delle forze tangenziali ultime), mentre  $\Delta F$  viene calcolato, nell'ipotesi che il tratto in oggetto assuma una configurazione semicircolare, dalla relazione:

$$\Delta F = F_1 \cdot \pi \cdot f_{tr}$$

Al valore di forza ultima totale di sfilamento interno può essere applicato un coefficiente di sicurezza definito dall'utente.

## 9.1 Generazione delle superfici di rottura

Nel codice di calcolo MacStars W è possibile assegnare una superficie di scorrimento mediante le coordinate (da utilizzare quando siano acquisite informazioni tali da conoscere la posizione della superficie di rottura del pendio) oppure è possibile far eseguire una ricerca della superficie di potenziale scorrimento, cioè la ricerca di quella superficie che presenta il coefficiente di sicurezza minore e quindi la superficie che presenta la maggiore probabilità di generare un collasso del pendio, qualora uno o più parametri di resistenza fossero inferiori a quelli del calcolo o i carichi fossero superiori.

La generazione delle superfici può essere di due tipi:

- superfici circolari;
- superfici casuali.

Il metodo di calcolo associabile alle superfici generate è: Bishop per superfici circolari, Janbu per superfici circolari e casuali.

Nel caso di superficie assegnata è possibile il calcolo sia con il metodo di Janbu che con il metodo di Bishop, ma in questo caso la forma della superficie deve essere prossima ad un arco di circonferenza.

La ricerca della superficie critica è sostanzialmente guidata dall'utente mediante l'utilizzo di alcuni parametri geometrici quali:

- l'estensione del tratto da cui partono le superfici;
- l'estensione del tratto in cui terminano le superfici;
- l'ampiezza dell'angolo di partenza delle superfici;
- la lunghezza di ogni singolo tratto della superficie di scorrimento;
- una quota minima sotto la quale le superfici non possono arrivare;
- un profilo geometrico all'interno del quale le superfici non possono entrare (ad esempio un profilo roccioso).

Il risultato finale può dipendere anche sensibilmente da tali scelte per cui è sempre opportuno eseguire più calcoli con differenti parametri. L'utente ovviamente può anche scegliere quante superfici generare. Ogni singola superficie viene generata mediante successione di tratti (della lunghezza stabilita dall'utente) la cui inclinazione è generata in modo casuale, ma comunque parzialmente guidata per rispettare i vincoli imposti.

## 9.2 Carichi dinamici dovuti a forze di natura sismiche

MacStars W riconduce il calcolo in presenza di carichi sismici al metodo pseudostatico, introducendo nel calcolo forze di massa in direzione orizzontale ed in direzione verticale, ottenute moltiplicando il peso totale di ogni concio per i due coefficienti di intensità sismica.

Valori positivi dei coefficienti di intensità sismica, che vanno espressi come % di  $g$ , danno luogo a forze orientate verso l'esterno del pendio e verso l'alto.

Il contributo dei teli di rinforzo viene introdotto nel calcolo solo se essi intersecano la superficie di scivolamento. La resistenza a trazione nei rinforzi può mobilitarsi per l'aderenza tra il rinforzo stesso ed i materiali (terreno o altri rinforzi) che si trovano sopra e/o sotto.

Tale contributo viene simulato con una forza stabilizzante diretta verso l'interno del rilevato applicata nel punto di contatto tra superficie di scorrimento e rinforzo stesso. Il modulo di tale forza è determinato scegliendo il minore tra il valore della resistenza a rottura del rinforzo ed il valore della resistenza allo sfilamento del rinforzo nel tratto di ancoraggio o nel tratto interno alla porzione di terreno instabile.

Per tenere conto dell'effetto dei rinforzi è stato implementato un modello di comportamento rigido. Nel modello rigido si ipotizza che un qualsiasi rinforzo, che attraversi la superficie di potenziale scorrimento analizzata, fornisca la forza di rottura del rinforzo penalizzata del relativo coefficiente di sicurezza, indipendentemente dai valori di rigidità dei rinforzi stessi. Per ciascun rinforzo vengono verificate le seguenti condizioni:

- deve essere garantito un ancoraggio minimo;
- deve essere garantito lo sfilamento nella zona di ancoraggio;
- deve essere garantito lo sfilamento all'interno della porzione di terreno instabile.

Nel primo caso una lunghezza di ancoraggio inferiore al minimo stabilito comporta l'annullamento completo della trazione nel rinforzo. Nel secondo e terzo caso la trazione nel rinforzo viene limitata al minore dei due valori di sfilamento.

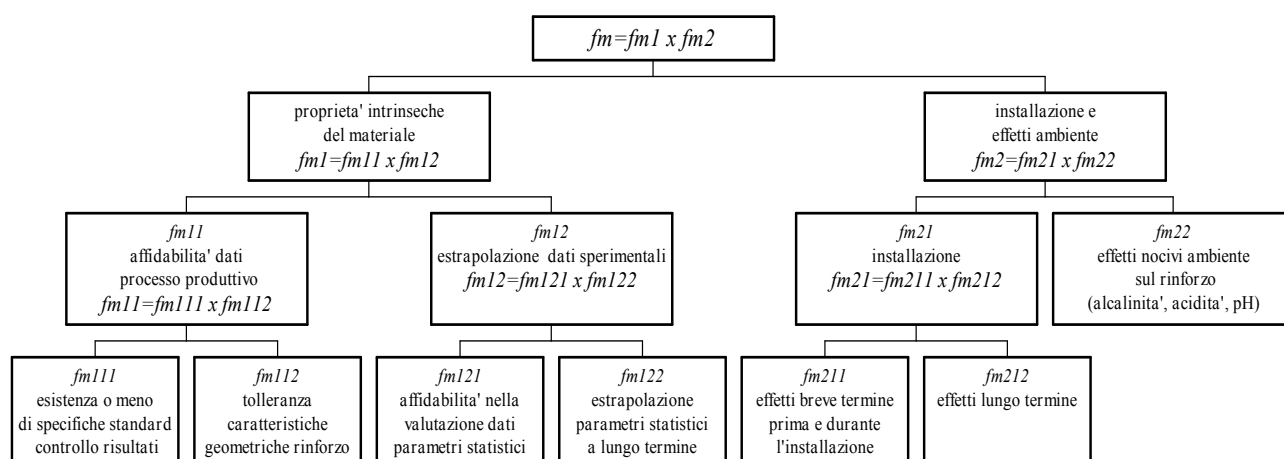
Ai fini del calcolo strutturale si è tenuto conto che si tratta di un'opera permanente per cui si è fatto riferimento alle prestazioni a lungo termine dei materiali metallici.

A tale proposito viene valutato il parametro di resistenza di lavoro  $T_d$ . Mancando in Italia uno specifico riferimento normativo, la stima della resistenza di lavoro degli elementi di rinforzo è stata determinata facendo riferimento allo schema illustrato di seguito che la normativa inglese BS8006 prescrive per i rinforzi in genere.

La resistenza di lavoro  $T_d$  è valutata secondo la formula:

$$T_d = T_b / f_m$$

Dove  $f_m$  è il fattore di sicurezza complessivo che consente di passare dalla resistenza a trazione nominale  $T_b$  a quella di progetto e si compone secondo lo schema indicato sotto:



La valutazione di dettaglio dei fattori parziali di sicurezza è riportata nella nota tecnica n° 7 in allegato.

Per il valore di  $T_b$ , resistenza nominale del rinforzo, ci si è basati sulle prove di trazione eseguite al CTC, Denver - Stati Uniti in accordo all'ASTM A-975, che hanno portato alla definizione del seguente valore per la resistenza a trazione nominale della rete metallica a doppia torsione:

$$T_b = 50 \text{ kN/m}$$

Per rinforzi realizzati in rete metallica doppia torsione, che non subiscono effetti di creep alle condizioni di carico di lavoro, tale coefficiente di riduzione non viene applicato.

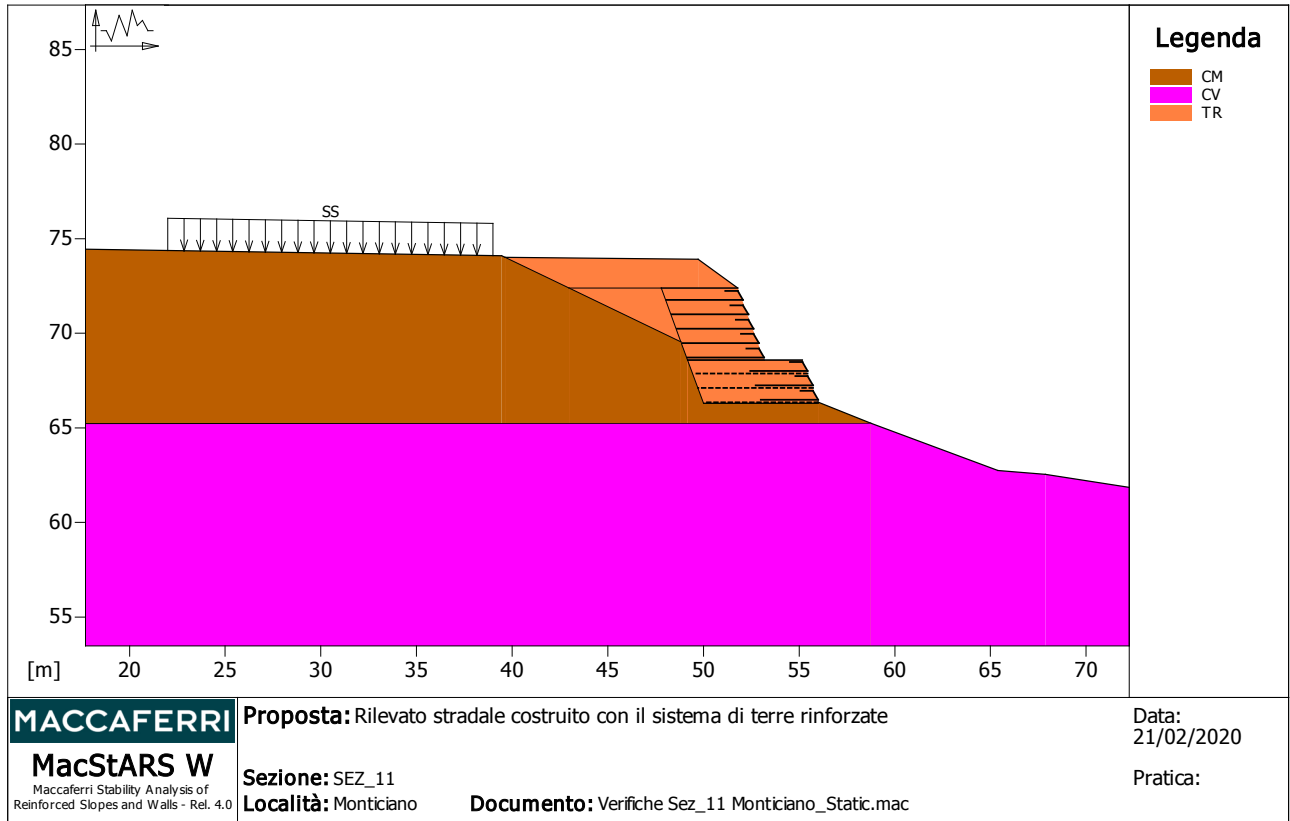
La tabella seguente mostra i valori della resistenza a trazione di ogni rinforzo e del valore del coefficiente di sicurezza alla rottura applicato  $f_m$ .

|  |                  |
|--|------------------|
|  | <b>TERRAMESH</b> |
|--|------------------|

|  |      | VERDE<br>(mesh 8x10 wire 2.7/3.7m) |              |
|--|------|------------------------------------|--------------|
|  |      | Gravel                             | Sandy gravel |
| Resistenza caratteristica a trazione (UTS) | kN/m | 50                                 | 50           |
| Coefficiente di sicurezza globale - $f_m$  | -    | 1.26                               | 1.09         |
| Resistenza a trazione di progetto          | kN/m | 39.6                               | 45.8         |

## 10. TABULATI DI CALCOLO

**CARATTERISTICHE GEOTECNICHE DEI TERRENI**



**Terreno : CM**                      Descrizione : Brecce e grotti  
 Classe coesione.....: Coeff. Parziale - Coesione efficace  
 Coesione.....[kN/m<sup>2</sup>].....: 0.00  
 Classe d'attrito.....: Coeff. Parziale - tangente dell'angolo di resistenza a taglio  
 Angolo d'attrito.....[°].....: 34.00  
 Rapporto di pressione interstiziale (Ru).....: 0.00  
 Classe di peso.....: Coeff. Parziale - Peso dell'unità di volume - sfavorevole  
 Peso specifico sopra falda.....[kN/m<sup>3</sup>].....: 19.00  
 Peso specifico in falda.....[kN/m<sup>3</sup>].....: 18.00  
  
 Modulo elastico.....[kN/m<sup>2</sup>].....: 0.00  
 Coefficiente di Poisson.....: 0.30

**Terreno : CV**                      Descrizione : Calcare cavernoso  
 Classe coesione.....: Coeff. Parziale - Coesione efficace



|  |       |
|--|-------|
| Coesione.....[kN/m <sup>2</sup> ].....:  | 10.00 |
| Classe d'attrito.....: Coeff. Parziale - tangente dell'angolo di resistenza a taglio |       |
| Angolo d'attrito.....[°].....:   | 34.00 |
| Rapporto di pressione interstiziale (Ru).....:                                       | 0.00  |
| Classe di peso.....: Coeff. Parziale - Peso dell'unità di volume - sfavorevole       |       |
| Peso specifico sopra falda.....[kN/m <sup>3</sup> ].....:                            | 21.00 |
| Peso specifico in falda.....[kN/m <sup>3</sup> ].....:                               | 20.00 |
| Modulo elastico.....[kN/m <sup>2</sup> ].....:                                       | 0.00  |
| Coefficiente di Poisson.....:  | 0.30  |

**Terreno : TR**                      Descrizione : Terreno di riempimento della terra rinforzata

|  |       |
|--|-------|
| Classe coesione.....: Coeff. Parziale - Coesione efficace                            |       |
| Coesione.....[kN/m <sup>2</sup> ].....:  | 0.00  |
| Classe d'attrito.....: Coeff. Parziale - tangente dell'angolo di resistenza a taglio |       |
| Angolo d'attrito.....[°].....:   | 35.00 |
| Rapporto di pressione interstiziale (Ru).....:                                       | 0.00  |
| Classe di peso.....: Coeff. Parziale - Peso dell'unità di volume - favorevole        |       |
| Peso specifico sopra falda.....[kN/m <sup>3</sup> ].....:                            | 19.00 |
| Peso specifico in falda.....[kN/m <sup>3</sup> ].....:                               | 18.00 |
| Modulo elastico.....[kN/m <sup>2</sup> ].....:                                       | 0.00  |
| Coefficiente di Poisson.....:  | 0.30  |

**PROFILI STRATIGRAFICI**

**Strato: STR\_CM**                      Descrizione: Strato di brecce e grotti

Terreno : CM

|      |       |       |       |       |       |       |       |
|------|-------|-------|-------|-------|-------|-------|-------|
| X    | Y     | X     | Y     | X     | Y     | X     | Y     |
| [m]  | [m]   | [m]   | [m]   | [m]   | [m]   | [m]   | [m]   |
| 0.00 | 74.71 | 39.46 | 74.09 | 52.31 | 67.85 | 58.74 | 65.24 |

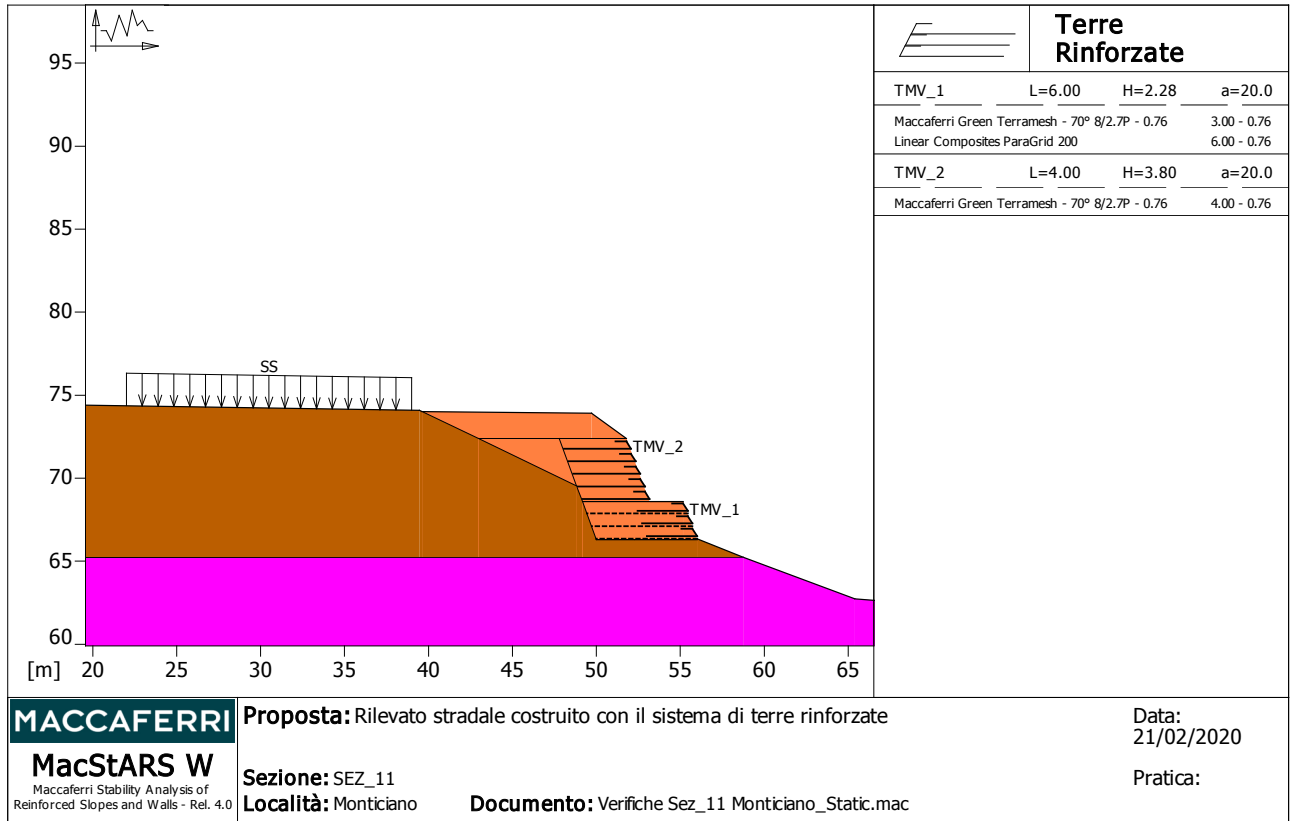
**Strato: STR\_CV**                      Descrizione: Strato di calcare cavernoso

Terreno : CV

|      |       |       |       |       |       |       |       |
|------|-------|-------|-------|-------|-------|-------|-------|
| X    | Y     | X     | Y     | X     | Y     | X     | Y     |
| [m]  | [m]   | [m]   | [m]   | [m]   | [m]   | [m]   | [m]   |
| 0.00 | 65.21 | 58.74 | 65.24 | 65.40 | 62.74 | 67.87 | 62.54 |

108.06      56.24

**BLOCCHI RINFORZATI**



**MACCAFERRI**  
**MacStARS W**  
Maccaferri Stability Analysis of  
Reinforced Slopes and Walls - Rel. 4.0

**Proposta:** Rilevato stradale costruito con il sistema di terre rinforzate  
**Sezione:** SEZ\_11  
**Località:** Monticiano  
**Documento:** Verifiche Sez\_11 Monticiano\_Static.mac

**Data:**  
21/02/2020  
**Pratica:**

**Blocco : TMV\_1**

Dati principali.....[m].....: Larghezza..... = 6.00 Altezza..... = 2.28  
Coordinate Origine...[m].....: Ascissa..... = 56.00 Ordinata..... = 66.30  
Inclinazione paramento.....[°]...: 20.00

Rilevato strutturale - materiale tipo.....: Sabbia  
Rilevato strutturale.....: TR  
Terreno di riempimento a tergo.....: TR  
Terreno di copertura.....: TR  
Terreno di fondazione.....: CM

Parametri per il calcolo della capacità portante con Brinch Hansen, Vesic o Meyerhof

Affondamento fondazione.....[m] : 0.00  
Inclinazione pendio a valle.....[°] : 0.00

**Rinforzi :**

Maccaferri - Green Terramesh - 70° - 8/2.7P - 0.76

Lunghezza.....[m].....= 3.00

Interasse.....[m].....= 0.76

Risolto.....[m].....= 0.65

Linear Composites - ParaGrid - 200

Lunghezza.....[m].....= 6.00

Interasse verticale.....[m].....= 0.76

Offset.....[m].....= 0.00

**Blocco : TMV\_2**

Dati principali.....[m].....: Larghezza.....= 4.00 Altezza.....= 3.80

Arretramento.....[m].....= 2.00 da TMV\_1

Inclinazione paramento.....[°].....: 20.00

Rilevato strutturale - materiale tipo.....: Sabbia

Rilevato strutturale.....: TR

Terreno di riempimento a tergo.....: TR

Terreno di copertura.....: TR

Terreno di fondazione.....: CM

Parametri per il calcolo della capacità portante com Brinch Hansen, Vesic o Meyerhof

Affondamento fondazione.....[m] : 0.00

Inclinazione pendio a valle.....[°] : 0.00

**Rinforzi :**

Maccaferri - Green Terramesh - 70° - 8/2.7P - 0.76

Lunghezza.....[m].....= 4.00

Interasse.....[m].....= 0.76

Risolto.....[m].....= 0.65

**Profilo di ricopertura:**

| X    | Y    | X    | Y    | X     | Y    | X   | Y   |
|------|------|------|------|-------|------|-----|-----|
| [m]  | [m]  | [m]  | [m]  | [m]   | [m]  | [m] | [m] |
| 0.00 | 0.00 | 2.07 | 1.53 | 12.32 | 1.63 |     |     |

### CARICHI

**Pressione : SS** Descrizione : Sovraccarico stradale  
Classe : Variabile - sfavorevole  
Intensità.....[kN/m<sup>2</sup>] = 20.00 Inclinazione.....[°] = 0.00  
Ascissa.....[m] : Da = 22.00 To = 39.00

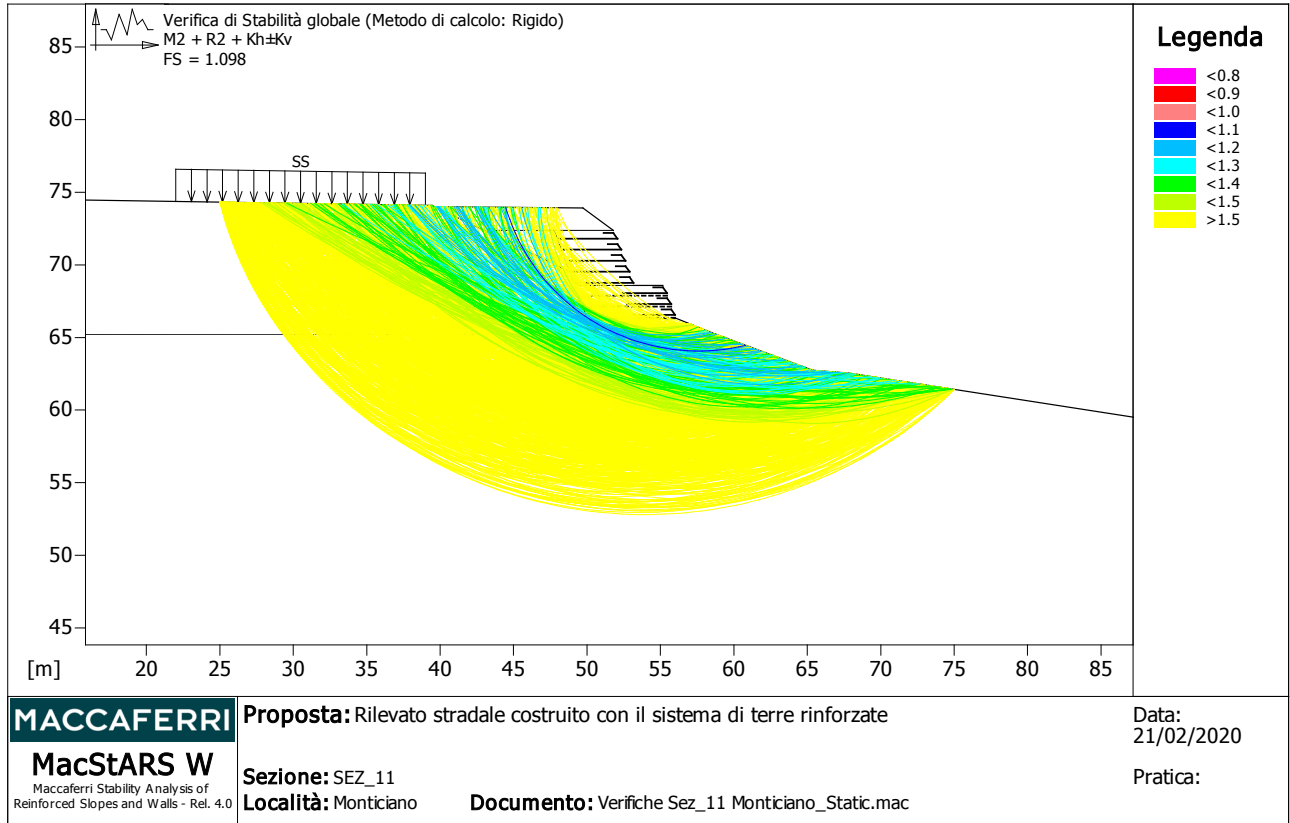
**Sisma :**  
Classe : Sisma  
Accelerazione.....[m/s<sup>2</sup>] : Orizzontale = 0.93 Verticale = 0.47

### PROPRIETA' DEI RINFORZI UTILIZZATI

Linear Composites - ParaGrid - 200  
Carico di rottura Nominale Tr .....[kN/m] : 200.00  
Rapporto di Scorrimento plastico..... : 0.00  
Coefficiente di Scorrimento elastico.....[m<sup>3</sup>/kN] : 1.10e-04  
Rigidezza estensionale.....[kN/m] : 2222.00  
Lunghezza minima di ancoraggio.....[m] : 0.15  
Coefficiente di sicurezza alla rottura (ghiaia)..... : 1.52  
Coefficiente di sicurezza al Pull-out..... : 1.00  
Coefficiente di sicurezza alla rottura (sabbia)..... : 1.51  
Coefficiente di sicurezza al Pull-out..... : 1.00  
Coefficiente di sicurezza alla rottura (limo)..... : 1.51  
Coefficiente di sicurezza al Pull-out ..... : 1.00  
Coefficiente di sicurezza alla rottura (argilla)..... : 1.51  
Coefficiente di sicurezza al Pull-out..... : 1.00  
Coefficiente di interazione rinforzo-rinforzo : 0.25  
Coefficiente di sfilamento rinforzo-ghiaia..... : 0.90  
Coefficiente di sfilamento rinforzo-sabbia..... : 0.90  
Coefficiente di sfilamento rinforzo-limo..... : 0.70  
Coefficiente di sfilamento rinforzo-argilla..... : 0.40  
Maccaferri - Green Terramesh - 70° - 8/2.7P - 0.76  
Carico di rottura Nominale Tr .....[kN/m] : 50.00  
Rapporto di Scorrimento plastico..... : 2.00  
Coefficiente di Scorrimento elastico.....[m<sup>3</sup>/kN] : 1.10e-04

|   |   |        |
|---|---|--------|
| Rigidezza estensionale.....[kN/m].....                | : | 500.00 |
| Lunghezza minima di ancoraggio.....[m].....           | : | 0.15   |
| Coefficiente di sicurezza alla rottura (ghiaia).....  | : | 1.26   |
| Coefficiente di sicurezza al Pull-out.....            | : | 1.00   |
| Coefficiente di sicurezza alla rottura (sabbia).....  | : | 1.09   |
| Coefficiente di sicurezza al Pull-out.....            | : | 1.00   |
| Coefficiente di sicurezza alla rottura (limo).....    | : | 1.09   |
| Coefficiente di sicurezza al Pull-out .....           | : | 1.00   |
| Coefficiente di sicurezza alla rottura (argilla)..... | : | 1.09   |
| Coefficiente di sicurezza al Pull-out.....            | : | 1.00   |
| Coefficiente di interazione rinforzo-rinforzo         | : | 0.30   |
| Coefficiente di sfilamento rinforzo-ghiaia.....       | : | 0.90   |
| Coefficiente di sfilamento rinforzo-sabbia.....       | : | 0.65   |
| Coefficiente di sfilamento rinforzo-limo.....         | : | 0.50   |
| Coefficiente di sfilamento rinforzo-argilla.....      | : | 0.30   |

**VERIFICHE**



**Verifica di stabilità globale :**

Combinazione di carico : M2 + R2 + Kh±Kv

Calcolo delle forze nei rinforzi col metodo rigido

Ricerca delle superfici critiche col metodo di Bishop

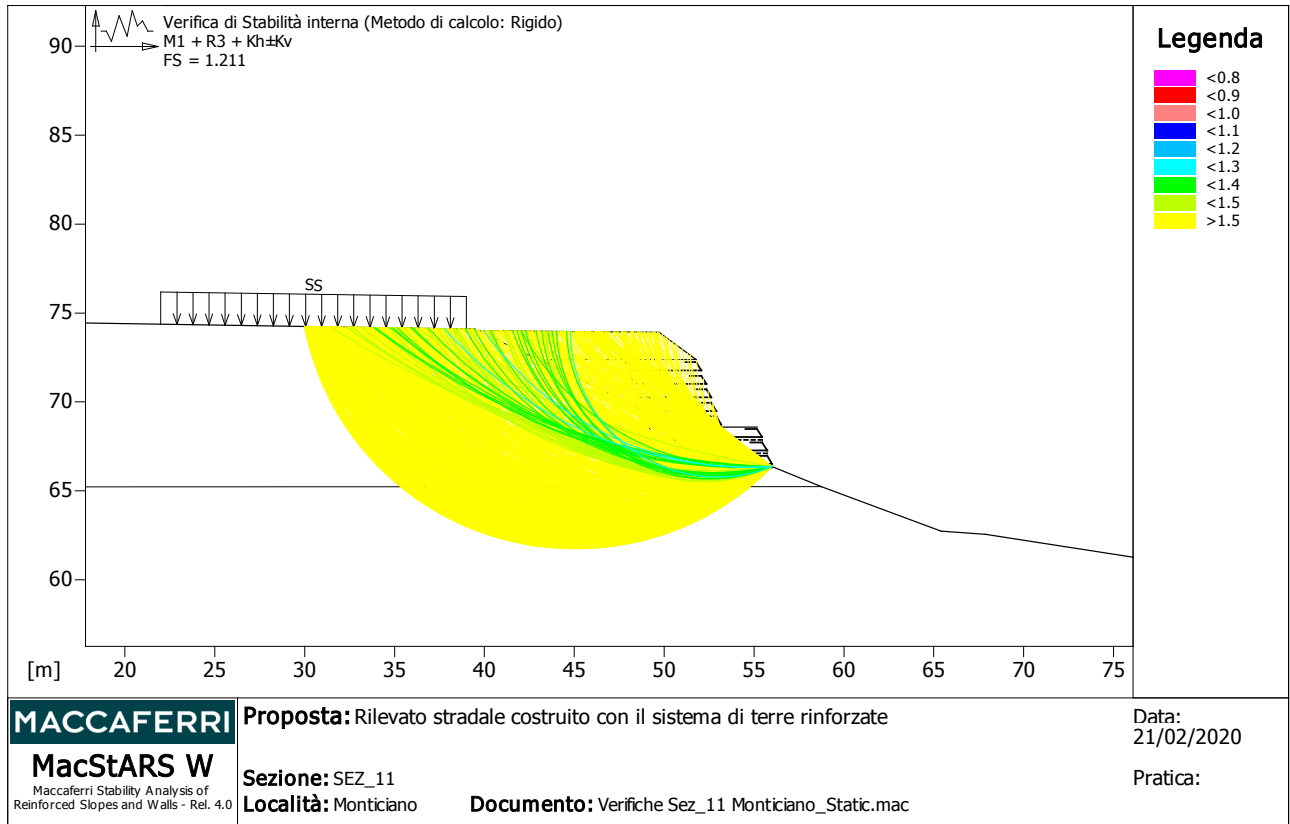
Coefficiente di sicurezza minimo calcolato..... : 1.098

Intervallo di ricerca delle superfici

| Segmento di partenza, ascisse [m]                            |               | Segmento di arrivo, ascisse [m] |               |
|--|---------------|---------------------------------|---------------|
| Primo punto  | Secondo punto | Primo punto                     | Secondo punto |
| 25.00  | 48.00         | 57.00                           | 75.00         |
| Numero punti avvio superfici sul segmento di partenza..... : |               | 100                             |               |
| Numero totale superfici di prova..... :                      |               | 1000                            |               |
| Lunghezza segmenti delle superfici..... [m]..... :           |               | 0.50                            |               |
| Angolo limite orario..... [°]..... :                         |               | 0.00                            |               |
| Angolo limite antiorario..... [°]..... :                     |               | 0.00                            |               |

| Fattore | Classe  |
|---------|---|
| 1.00    | Variabile - sfavorevole                                       |
| 1.00    | Sisma   |
| 1.00    | Coeff. Parziale - tangente dell'angolo di resistenza a taglio |
| 1.00    | Coeff. Parziale - Coesione efficace                           |
| 1.00    | Coeff. Parziale - Peso dell'unità di volume - favorevole      |
| 1.00    | Coeff. Parziale - Peso dell'unità di volume - sfavorevole     |
| 1.00    | Fs Rottura Rinforzi   |
| 1.00    | Fs Sfilamento Rinforzi  |
| 1.20    | Coeff. Parziale R - Stabilità                                 |





**Verifica di stabilità interna :**

Combinazione di carico : M1 + R3 + Kh±Kv

Calcolo delle forze nei rinforzi col metodo rigido

Ricerca delle superfici critiche col metodo di Bishop

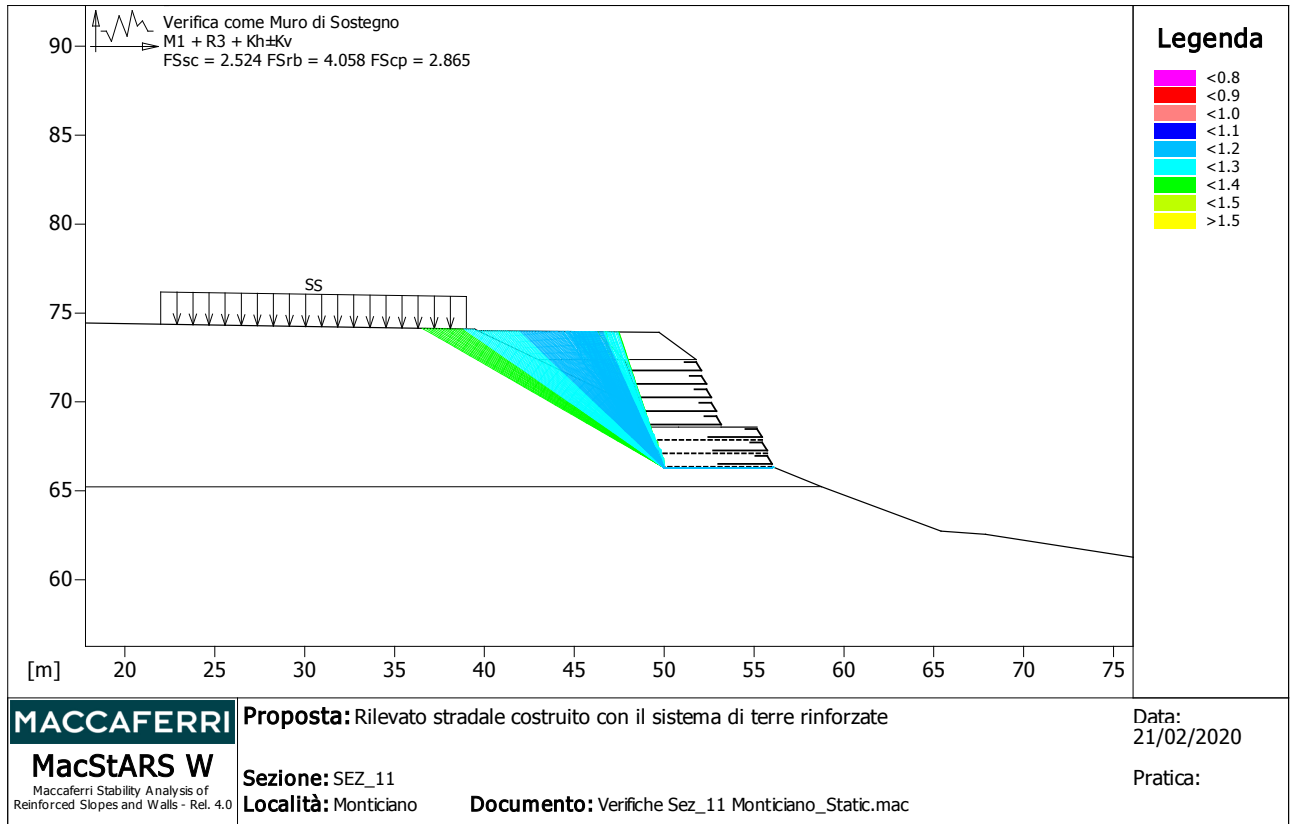
Coefficiente di sicurezza minimo calcolato.....: 1.211

**Intervallo di ricerca delle superfici**

| Blocco  | Segmento di arrivo, ascisse [m] |               |
|---|---------------------------------|---------------|
| TMV_1   | Primo punto                     | Secondo punto |
|   | 30.00                           | 53.00         |
| Numero punti avvio superfici sul segmento di partenza.....: | 1                               |               |
| Numero totale superfici di prova.....:                      | 1000                            |               |
| Lunghezza segmenti delle superfici..... [m].....:           | 0.50                            |               |
| Angolo limite orario..... [°].....:                         | 0.00                            |               |
| Angolo limite antiorario..... [°].....:                     | 0.00                            |               |

| Fattore | Classe                  |
|---------|-------------------------|
| 1.00    | Variabile - sfavorevole |

|      |   |
|------|---|
| 1.00 | Sisma   |
| 1.00 | Coeff. Parziale - tangente dell'angolo di resistenza a taglio |
| 1.00 | Coeff. Parziale - Coesione efficace                           |
| 1.00 | Coeff. Parziale - Peso dell'unità di volume - favorevole      |
| 1.00 | Coeff. Parziale - Peso dell'unità di volume - sfavorevole     |
| 1.00 | Fs Rottura Rinforzi   |
| 1.00 | Fs Sfilamento Rinforzi  |
| 1.20 | Coeff. Parziale R - Stabilità                                 |



**Verifica come muro di sostegno :**

Combinazione di carico : M1 + R3 + Kh±Kv

Stabilità verificata sul blocco : TMV\_1

Forza Stabilizzante.....[kN/m].....: 407.94

Forza Instabilizzante.....[kN/m].....: 161.65

Classe scorrimento.....: Coeff. parziale R - Scorrimento

Coefficiente di sicurezza allo scorrimento.....: 2.524

Momento Stabilizzante.....[kN\*m/m].....: 3064.70

Momento Instabilizzante.....[kN\*m/m].....: 755.23

Classe momento.....: Coeff. parziale R - Ribaltamento

Coefficiente di sicurezza al ribaltamento.....: 4.058

Pressione ultima calcolata con metodo dell'equilibrio limite.

Pressione ultima.....[kN/m<sup>2</sup>].....: 358.66

Pressione media agente.....[kN/m<sup>2</sup>].....: 104.34

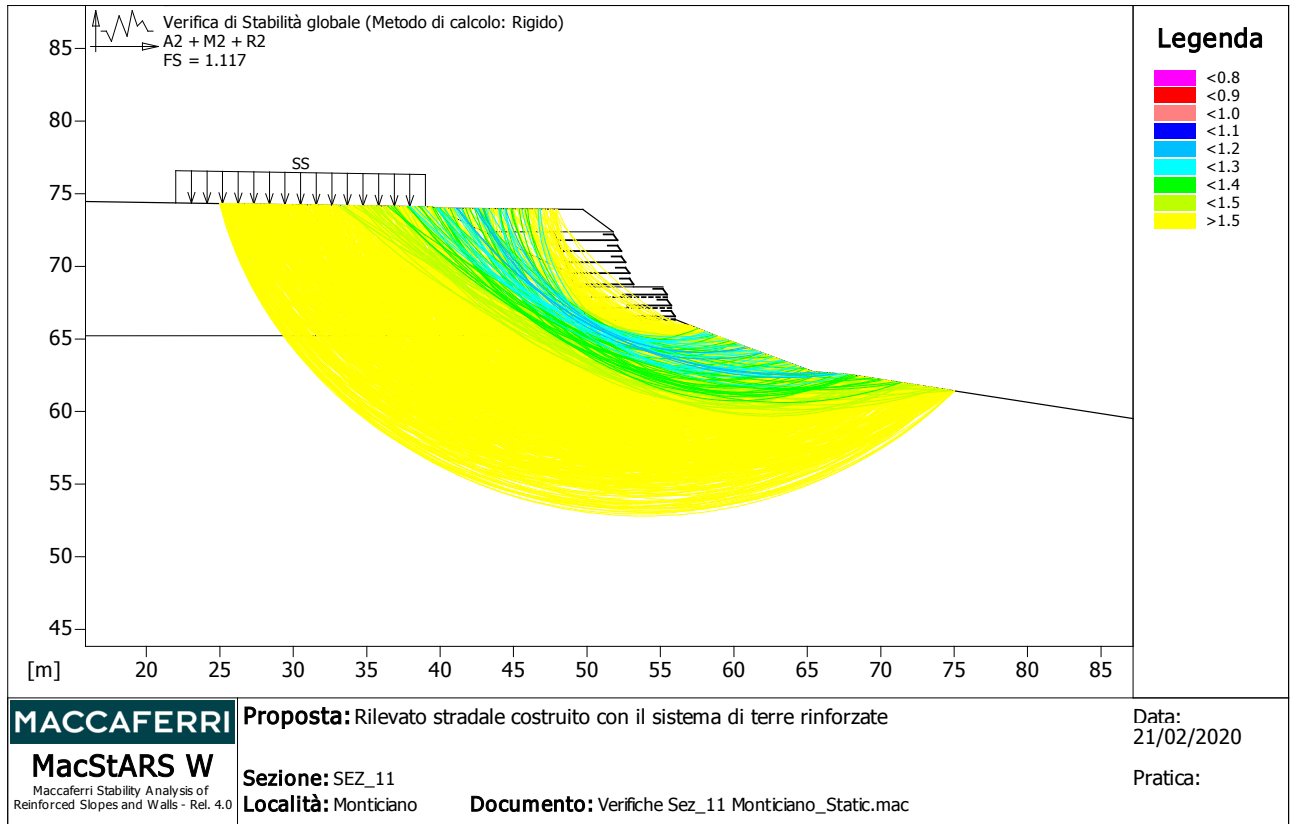
Classe pressione.....: Coeff. parziale R - Capacità portante

Coefficiente di sicurezza sulla capacità portante.....: 2.865

Fondazione equivalente.....[m].....: 6.00

Eccentricità forza normale.....[m].....: -0.82  
Braccio momento.....[m].....: 4.67  
Forza normale.....[kN].....: 604.79  
Pressione estremo di valle.....[kN/m<sup>2</sup>].....: -17.45  
Pressione estremo di monte.....[kN/m<sup>2</sup>].....: 294.71

| Fattore | Classe  |
|---------|---|
| 1.00    | Variabile - sfavorevole                                       |
| 1.00    | Sisma   |
| 1.00    | Coeff. Parziale - tangente dell'angolo di resistenza a taglio |
| 1.00    | Coeff. Parziale - Coesione efficace                           |
| 1.00    | Coeff. Parziale - Peso dell'unità di volume - favorevole      |
| 1.00    | Coeff. Parziale - Peso dell'unità di volume - sfavorevole     |
| 1.00    | Fs Rottura Rinforzi   |
| 1.00    | Fs Sfilamento Rinforzi  |
| 1.00    | Coeff. parziale R - Scorrimento                               |
| 1.20    | Coeff. parziale R - Capacità portante                         |
| 1.00    | Coeff. parziale R - Ribaltamento                              |



**Verifica di stabilità globale :**

Combinazione di carico : A2 + M2 + R2

Calcolo delle forze nei rinforzi col metodo rigido

Ricerca delle superfici critiche col metodo di Bishop

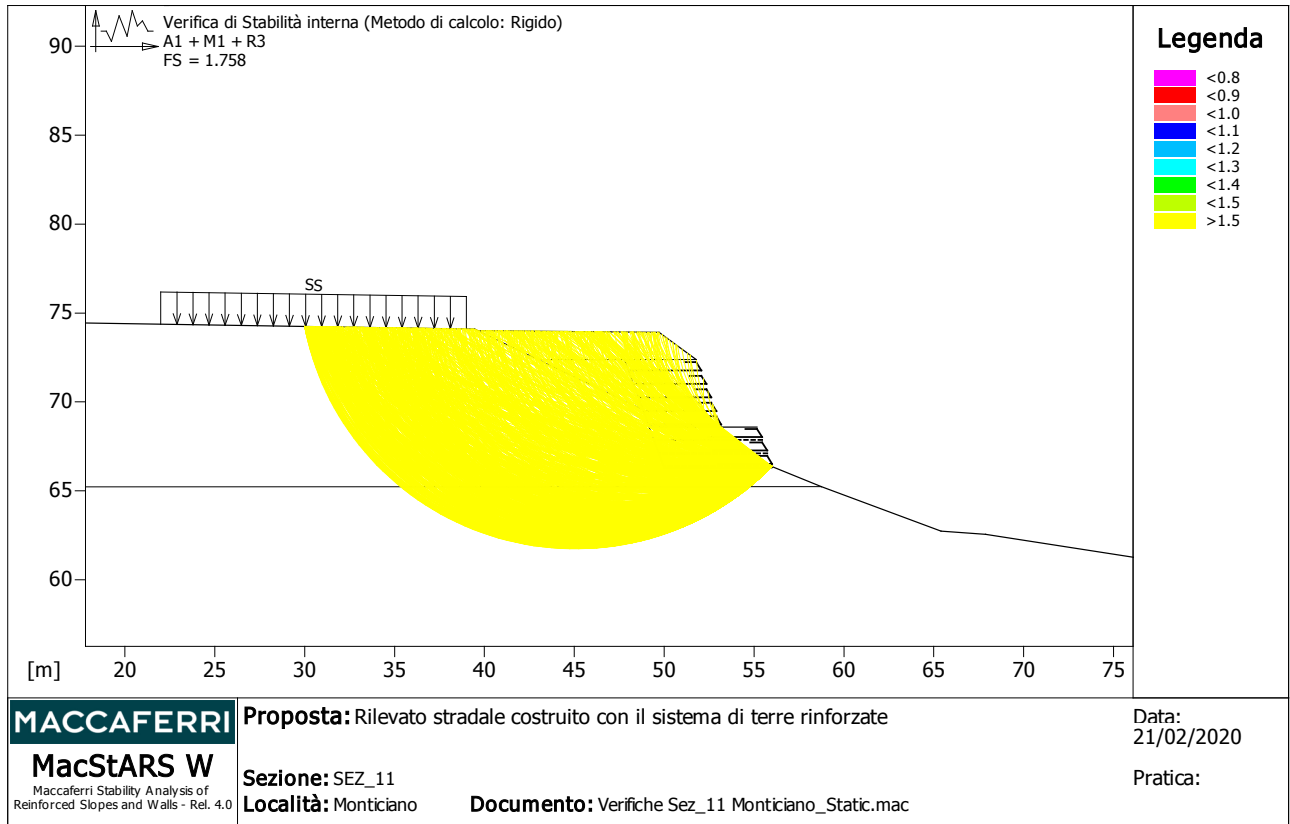
Coefficiente di sicurezza minimo calcolato.....: 1.117

Intervallo di ricerca delle superfici

| Segmento di partenza, ascisse [m]                           |               | Segmento di arrivo, ascisse [m] |               |
|---|---------------|---------------------------------|---------------|
| Primo punto   | Secondo punto | Primo punto                     | Secondo punto |
| 25.00   | 48.00         | 57.00                           | 75.00         |
| Numero punti avvio superfici sul segmento di partenza.....: |               | 100                             |               |
| Numero totale superfici di prova.....:                      |               | 1000                            |               |
| Lunghezza segmenti delle superfici..... [m].....:           |               | 0.50                            |               |
| Angolo limite orario..... [°].....:                         |               | 0.00                            |               |
| Angolo limite antiorario..... [°].....:                     |               | 0.00                            |               |

|         |                         |
|---------|-------------------------|
| Fattore | Classe                  |
| 1.30    | Variabile - sfavorevole |

|      |   |
|------|---|
| 0.00 | Sisma   |
| 1.25 | Coeff. Parziale - tangente dell'angolo di resistenza a taglio |
| 1.25 | Coeff. Parziale - Coesione efficace                           |
| 1.00 | Coeff. Parziale - Peso dell'unità di volume - favorevole      |
| 1.00 | Coeff. Parziale - Peso dell'unità di volume - sfavorevole     |
| 1.00 | Fs Rottura Rinforzi   |
| 1.00 | Fs Sfilamento Rinforzi  |
| 1.10 | Coeff. Parziale R - Stabilità                                 |



**Verifica di stabilità interna :**

Combinazione di carico : A1 + M1 + R3

Calcolo delle forze nei rinforzi col metodo rigido

Ricerca delle superfici critiche col metodo di Bishop

Coefficiente di sicurezza minimo calcolato..... : 1.758

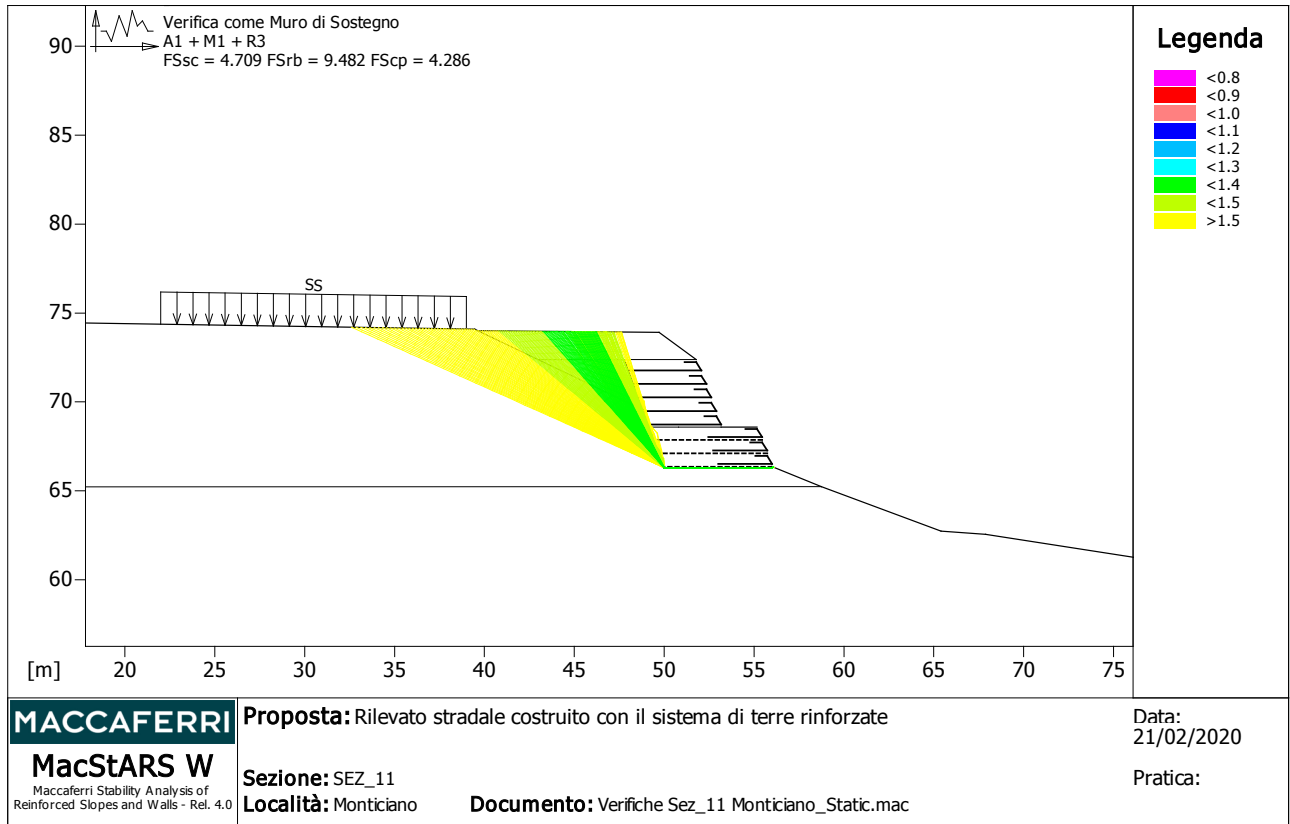
**Intervallo di ricerca delle superfici**

| Blocco   | Segmento di arrivo, ascisse [m] |               |
|--|---------------------------------|---------------|
| TMV_1  | Primo punto                     | Secondo punto |
|  | 30.00                           | 53.00         |
| Numero punti avvio superfici sul segmento di partenza..... : | 1                               |               |
| Numero totale superfici di prova..... :                      | 1000                            |               |
| Lunghezza segmenti delle superfici..... [m]..... :           | 0.50                            |               |
| Angolo limite orario..... [°]..... :                         | 0.00                            |               |
| Angolo limite antiorario..... [°]..... :                     | 0.00                            |               |

|         |                         |
|---------|-------------------------|
| Fattore | Classe                  |
| 1.50    | Variabile - sfavorevole |

|      |   |
|------|---|
| 0.00 | Sisma   |
| 1.00 | Coeff. Parziale - tangente dell'angolo di resistenza a taglio |
| 1.00 | Coeff. Parziale - Coesione efficace                           |
| 1.00 | Coeff. Parziale - Peso dell'unità di volume - favorevole      |
| 1.30 | Coeff. Parziale - Peso dell'unità di volume - sfavorevole     |
| 1.00 | Fs Rottura Rinforzi   |
| 1.00 | Fs Sfilamento Rinforzi  |
| 1.00 | Coeff. Parziale R - Stabilità                                 |





**Verifica come muro di sostegno :**

Combinazione di carico : A1 + M1 + R3

Stabilità verificata sul blocco : TMV\_1

Forza Stabilizzante.....[kN/m].....: 428.51

Forza Instabilizzante.....[kN/m].....: 82.73

Classe scorrimento.....: Coeff. parziale R - Scorrimento

Coefficiente di sicurezza allo scorrimento.....: 4.709

Momento Stabilizzante.....[kN\*m/m].....: 3064.70

Momento Instabilizzante.....[kN\*m/m].....: 281.05

Classe momento.....: Coeff. parziale R - Ribaltamento

Coefficiente di sicurezza al ribaltamento.....: 9.482

Pressione ultima calcolata con metodo dell'equilibrio limite.

Pressione ultima.....[kN/m<sup>2</sup>].....: 640.65

Pressione media agente.....[kN/m<sup>2</sup>].....: 106.78

Classe pressione.....: Coeff. parziale R - Capacità portante

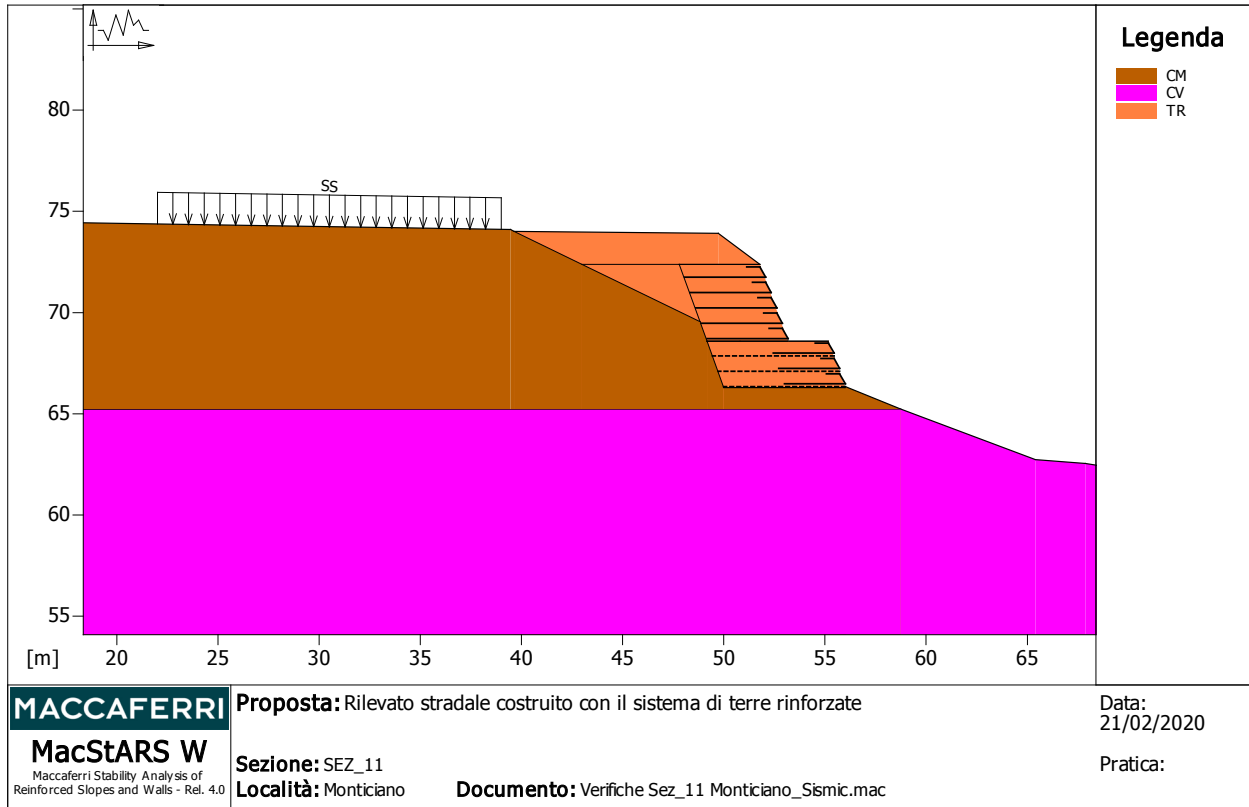
Coefficiente di sicurezza sulla capacità portante.....: 4.286

Fondazione equivalente.....[m].....: 6.00

Eccentricità forza normale.....[m].....: -1.38  
Braccio momento.....[m].....: 3.40  
Forza normale.....[kN].....: 635.29  
Pressione estremo di valle.....[kN/m<sup>2</sup>].....: -306.47  
Pressione estremo di monte.....[kN/m<sup>2</sup>].....: 699.04

| Fattore | Classe  |
|---------|---|
| 1.50    | Variabile - sfavorevole                                       |
| 0.00    | Sisma   |
| 1.00    | Coeff. Parziale - tangente dell'angolo di resistenza a taglio |
| 1.00    | Coeff. Parziale - Coesione efficace                           |
| 1.00    | Coeff. Parziale - Peso dell'unità di volume - favorevole      |
| 1.30    | Coeff. Parziale - Peso dell'unità di volume - sfavorevole     |
| 1.00    | Fs Rottura Rinforzi   |
| 1.00    | Fs Sfilamento Rinforzi  |
| 1.10    | Coeff. parziale R - Scorrimento                               |
| 1.40    | Coeff. parziale R - Capacità portante                         |
| 1.15    | Coeff. parziale R – Ribaltamento                              |

**CARATTERISTICHE GEOTECNICHE DEI TERRENI**



**Terreno : CM**                      Descrizione : Breccie e grotti  
 Classe coesione.....: Coeff. Parziale - Coesione efficace  
 Coesione.....[kN/m<sup>2</sup>].....: 0.00  
 Classe d'attrito.....: Coeff. Parziale - tangente dell'angolo di resistenza a taglio  
 Angolo d'attrito.....[°].....: 34.00  
 Rapporto di pressione interstiziale (Ru).....: 0.00  
 Classe di peso.....: Coeff. Parziale - Peso dell'unità di volume - sfavorevole  
 Peso specifico sopra falda.....[kN/m<sup>3</sup>].....: 19.00  
 Peso specifico in falda.....[kN/m<sup>3</sup>].....: 18.00  
 Modulo elastico.....[kN/m<sup>2</sup>].....: 0.00  
 Coefficiente di Poisson.....: 0.30

**Terreno : CV**                      Descrizione : Calcare cavernoso  
 Classe coesione.....: Coeff. Parziale - Coesione efficace

|  |       |
|--|-------|
| Coesione.....[kN/m <sup>2</sup> ].....:  | 10.00 |
| Classe d'attrito.....: Coeff. Parziale - tangente dell'angolo di resistenza a taglio |       |
| Angolo d'attrito.....[°].....:   | 34.00 |
| Rapporto di pressione interstiziale (Ru).....:                                       | 0.00  |
| Classe di peso.....: Coeff. Parziale - Peso dell'unità di volume - sfavorevole       |       |
| Peso specifico sopra falda.....[kN/m <sup>3</sup> ].....:                            | 21.00 |
| Peso specifico in falda.....[kN/m <sup>3</sup> ].....:                               | 20.00 |
| Modulo elastico.....[kN/m <sup>2</sup> ].....:                                       | 0.00  |
| Coefficiente di Poisson.....:  | 0.30  |

**Terreno : TR**                      Descrizione : Terreno di riempimento della terra rinforzata

|  |       |
|--|-------|
| Classe coesione.....: Coeff. Parziale - Coesione efficace                            |       |
| Coesione.....[kN/m <sup>2</sup> ].....:  | 0.00  |
| Classe d'attrito.....: Coeff. Parziale - tangente dell'angolo di resistenza a taglio |       |
| Angolo d'attrito.....[°].....:   | 35.00 |
| Rapporto di pressione interstiziale (Ru).....:                                       | 0.00  |
| Classe di peso.....: Coeff. Parziale - Peso dell'unità di volume - favorevole        |       |
| Peso specifico sopra falda.....[kN/m <sup>3</sup> ].....:                            | 19.00 |
| Peso specifico in falda.....[kN/m <sup>3</sup> ].....:                               | 18.00 |
| Modulo elastico.....[kN/m <sup>2</sup> ].....:                                       | 0.00  |
| Coefficiente di Poisson.....:  | 0.30  |

**PROFILI STRATIGRAFICI**

**Strato: STR\_CM**                      Descrizione: Strato di brecce e grotti

Terreno : CM

|      |       |       |       |       |       |       |       |
|------|-------|-------|-------|-------|-------|-------|-------|
| X    | Y     | X     | Y     | X     | Y     | X     | Y     |
| [m]  | [m]   | [m]   | [m]   | [m]   | [m]   | [m]   | [m]   |
| 0.00 | 74.71 | 39.46 | 74.09 | 52.31 | 67.85 | 58.74 | 65.24 |

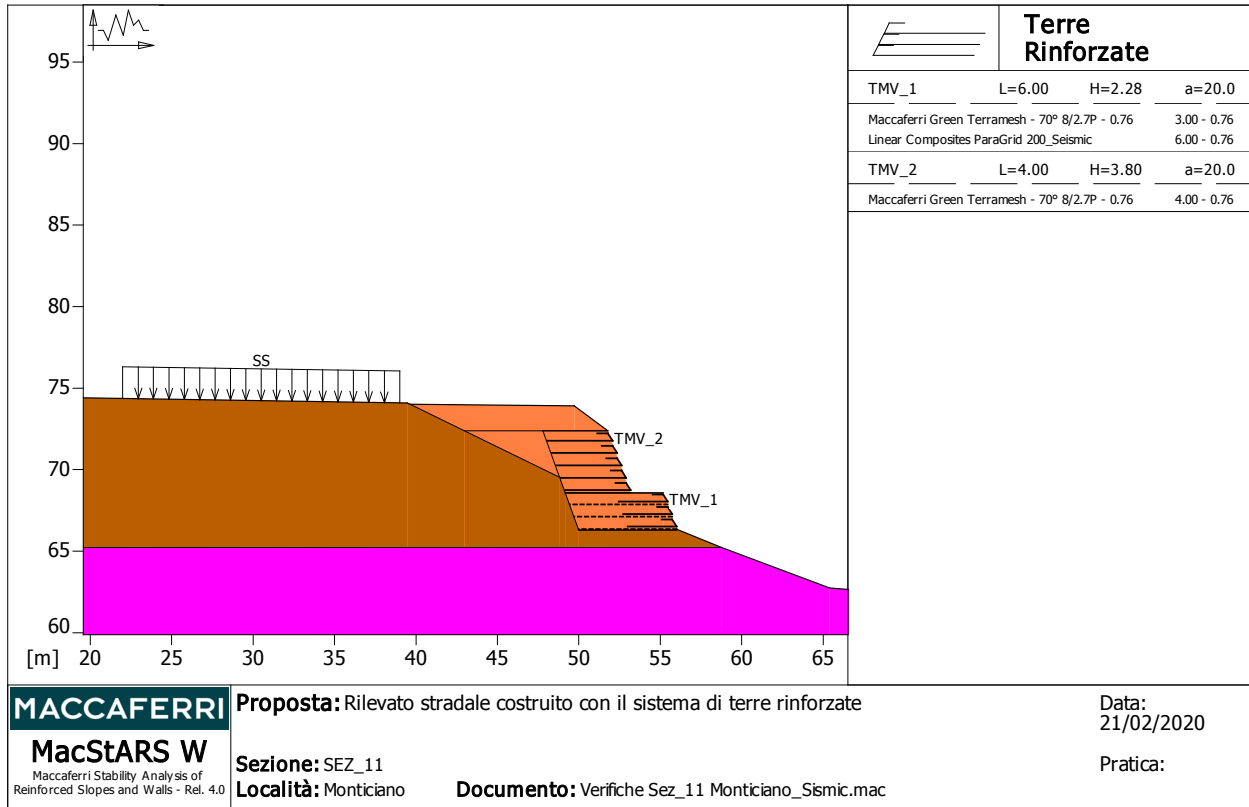
**Strato: STR\_CV**                      Descrizione: Strato di calcare cavernoso

Terreno : CV

|      |       |       |       |       |       |       |       |
|------|-------|-------|-------|-------|-------|-------|-------|
| X    | Y     | X     | Y     | X     | Y     | X     | Y     |
| [m]  | [m]   | [m]   | [m]   | [m]   | [m]   | [m]   | [m]   |
| 0.00 | 65.21 | 58.74 | 65.24 | 65.40 | 62.74 | 67.87 | 62.54 |

108.06      56.24

**BLOCCHI RINFORZATI**



**Blocco : TMV\_1**

Dati principali.....[m].....: Larghezza..... = 6.00 Altezza..... = 2.28  
 Coordinate Origine...[m].....: Ascissa..... = 56.00 Ordinata..... = 66.30  
 Inclinazione paramento.....[°]...: 20.00

Rilevato strutturale - materiale tipo.....: Sabbia  
 Rilevato strutturale.....: TR  
 Terreno di riempimento a tergo.....: TR  
 Terreno di copertura.....: TR  
 Terreno di fondazione.....: CM

Parametri per il calcolo della capacità portante com Brinch Hansen, Vesic o Meyerhof

Affondamento fondazione.....[m] : 0.00  
 Inclinazione pendio a valle.....[°] : 0.00

**Rinforzi :**

Maccaferri - Green Terramesh - 70° - 8/2.7P - 0.76

Lunghezza.....[m].....= 3.00

Interasse.....[m].....= 0.76

Risolto.....[m].....= 0.65

Linear Composites - ParaGrid - 200\_Seismic

Lunghezza.....[m].....= 6.00

Interasse verticale.....[m].....= 0.76

Offset.....[m].....= 0.00

**Blocco : TMV\_2**

Dati principali.....[m].....: Larghezza.....= 4.00 Altezza.....= 3.80

Arretramento.....[m].....= 2.00 da TMV\_1

Inclinazione paramento.....[°].....: 20.00

Rilevato strutturale - materiale tipo.....: Sabbia

Rilevato strutturale.....: TR

Terreno di riempimento a tergo.....: TR

Terreno di copertura.....: TR

Terreno di fondazione.....: CM

Parametri per il calcolo della capacità portante com Brinch Hansen, Vesic o Meyerhof

Affondamento fondazione.....[m] : 0.00

Inclinazione pendio a valle.....[°] : 0.00

**Rinforzi :**

Maccaferri - Green Terramesh - 70° - 8/2.7P - 0.76

Lunghezza.....[m].....= 4.00

Interasse.....[m].....= 0.76

Risolto.....[m].....= 0.65

**Profilo di ricopertura:**

| X    | Y    | X    | Y    | X     | Y    | X   | Y   |
|------|------|------|------|-------|------|-----|-----|
| [m]  | [m]  | [m]  | [m]  | [m]   | [m]  | [m] | [m] |
| 0.00 | 0.00 | 2.07 | 1.53 | 12.32 | 1.63 |     |     |

### CARICHI

**Pressione : SS** Descrizione : Sovraccarico stradale  
Classe : Variabile - sfavorevole  
Intensità.....[kN/m<sup>2</sup>] = 4.00 Inclinazione.....[°] = 0.00  
Ascissa.....[m] : Da = 22.00 To = 39.00

**Sisma :**  
Classe : Sisma  
Accelerazione.....[m/s<sup>2</sup>] : Orizzontale = 0.93 Verticale = 0.47

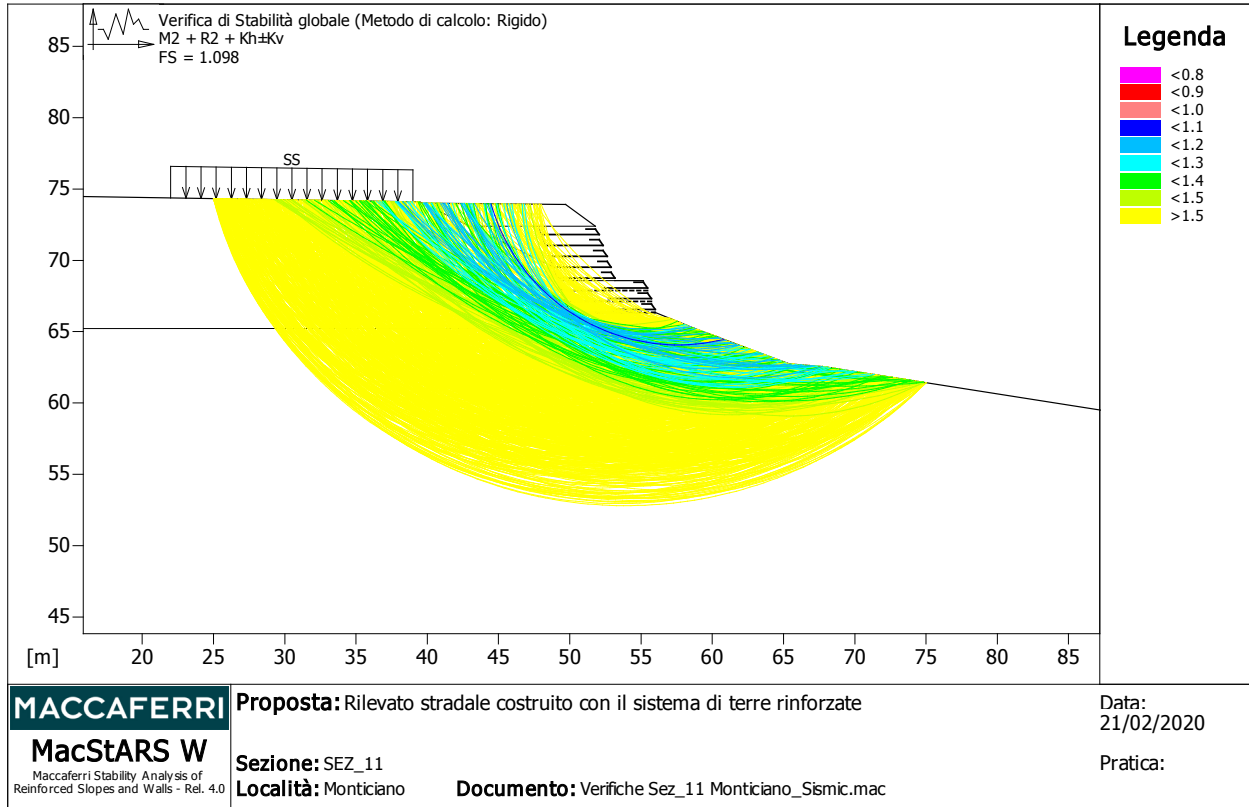
### PROPRIETA' DEI RINFORZI UTILIZZATI

Linear Composites - ParaGrid - 200\_Seismic  
Carico di rottura Nominale Tr .....[kN/m] : 200.00  
Rapporto di Scorrimento plastico..... : 0.00  
Coefficiente di Scorrimento elastico.....[m<sup>3</sup>/kN] : 1.10e-04  
Rigidezza estensionale.....[kN/m] : 2222.00  
Lunghezza minima di ancoraggio.....[m] : 0.15  
Coefficiente di sicurezza alla rottura (ghiaia)..... : 1.10  
Coefficiente di sicurezza al Pull-out..... : 1.00  
Coefficiente di sicurezza alla rottura (sabbia)..... : 1.09  
Coefficiente di sicurezza al Pull-out..... : 1.00  
Coefficiente di sicurezza alla rottura (limo)..... : 1.09  
Coefficiente di sicurezza al Pull-out ..... : 1.00  
Coefficiente di sicurezza alla rottura (argilla)..... : 1.09  
Coefficiente di sicurezza al Pull-out..... : 1.00  
Coefficiente di interazione rinforzo-rinforzo : 0.25  
Coefficiente di sfilamento rinforzo-ghiaia..... : 0.90  
Coefficiente di sfilamento rinforzo-sabbia..... : 0.90  
Coefficiente di sfilamento rinforzo-limo..... : 0.70  
Coefficiente di sfilamento rinforzo-argilla..... : 0.40  
Maccaferri - Green Terramesh - 70° - 8/2.7P - 0.76  
Carico di rottura Nominale Tr .....[kN/m] : 50.00  
Rapporto di Scorrimento plastico..... : 2.00  
Coefficiente di Scorrimento elastico.....[m<sup>3</sup>/kN] : 1.10e-04



|   |   |        |
|---|---|--------|
| Rigidezza estensionale.....[kN/m].....                | : | 500.00 |
| Lunghezza minima di ancoraggio.....[m].....           | : | 0.15   |
| Coefficiente di sicurezza alla rottura (ghiaia).....  | : | 1.26   |
| Coefficiente di sicurezza al Pull-out.....            | : | 1.00   |
| Coefficiente di sicurezza alla rottura (sabbia).....  | : | 1.09   |
| Coefficiente di sicurezza al Pull-out.....            | : | 1.00   |
| Coefficiente di sicurezza alla rottura (limo).....    | : | 1.09   |
| Coefficiente di sicurezza al Pull-out .....           | : | 1.00   |
| Coefficiente di sicurezza alla rottura (argilla)..... | : | 1.09   |
| Coefficiente di sicurezza al Pull-out.....            | : | 1.00   |
| Coefficiente di interazione rinforzo-rinforzo         | : | 0.30   |
| Coefficiente di sfilamento rinforzo-ghiaia.....       | : | 0.90   |
| Coefficiente di sfilamento rinforzo-sabbia.....       | : | 0.65   |
| Coefficiente di sfilamento rinforzo-limo.....         | : | 0.50   |
| Coefficiente di sfilamento rinforzo-argilla.....      | : | 0.30   |

**VERIFICHE**



**Verifica di stabilità globale :**

Combinazione di carico : M2 + R2 + Kh±Kv

Calcolo delle forze nei rinforzi col metodo rigido

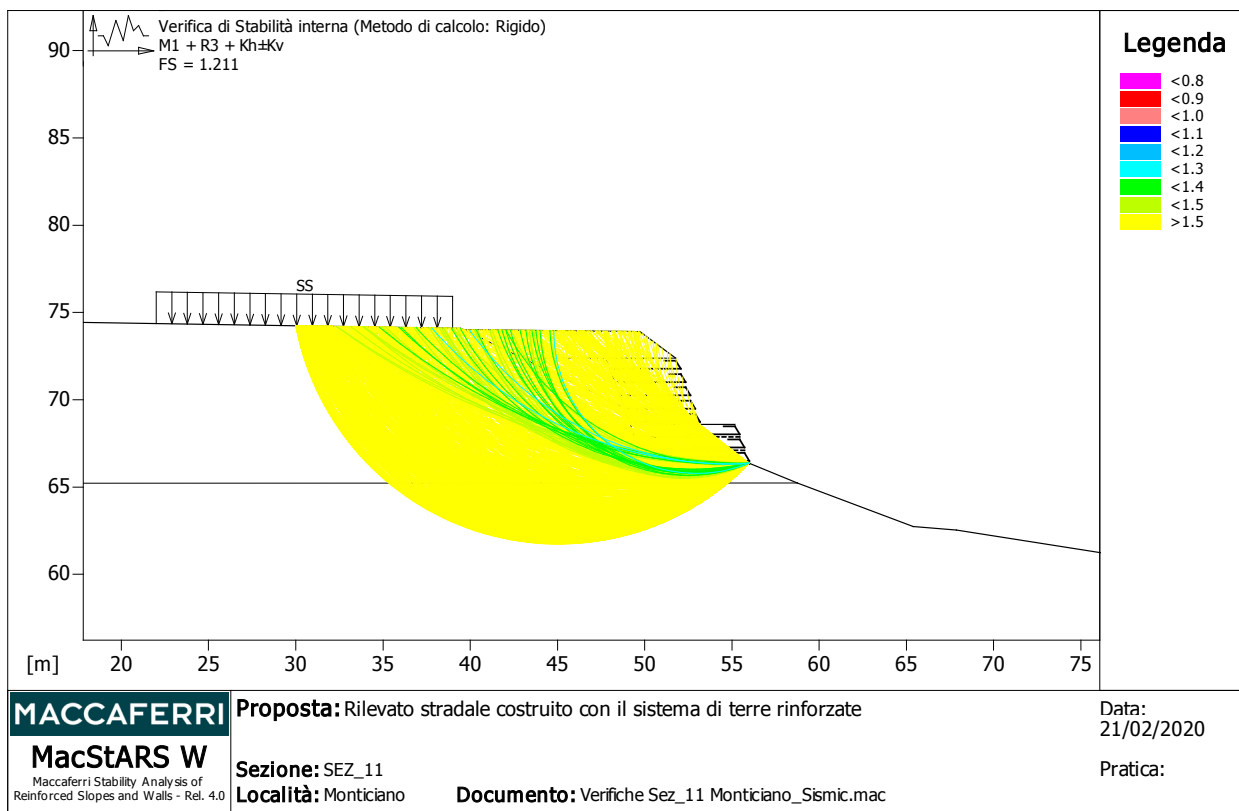
Ricerca delle superfici critiche col metodo di Bishop

Coefficiente di sicurezza minimo calcolato..... : 1.098

Intervallo di ricerca delle superfici

| Segmento di partenza, ascisse [m]                            |               | Segmento di arrivo, ascisse [m] |               |
|--|---------------|---------------------------------|---------------|
| Primo punto  | Secondo punto | Primo punto                     | Secondo punto |
| 25.00  | 48.00         | 57.00                           | 75.00         |
| Numero punti avvio superfici sul segmento di partenza..... : |               | 100                             |               |
| Numero totale superfici di prova..... :                      |               | 1000                            |               |
| Lunghezza segmenti delle superfici..... [m]..... :           |               | 0.50                            |               |
| Angolo limite orario..... [°]..... :                         |               | 0.00                            |               |
| Angolo limite antiorario..... [°]..... :                     |               | 0.00                            |               |

| Fattore | Classe  |
|---------|---|
| 1.00    | Variabile - sfavorevole                                       |
| 1.00    | Sisma   |
| 1.00    | Coeff. Parziale - tangente dell'angolo di resistenza a taglio |
| 1.00    | Coeff. Parziale - Coesione efficace                           |
| 1.00    | Coeff. Parziale - Peso dell'unità di volume - favorevole      |
| 1.00    | Coeff. Parziale - Peso dell'unità di volume - sfavorevole     |
| 1.00    | Fs Rottura Rinforzi   |
| 1.00    | Fs Sfilamento Rinforzi  |
| 1.20    | Coeff. Parziale R - Stabilità                                 |



**Verifica di stabilità interna :**

Combinazione di carico : M1 + R3 + Kh±Kv

Calcolo delle forze nei rinforzi col metodo rigido

Ricerca delle superfici critiche col metodo di Bishop

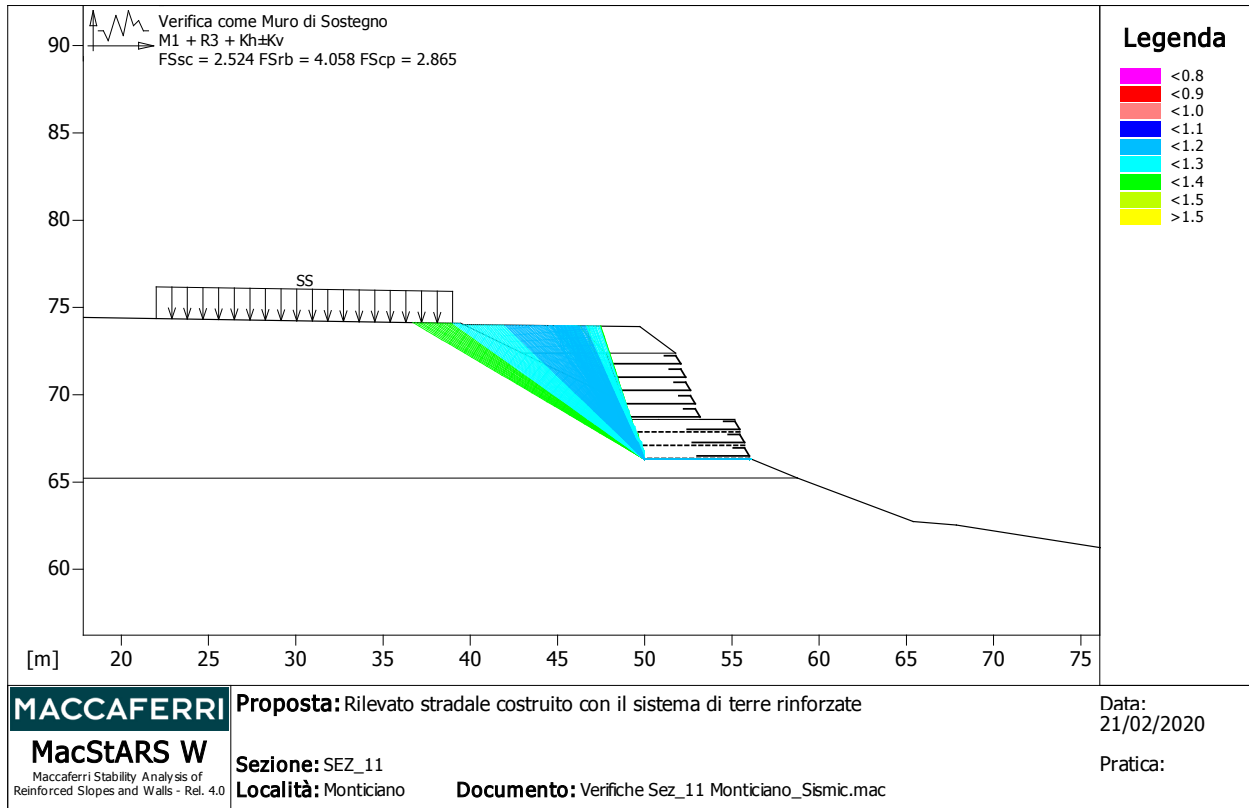
Coefficiente di sicurezza minimo calcolato..... : 1.211

Intervallo di ricerca delle superfici

| Blocco   | Segmento di arrivo, ascisse [m] |               |
|--|---------------------------------|---------------|
| TMV_1  | Primo punto                     | Secondo punto |
|  | 30.00                           | 53.00         |
| Numero punti avvio superfici sul segmento di partenza..... : | 1                               |               |
| Numero totale superfici di prova..... :                      | 1000                            |               |
| Lunghezza segmenti delle superfici..... [m]..... :           | 0.50                            |               |
| Angolo limite orario..... [°]..... :                         | 0.00                            |               |
| Angolo limite antiorario..... [°]..... :                     | 0.00                            |               |

|         |                         |
|---------|-------------------------|
| Fattore | Classe                  |
| 1.00    | Variabile - sfavorevole |

|      |   |
|------|---|
| 1.00 | Sisma   |
| 1.00 | Coeff. Parziale - tangente dell'angolo di resistenza a taglio |
| 1.00 | Coeff. Parziale - Coesione efficace                           |
| 1.00 | Coeff. Parziale - Peso dell'unità di volume - favorevole      |
| 1.00 | Coeff. Parziale - Peso dell'unità di volume - sfavorevole     |
| 1.00 | Fs Rottura Rinforzi   |
| 1.00 | Fs Sfilamento Rinforzi  |
| 1.20 | Coeff. Parziale R - Stabilità                                 |



**Verifica come muro di sostegno :**

Combinazione di carico : M1 + R3 + Kh±Kv

Stabilità verificata sul blocco : TMV\_1

Forza Stabilizzante.....[kN/m].....: 407.94

Forza Instabilizzante.....[kN/m].....: 161.65

Classe scorrimento.....: Coeff. parziale R - Scorrimento

Coefficiente di sicurezza allo scorrimento.....: 2.524

Momento Stabilizzante.....[kN\*m/m].....: 3064.70

Momento Instabilizzante.....[kN\*m/m].....: 755.23

Classe momento.....: Coeff. parziale R - Ribaltamento

Coefficiente di sicurezza al ribaltamento.....: 4.058

Pressione ultima calcolata con metodo dell'equilibrio limite.

Pressione ultima.....[kN/m<sup>2</sup>].....: 358.66

Pressione media agente.....[kN/m<sup>2</sup>].....: 104.34

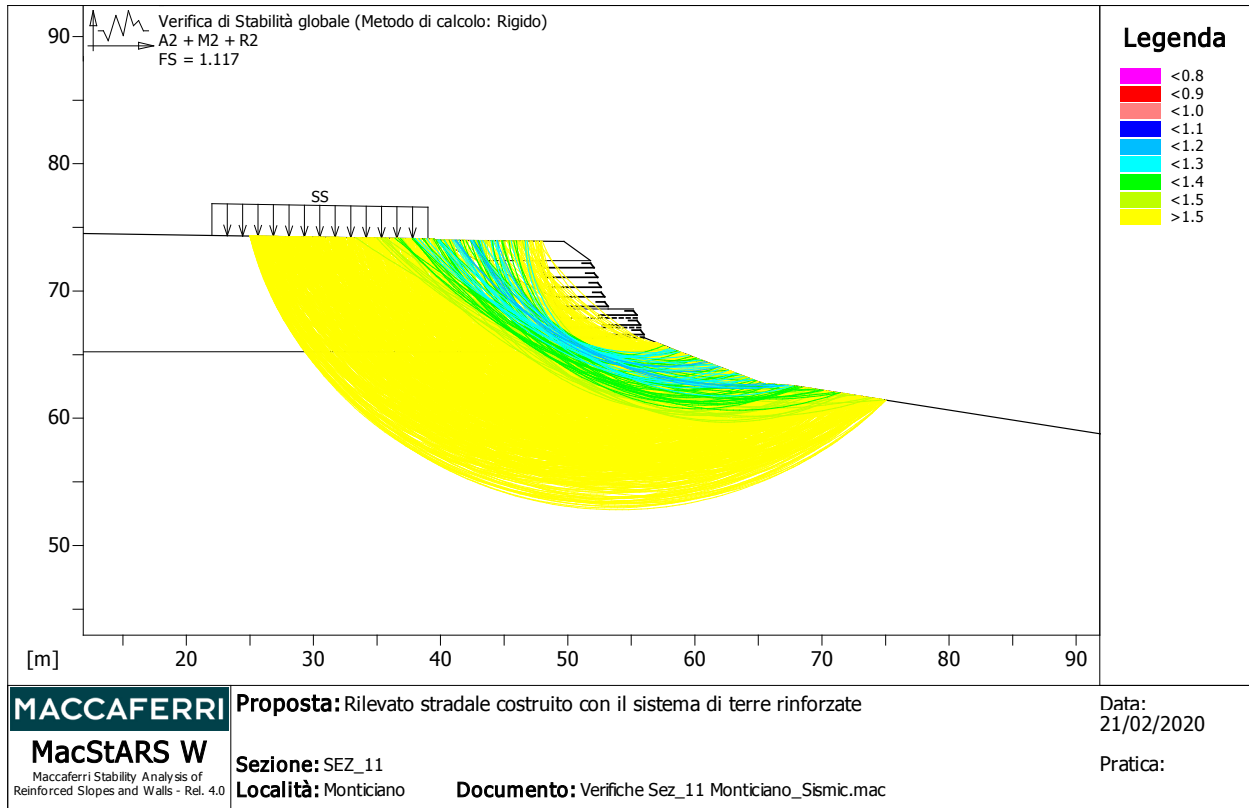
Classe pressione.....: Coeff. parziale R - Capacità portante

Coefficiente di sicurezza sulla capacità portante.....: 2.865

Fondazione equivalente.....[m].....: 6.00

Eccentricità forza normale.....[m].....: -0.82  
Braccio momento.....[m].....: 4.67  
Forza normale.....[kN].....: 604.79  
Pressione estremo di valle.....[kN/m<sup>2</sup>].....: -17.45  
Pressione estremo di monte.....[kN/m<sup>2</sup>].....: 294.71

| Fattore | Classe  |
|---------|---|
| 1.00    | Variabile - sfavorevole                                       |
| 1.00    | Sisma   |
| 1.00    | Coeff. Parziale - tangente dell'angolo di resistenza a taglio |
| 1.00    | Coeff. Parziale - Coesione efficace                           |
| 1.00    | Coeff. Parziale - Peso dell'unità di volume - favorevole      |
| 1.00    | Coeff. Parziale - Peso dell'unità di volume - sfavorevole     |
| 1.00    | Fs Rottura Rinforzi   |
| 1.00    | Fs Sfilamento Rinforzi  |
| 1.00    | Coeff. parziale R - Scorrimento                               |
| 1.20    | Coeff. parziale R - Capacità portante                         |
| 1.00    | Coeff. parziale R - Ribaltamento                              |



**Verifica di stabilità globale :**

Combinazione di carico : A2 + M2 + R2

Calcolo delle forze nei rinforzi col metodo rigido

Ricerca delle superfici critiche col metodo di Bishop

Coefficiente di sicurezza minimo calcolato..... : 1.117

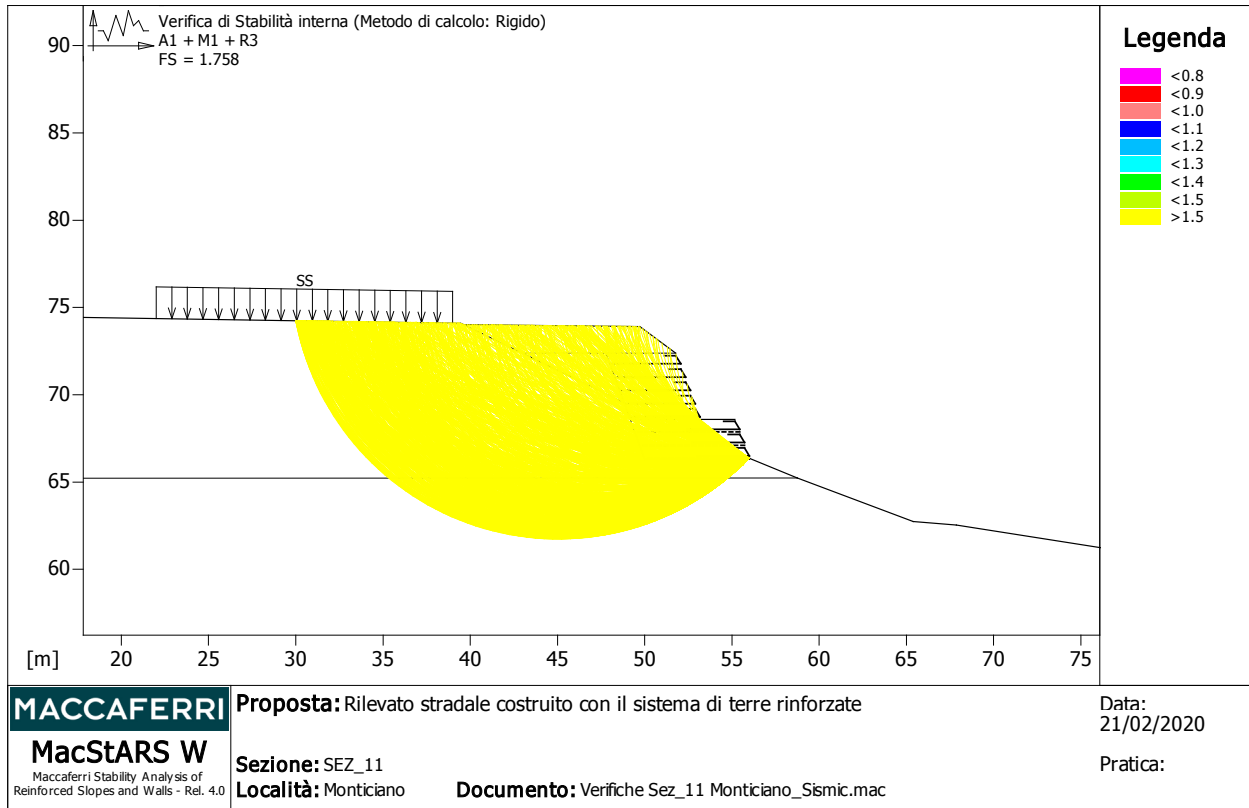
Intervallo di ricerca delle superfici

| Segmento di partenza, ascisse [m]                            |               | Segmento di arrivo, ascisse [m] |               |
|--|---------------|---------------------------------|---------------|
| Primo punto  | Secondo punto | Primo punto                     | Secondo punto |
| 25.00  | 48.00         | 57.00                           | 75.00         |
| Numero punti avvio superfici sul segmento di partenza..... : |               | 100                             |               |
| Numero totale superfici di prova..... :                      |               | 1000                            |               |
| Lunghezza segmenti delle superfici..... [m]..... :           |               | 0.50                            |               |
| Angolo limite orario..... [°]..... :                         |               | 0.00                            |               |
| Angolo limite antiorario..... [°]..... :                     |               | 0.00                            |               |

|         |                         |
|---------|-------------------------|
| Fattore | Classe                  |
| 1.30    | Variabile - sfavorevole |



|      |   |
|------|---|
| 0.00 | Sisma   |
| 1.25 | Coeff. Parziale - tangente dell'angolo di resistenza a taglio |
| 1.25 | Coeff. Parziale - Coesione efficace                           |
| 1.00 | Coeff. Parziale - Peso dell'unità di volume - favorevole      |
| 1.00 | Coeff. Parziale - Peso dell'unità di volume - sfavorevole     |
| 1.00 | Fs Rottura Rinforzi   |
| 1.00 | Fs Sfilamento Rinforzi  |
| 1.10 | Coeff. Parziale R - Stabilità                                 |



**Verifica di stabilità interna :**

Combinazione di carico : A1 + M1 + R3

Calcolo delle forze nei rinforzi col metodo rigido

Ricerca delle superfici critiche col metodo di Bishop

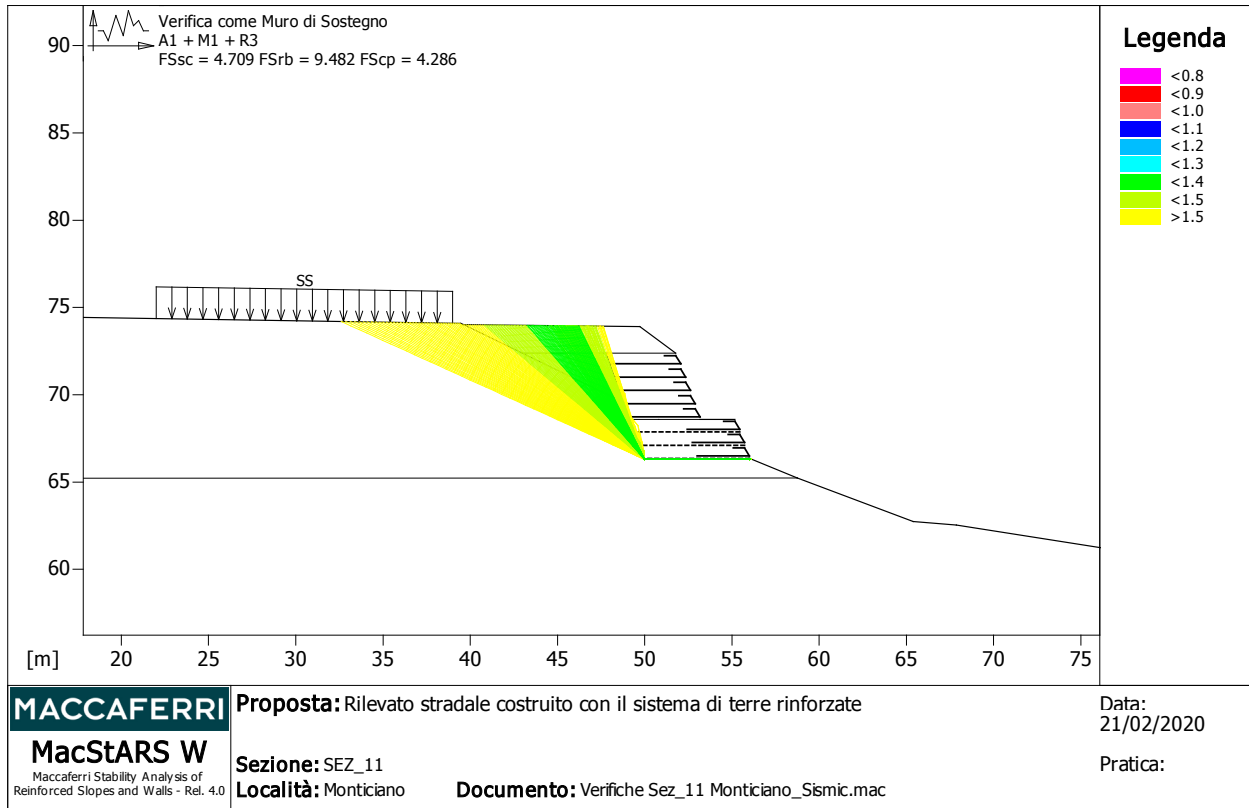
Coefficiente di sicurezza minimo calcolato.....: 1.758

Intervallo di ricerca delle superfici

| Blocco  | Segmento di arrivo, ascisse [m] |               |
|---|---------------------------------|---------------|
| TMV_1   | Primo punto                     | Secondo punto |
|   | 30.00                           | 53.00         |
| Numero punti avvio superfici sul segmento di partenza.....: | 1                               |               |
| Numero totale superfici di prova.....:                      | 1000                            |               |
| Lunghezza segmenti delle superfici..... [m].....:           | 0.50                            |               |
| Angolo limite orario..... [°].....:                         | 0.00                            |               |
| Angolo limite antiorario..... [°].....:                     | 0.00                            |               |

|         |                         |
|---------|-------------------------|
| Fattore | Classe                  |
| 1.50    | Variabile - sfavorevole |

|      |   |
|------|---|
| 0.00 | Sisma   |
| 1.00 | Coeff. Parziale - tangente dell'angolo di resistenza a taglio |
| 1.00 | Coeff. Parziale - Coesione efficace                           |
| 1.00 | Coeff. Parziale - Peso dell'unità di volume - favorevole      |
| 1.30 | Coeff. Parziale - Peso dell'unità di volume - sfavorevole     |
| 1.00 | Fs Rottura Rinforzi   |
| 1.00 | Fs Sfilamento Rinforzi  |
| 1.00 | Coeff. Parziale R - Stabilità                                 |



**Verifica come muro di sostegno :**

Combinazione di carico : A1 + M1 + R3

Stabilità verificata sul blocco : TMV\_1

Forza Stabilizzante.....[kN/m].....: 428.51

Forza Instabilizzante.....[kN/m].....: 82.73

Classe scorrimento.....: Coeff. parziale R - Scorrimento

Coefficiente di sicurezza allo scorrimento.....: 4.709

Momento Stabilizzante.....[kN\*m/m].....: 3064.70

Momento Instabilizzante.....[kN\*m/m].....: 281.05

Classe momento.....: Coeff. parziale R - Ribaltamento

Coefficiente di sicurezza al ribaltamento.....: 9.482

Pressione ultima calcolata con metodo dell'equilibrio limite.

Pressione ultima.....[kN/m<sup>2</sup>].....: 640.65

Pressione media agente.....[kN/m<sup>2</sup>].....: 106.78

Classe pressione.....: Coeff. parziale R - Capacità portante

Coefficiente di sicurezza sulla capacità portante.....: 4.286

Fondazione equivalente.....[m].....: 6.00

Eccentricità forza normale.....[m].....: -1.38  
Braccio momento.....[m].....: 3.40  
Forza normale.....[kN].....: 635.29  
Pressione estremo di valle.....[kN/m<sup>2</sup>].....: -306.47  
Pressione estremo di monte.....[kN/m<sup>2</sup>].....: 699.04

| Fattore | Classe  |
|---------|---|
| 1.50    | Variabile - sfavorevole                                       |
| 0.00    | Sisma   |
| 1.00    | Coeff. Parziale - tangente dell'angolo di resistenza a taglio |
| 1.00    | Coeff. Parziale - Coesione efficace                           |
| 1.00    | Coeff. Parziale - Peso dell'unità di volume - favorevole      |
| 1.30    | Coeff. Parziale - Peso dell'unità di volume - sfavorevole     |
| 1.00    | Fs Rottura Rinforzi   |
| 1.00    | Fs Sfilamento Rinforzi  |
| 1.10    | Coeff. parziale R - Scorrimento                               |
| 1.40    | Coeff. parziale R - Capacità portante                         |
| 1.15    | Coeff. parziale R - Ribaltamento                              |

## MacStARS W – Rel. 4.0

Maccaferri Stability Analysis of Reinforced Slopes and Walls

Officine Maccaferri S.p.A. - Via Kennedy 10 - 40069 Zola Predosa (Bologna)

Tel. 051.6436000 - Fax 051.236507

Proposta...: Rilevato stradale costruito con il sistema di terre rinforzate

Sezione....: SEZ\_11

Località....: Monticiano

Pratica.....:

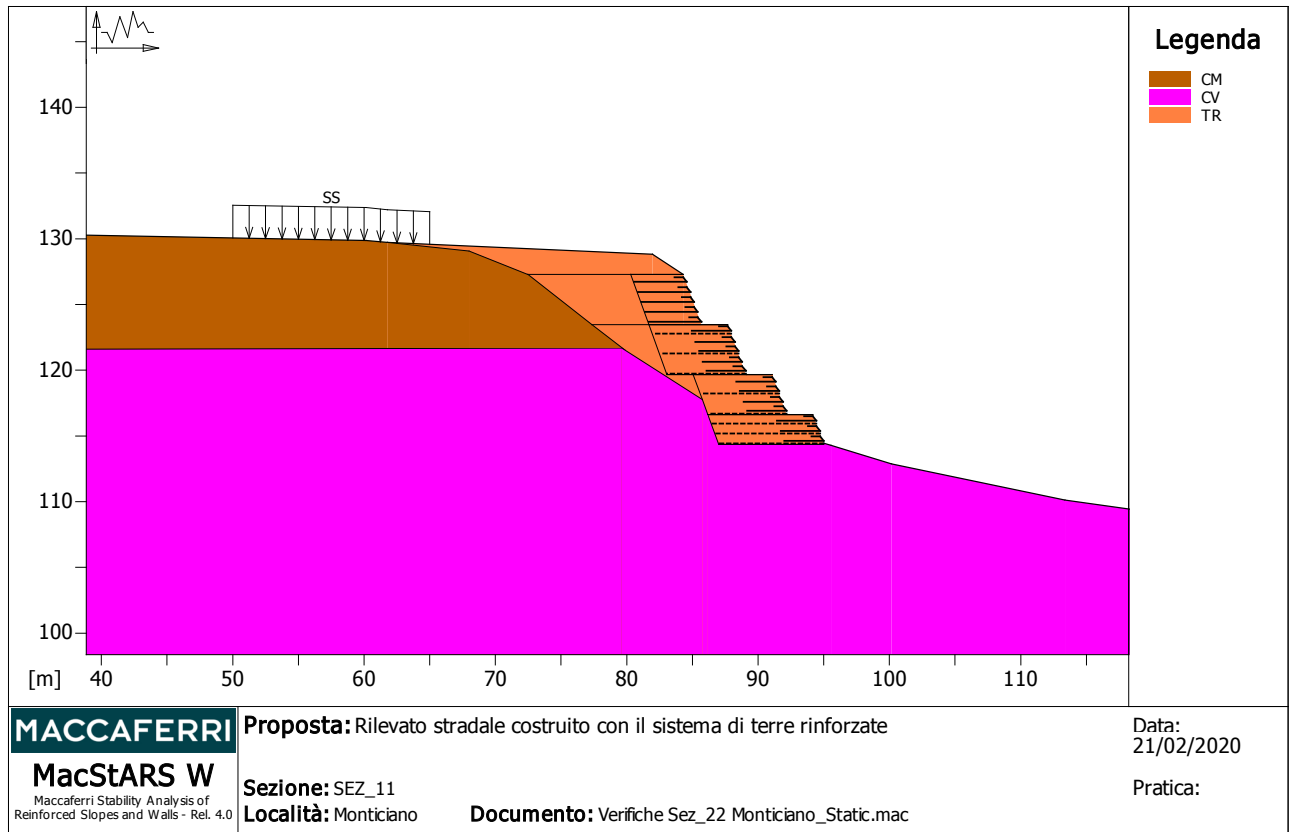
File.....: Verifiche Sez\_22 Monticiano\_Static.mac

Data.....: 21/02/2020

Verifiche condotte in accordo alla normativa : NTC 2018  
\_Verifiche di sicurezza (SLU)

### SOMMARIO

**CARATTERISTICHE GEOTECNICHE DEI TERRENI**



**Terreno : CM**                      Descrizione : Breccie e grotti  
 Classe coesione.....: Coeff. Parziale - Coesione efficace  
 Coesione..... [kN/m<sup>2</sup>].....: 0.00  
 Classe d'attrito.....: Coeff. Parziale - tangente dell'angolo di resistenza a taglio  
 Angolo d'attrito..... [°].....: 34.00  
 Rapporto di pressione interstiziale (Ru).....: 0.00  
 Classe di peso.....: Coeff. Parziale - Peso dell'unità di volume - sfavorevole  
 Peso specifico sopra falda..... [kN/m<sup>3</sup>].....: 19.00  
 Peso specifico in falda..... [kN/m<sup>3</sup>].....: 18.00  
  
 Modulo elastico..... [kN/m<sup>2</sup>].....: 0.00  
 Coefficiente di Poisson.....: 0.30

**Terreno : CV**                      Descrizione : Calcare cavernoso  
 Classe coesione.....: Coeff. Parziale - Coesione efficace

|   |   |         |
|---|---|---------|
| Coesione.....                                 | [kN/m <sup>2</sup> ]  | : 10.00 |
| Classe d'attrito.....                         | : Coeff. Parziale - tangente dell'angolo di resistenza a taglio |         |
| Angolo d'attrito.....                         | [°]   | : 34.00 |
| Rapporto di pressione interstiziale (Ru)..... |   | : 0.00  |
| Classe di peso.....                           | : Coeff. Parziale - Peso dell'unità di volume - sfavorevole     |         |
| Peso specifico sopra falda.....               | [kN/m <sup>3</sup> ]  | : 21.00 |
| Peso specifico in falda.....                  | [kN/m <sup>3</sup> ]  | : 20.00 |
| Modulo elastico.....                          | [kN/m <sup>2</sup> ]  | : 0.00  |
| Coefficiente di Poisson.....                  |   | : 0.30  |

**Terreno : TR**                      Descrizione : Terreno di riempimento della terra rinforzata

|   |   |         |
|---|---|---------|
| Classe coesione.....                          | : Coeff. Parziale - Coesione efficace                           |         |
| Coesione.....                                 | [kN/m <sup>2</sup> ]  | : 0.00  |
| Classe d'attrito.....                         | : Coeff. Parziale - tangente dell'angolo di resistenza a taglio |         |
| Angolo d'attrito.....                         | [°]   | : 35.00 |
| Rapporto di pressione interstiziale (Ru)..... |   | : 0.00  |
| Classe di peso.....                           | : Coeff. Parziale - Peso dell'unità di volume - favorevole      |         |
| Peso specifico sopra falda.....               | [kN/m <sup>3</sup> ]  | : 19.00 |
| Peso specifico in falda.....                  | [kN/m <sup>3</sup> ]  | : 18.00 |
| Modulo elastico.....                          | [kN/m <sup>2</sup> ]  | : 0.00  |
| Coefficiente di Poisson.....                  |   | : 0.30  |

**PROFILI STRATIGRAFICI**

**Strato: STR\_CM**                      Descrizione: Strato di brecce e grotti

Terreno : CM

| X     | Y      | X     | Y      | X     | Y      | X     | Y      |
|-------|--------|-------|--------|-------|--------|-------|--------|
| [m]   | [m]    | [m]   | [m]    | [m]   | [m]    | [m]   | [m]    |
| 0.00  | 131.01 | 60.15 | 129.88 | 68.01 | 129.07 | 72.46 | 127.29 |
| 79.89 | 121.51 |       |        |       |        |       |        |



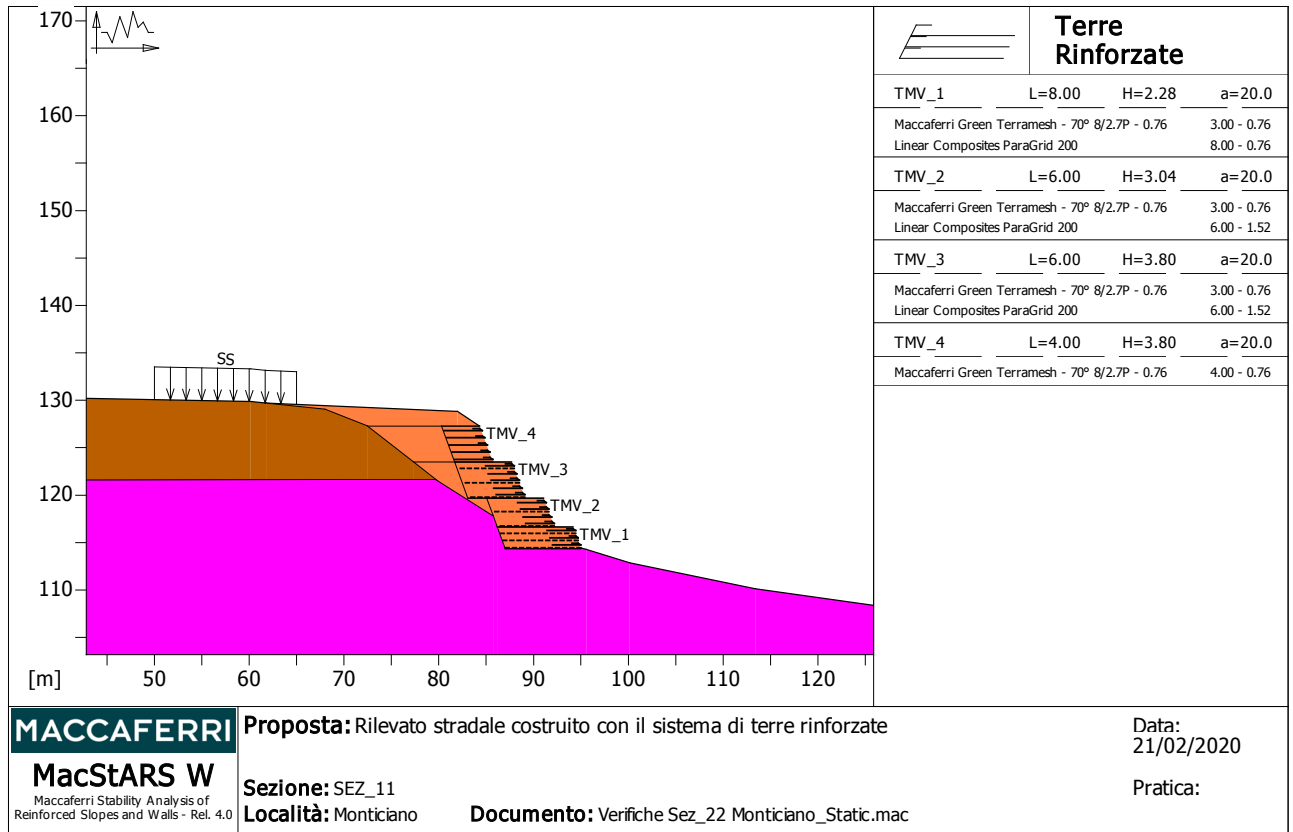
**Strato: STR\_CV**

Descrizione: Strato di calcare cavernoso

Terreno : CV

| X      | Y      | X      | Y      | X      | Y      | X     | Y      |
|--------|--------|--------|--------|--------|--------|-------|--------|
| [m]    | [m]    | [m]    | [m]    | [m]    | [m]    | [m]   | [m]    |
| 0.00   | 121.51 | 79.61  | 121.69 | 87.39  | 116.74 | 95.56 | 114.28 |
| 100.15 | 112.88 | 113.38 | 110.13 | 152.39 | 104.66 |       |        |

**BLOCCHI RINFORZATI**



**Blocco : TMV\_1**

Dati principali.....[m].....: Larghezza.....= 8.00 Altezza.....= 2.28  
 Coordinate Origine...[m].....: Ascissa.....= 95.00 Ordinata.....= 114.36  
 Inclinazione paramento.....[°]...: 20.00

Rilevato strutturale - materiale tipo.....: Sabbia  
 Rilevato strutturale.....: TR  
 Terreno di riempimento a tergo.....: TR  
 Terreno di copertura.....: TR  
 Terreno di fondazione.....: CV

Parametri per il calcolo della capacità portante com Brinch Hansen, Vesic o Meyerhof

Affondamento fondazione.....[m] : 0.00  
 Inclinazione pendio a valle.....[°] : 0.00

**Rinforzi :**

Maccaferri - Green Terramesh - 70° - 8/2.7P - 0.76

Lunghezza.....[m]..... = 3.00

Interasse.....[m]..... = 0.76

Risolto.....[m]..... = 0.65

Linear Composites - ParaGrid - 200

Lunghezza.....[m]..... = 8.00

Interasse verticale.....[m]..... = 0.76

Offset.....[m]..... = 0.00

**Blocco : TMV\_2**

Dati principali.....[m].....: Larghezza..... = 6.00 Altezza..... = 3.04

Arretramento.....[m]..... = 2.00 da TMV\_1

Inclinazione paramento.....[°].....: 20.00

Rilevato strutturale - materiale tipo.....: Sabbia

Rilevato strutturale.....: TR

Terreno di riempimento a tergo.....: TR

Terreno di copertura.....: TR

Terreno di fondazione.....: TR

Parametri per il calcolo della capacità portante com Brinch Hansen, Vesic o Meyerhof

Affondamento fondazione.....[m] : 0.00

Inclinazione pendio a valle.....[°] : 0.00

**Rinforzi :**

Maccaferri - Green Terramesh - 70° - 8/2.7P - 0.76

Lunghezza.....[m]..... = 3.00

Interasse.....[m]..... = 0.76

Risolto.....[m]..... = 0.65

Linear Composites - ParaGrid - 200

Lunghezza.....[m]..... = 6.00

Interasse verticale.....[m]..... = 1.52

Offset.....[m]..... = 0.00

**Blocco : TMV\_3**

Dati principali.....[m].....: Larghezza.....= 6.00 Altezza.....= 3.80  
Arretramento.....[m].....= 2.00 da TMV\_2  
Inclinazione paramento.....[°]...: 20.00

Rilevato strutturale - materiale tipo.....: Sabbia  
Rilevato strutturale.....: TR  
Terreno di riempimento a tergo.....: TR  
Terreno di copertura.....: TR  
Terreno di fondazione.....: TR

Parametri per il calcolo della capacità portante com Brinch Hansen, Vesic o Meyerhof

Affondamento fondazione.....[m] : 0.00  
Inclinazione pendio a valle.....[°] : 0.00

**Rinforzi :**

Maccaferri - Green Terramesh - 70° - 8/2.7P - 0.76

Lunghezza.....[m].....= 3.00  
Interasse.....[m].....= 0.76  
Risolto.....[m].....= 0.65

Linear Composites - ParaGrid - 200

Lunghezza.....[m].....= 6.00  
Interasse verticale.....[m].....= 1.52  
Offset.....[m].....= 0.00

**Blocco : TMV\_4**

Dati principali.....[m].....: Larghezza.....= 4.00 Altezza.....= 3.80  
Arretramento.....[m].....= 2.00 da TMV\_3  
Inclinazione paramento.....[°]...: 20.00

Rilevato strutturale - materiale tipo.....: Sabbia  
Rilevato strutturale.....: TR  
Terreno di riempimento a tergo.....: TR  
Terreno di copertura.....: TR  
Terreno di fondazione.....: TR

Parametri per il calcolo della capacità portante com Brinch Hansen, Vesic o Meyerhof

Affondamento fondazione.....[m] : 0.00  
Inclinazione pendio a valle.....[°] : 0.00

**Rinforzi :**

Maccaferri - Green Terramesh - 70° - 8/2.7P - 0.76

Lunghezza.....[m] = 4.00

Interasse.....[m] = 0.76

Risolto.....[m] = 0.65

**Profilo di ricopertura:**

| X    | Y    | X    | Y    | X     | Y    | X   | Y   |
|------|------|------|------|-------|------|-----|-----|
| [m]  | [m]  | [m]  | [m]  | [m]   | [m]  | [m] | [m] |
| 0.00 | 0.00 | 2.33 | 1.55 | 24.00 | 2.50 |     |     |

**CARICHI**

**Pressione : SS** Descrizione : Sovraccarico stradale

Classe : Variabile - sfavorevole

Intensità.....[kN/m<sup>2</sup>] = 20.00 Inclinazione.....[°] = 0.00

Ascissa.....[m] : Da = 50.00 To = 65.00

**Sisma :**

Classe : Sisma

Accelerazione.....[m/s<sup>2</sup>] : Orizzontale = 0.93 Verticale = 0.47

**PROPRIETA' DEI RINFORZI UTILIZZATI**

Linear Composites - ParaGrid - 200

Carico di rottura Nominale Tr .....[kN/m] : 200.00

Rapporto di Scorrimento plastico..... : 0.00

Coefficiente di Scorrimento elastico.....[m<sup>3</sup>/kN] : 1.10e-04

Rigidità estensionale.....[kN/m] : 2222.00

Lunghezza minima di ancoraggio.....[m] : 0.15

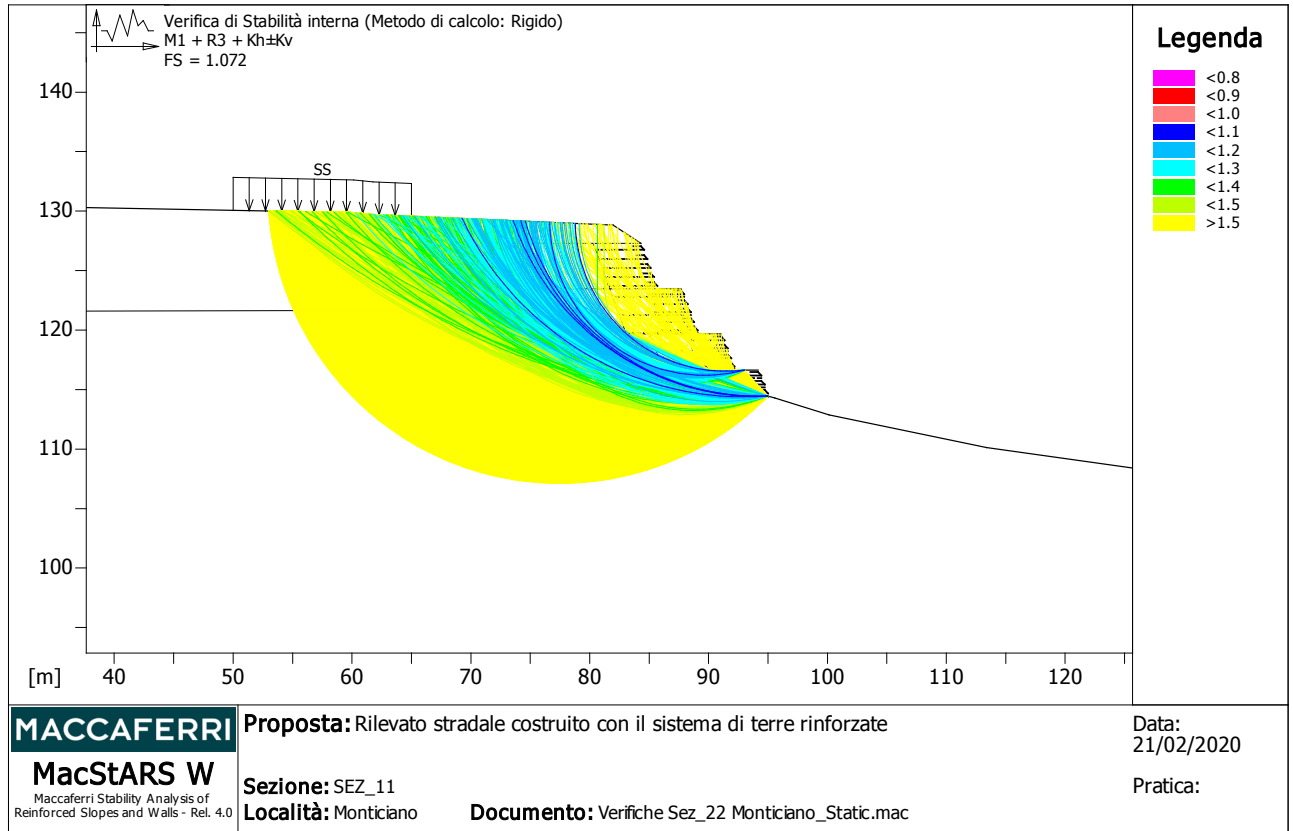
Coefficiente di sicurezza alla rottura (ghiaia)..... : 1.52

Coefficiente di sicurezza al Pull-out..... : 1.00

Coefficiente di sicurezza alla rottura (sabbia)..... : 1.51

|   |                      |          |
|---|----------------------|----------|
| Coefficiente di sicurezza al Pull-out.....            | :                    | 1.00     |
| Coefficiente di sicurezza alla rottura (limo).....    | :                    | 1.51     |
| Coefficiente di sicurezza al Pull-out .....           | :                    | 1.00     |
| Coefficiente di sicurezza alla rottura (argilla)..... | :                    | 1.51     |
| Coefficiente di sicurezza al Pull-out.....            | :                    | 1.00     |
| Coefficiente di interazione rinforzo-rinforzo         | :                    | 0.25     |
| Coefficiente di sfilamento rinforzo-ghiaia.....       | :                    | 0.90     |
| Coefficiente di sfilamento rinforzo-sabbia.....       | :                    | 0.90     |
| Coefficiente di sfilamento rinforzo-limo.....         | :                    | 0.70     |
| Coefficiente di sfilamento rinforzo-argilla.....      | :                    | 0.40     |
| Maccaferri - Green Terramesh - 70° - 8/2.7P - 0.76    |                      |          |
| Carico di rottura Nominale Tr .....                   | [kN/m]               | 50.00    |
| Rapporto di Scorrimento plastico.....                 | :                    | 2.00     |
| Coefficiente di Scorrimento elastico.....             | [m <sup>3</sup> /kN] | 1.10e-04 |
| Rigidità estensionale.....                            | [kN/m]               | 500.00   |
| Lunghezza minima di ancoraggio.....                   | [m]                  | 0.15     |
| Coefficiente di sicurezza alla rottura (ghiaia).....  | :                    | 1.26     |
| Coefficiente di sicurezza al Pull-out.....            | :                    | 1.00     |
| Coefficiente di sicurezza alla rottura (sabbia).....  | :                    | 1.09     |
| Coefficiente di sicurezza al Pull-out.....            | :                    | 1.00     |
| Coefficiente di sicurezza alla rottura (limo).....    | :                    | 1.09     |
| Coefficiente di sicurezza al Pull-out .....           | :                    | 1.00     |
| Coefficiente di sicurezza alla rottura (argilla)..... | :                    | 1.09     |
| Coefficiente di sicurezza al Pull-out.....            | :                    | 1.00     |
| Coefficiente di interazione rinforzo-rinforzo         | :                    | 0.30     |
| Coefficiente di sfilamento rinforzo-ghiaia.....       | :                    | 0.90     |
| Coefficiente di sfilamento rinforzo-sabbia.....       | :                    | 0.65     |
| Coefficiente di sfilamento rinforzo-limo.....         | :                    | 0.50     |
| Coefficiente di sfilamento rinforzo-argilla.....      | :                    | 0.30     |

**VERIFICHE**



**Verifica di stabilità interna :**

Combinazione di carico : M1 + R3 + Kh±Kv

Calcolo delle forze nei rinforzi col metodo rigido

Ricerca delle superfici critiche col metodo di Bishop

Coefficiente di sicurezza minimo calcolato..... : 1.072

Intervallo di ricerca delle superfici

| Blocco   | Segmento di arrivo, ascisse [m] |               |
|--|---------------------------------|---------------|
|  | Primo punto                     | Secondo punto |
| TMV_1  | 93.00                           | 53.00         |
| Numero punti avvio superfici sul segmento di partenza..... | 1                               |               |
| Numero totale superfici di prova.....                      | 1000                            |               |
| Lunghezza segmenti delle superfici..... [m].....           | 0.50                            |               |
| Angolo limite orario..... [°].....                         | 0.00                            |               |
| Angolo limite antiorario..... [°].....                     | 0.00                            |               |

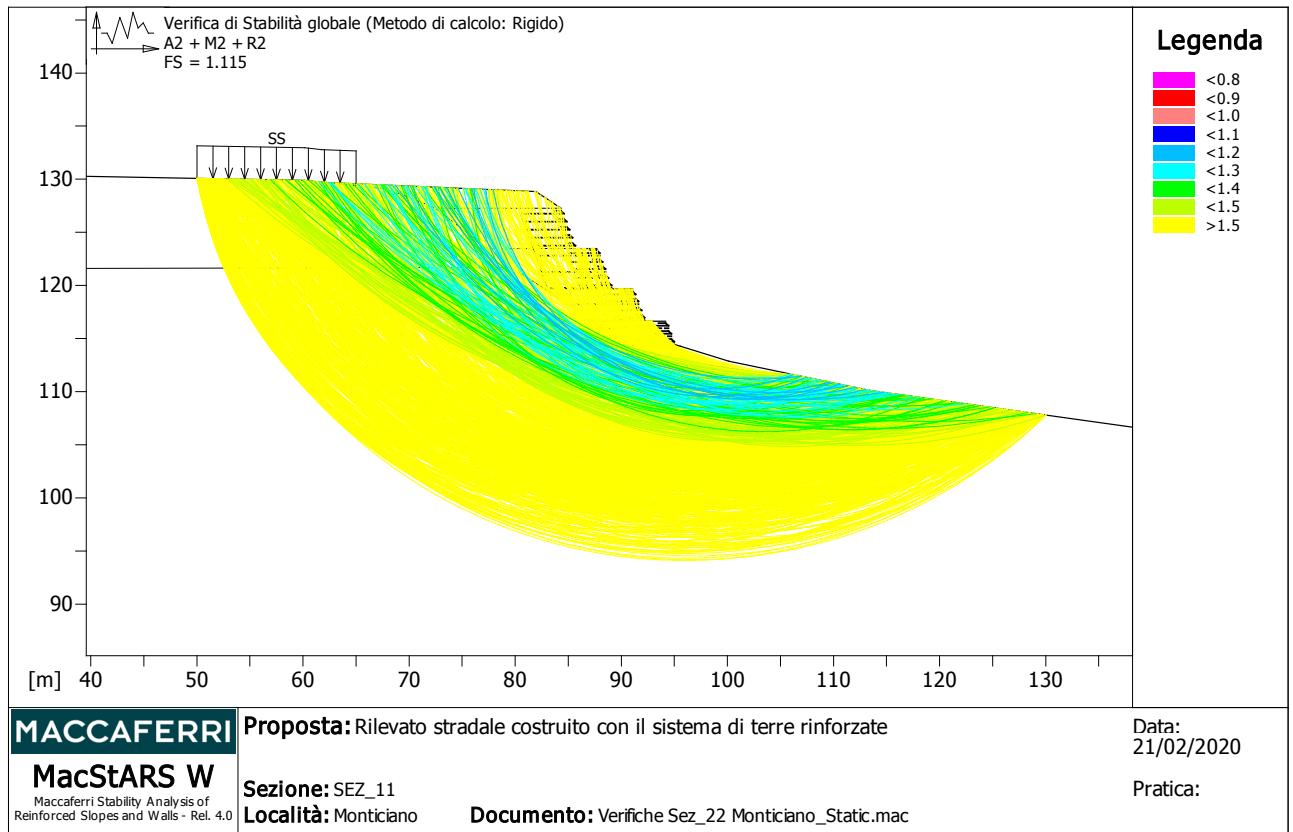
Blocco : TMV\_1

Linear Composites - ParaGrid - 200

| Y     | Tb      | Tp         | Td     | Tb/Td  | Tp/Td |
|-------|---------|------------|--------|--------|-------|
|       | rottura | sfilamento | agente | 1/Fmax |       |
| [m]   | [kN/m]  | [kN/m]     | [kN/m] |        |       |
| 0.760 | 200.0   | 368.8      | 132.4  | 1.51   | 2.79  |

| Fattore | Classe  |
|---------|---|
| 1.00    | Variabile - sfavorevole                                       |
| 1.00    | Sisma   |
| 1.00    | Coeff. Parziale - tangente dell'angolo di resistenza a taglio |
| 1.00    | Coeff. Parziale - Coesione efficace                           |
| 1.00    | Coeff. Parziale - Peso dell'unità di volume - favorevole      |
| 1.00    | Coeff. Parziale - Peso dell'unità di volume - sfavorevole     |
| 1.00    | Fs Rottura Rinforzi   |
| 1.00    | Fs Sfilamento Rinforzi  |
| 1.20    | Coeff. Parziale R - Stabilità                                 |





**Verifica di stabilità globale :**

Combinazione di carico : A2 + M2 + R2

Calcolo delle forze nei rinforzi col metodo rigido

Ricerca delle superfici critiche col metodo di Bishop

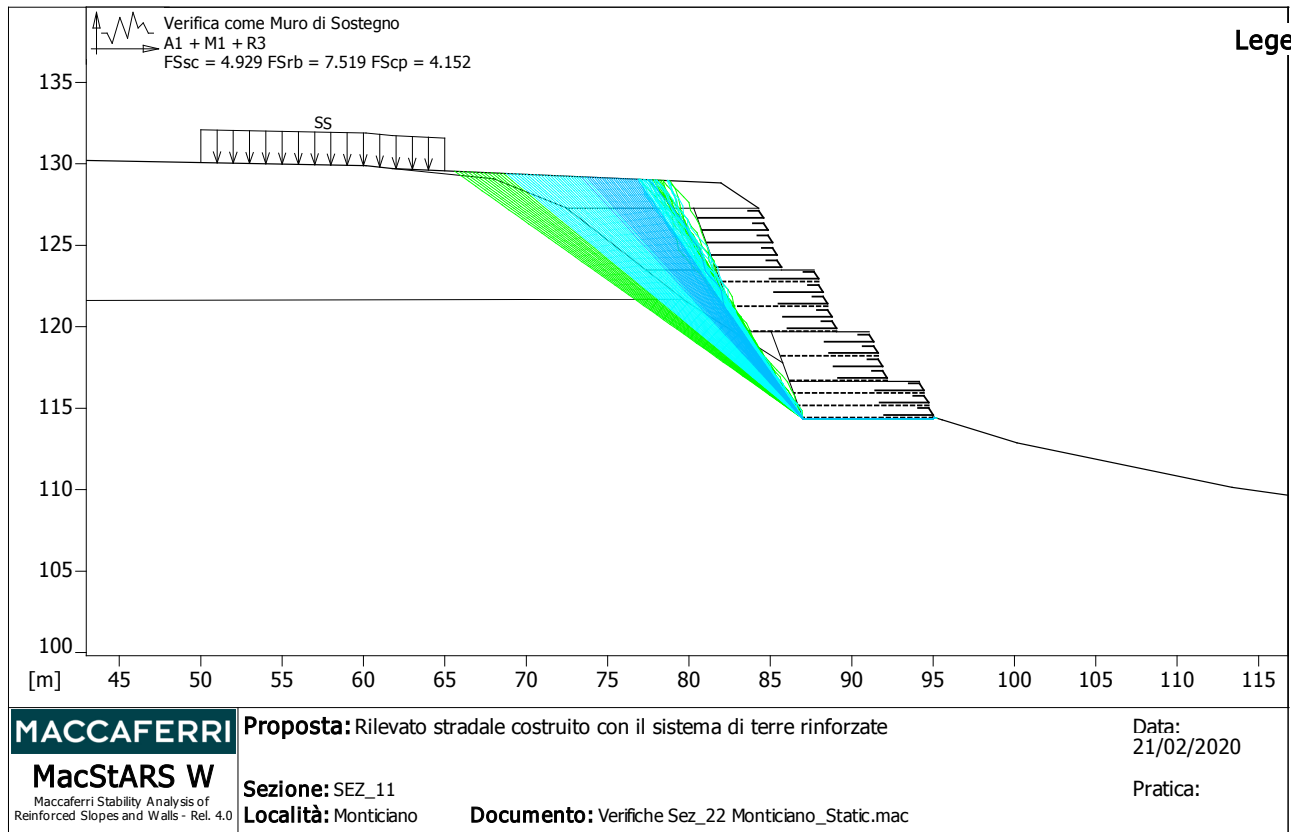
Coefficiente di sicurezza minimo calcolato.....: 1.115

**Intervallo di ricerca delle superfici**

| Segmento di partenza, ascisse [m]                           |               | Segmento di arrivo, ascisse [m] |               |
|---|---------------|---------------------------------|---------------|
| Primo punto   | Secondo punto | Primo punto                     | Secondo punto |
| 50.00   | 93.00         | 106.00                          | 130.00        |
| Numero punti avvio superfici sul segmento di partenza.....: |               | 100                             |               |
| Numero totale superfici di prova.....:                      |               | 1000                            |               |
| Lunghezza segmenti delle superfici..... [m].....:           |               | 0.50                            |               |
| Angolo limite orario..... [°].....:                         |               | 0.00                            |               |
| Angolo limite antiorario..... [°].....:                     |               | 0.00                            |               |

|         |                         |
|---------|-------------------------|
| Fattore | Classe                  |
| 1.30    | Variabile - sfavorevole |

|      |   |
|------|---|
| 0.00 | Sisma   |
| 1.25 | Coeff. Parziale - tangente dell'angolo di resistenza a taglio |
| 1.25 | Coeff. Parziale - Coesione efficace                           |
| 1.00 | Coeff. Parziale - Peso dell'unità di volume - favorevole      |
| 1.00 | Coeff. Parziale - Peso dell'unità di volume - sfavorevole     |
| 1.00 | Fs Rottura Rinforzi   |
| 1.00 | Fs Sfilamento Rinforzi  |
| 1.10 | Coeff. Parziale R - Stabilità                                 |



**Verifica come muro di sostegno :**

Combinazione di carico : A1 + M1 + R3

Stabilità verificata sul blocco : TMV\_1

Forza Stabilizzante.....[kN/m].....: 1091.70

Forza Instabilizzante.....[kN/m].....: 201.34

Classe scorrimento.....: Coeff. parziale R - Scorrimento

Coefficiente di sicurezza allo scorrimento.....: 4.929

Momento Stabilizzante.....[kN\*m/m].....:12497.00

Momento Instabilizzante.....[kN\*m/m].....: 1445.20

Classe momento.....: Coeff. parziale R - Ribaltamento

Coefficiente di sicurezza al ribaltamento.....: 7.519

Pressione ultima calcolata con metodo dell'equilibrio limite.

Pressione ultima.....[kN/m<sup>2</sup>].....: 1099.50

Pressione media agente.....[kN/m<sup>2</sup>].....: 189.16

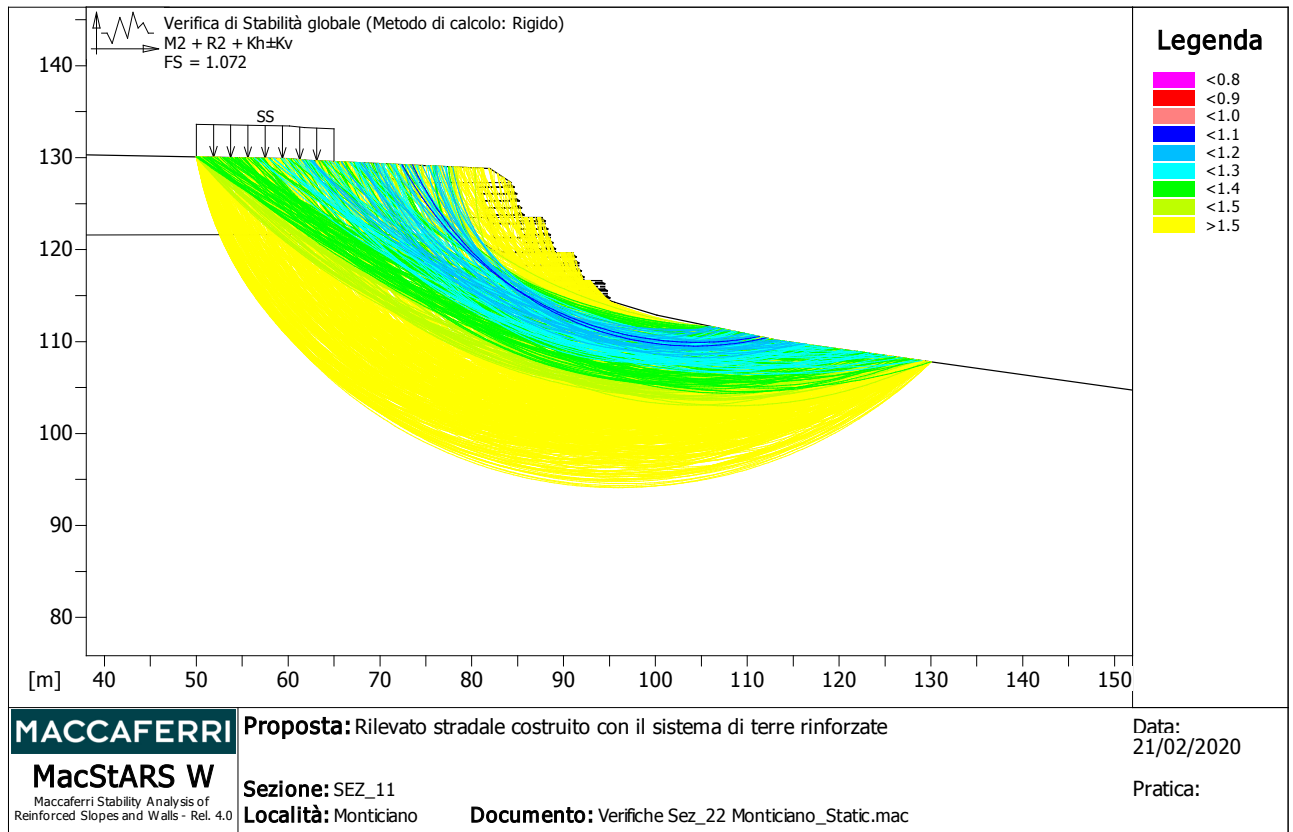
Classe pressione.....: Coeff. parziale R - Capacità portante

Coefficiente di sicurezza sulla capacità portante.....: 4.152

Fondazione equivalente.....[m].....: 8.00

Eccentricità forza normale.....[m].....: -3.37  
Braccio momento.....[m].....: 7.18  
Forza normale .....[kN].....: 1499.80  
Pressione estremo di valle.....[kN/m<sup>2</sup>].....:-17840.78  
Pressione estremo di monte.....[kN/m<sup>2</sup>].....:20217.27

| Fattore | Classe  |
|---------|---|
| 1.50    | Variabile - sfavorevole                                       |
| 0.00    | Sisma   |
| 1.00    | Coeff. Parziale - tangente dell'angolo di resistenza a taglio |
| 1.00    | Coeff. Parziale - Coesione efficace                           |
| 1.00    | Coeff. Parziale - Peso dell'unità di volume - favorevole      |
| 1.30    | Coeff. Parziale - Peso dell'unità di volume - sfavorevole     |
| 1.00    | Fs Rottura Rinforzi   |
| 1.00    | Fs Sfilamento Rinforzi  |
| 1.10    | Coeff. parziale R - Scorrimento                               |
| 1.40    | Coeff. parziale R - Capacità portante                         |
| 1.15    | Coeff. parziale R - Ribaltamento                              |



**Verifica di stabilità globale :**

Combinazione di carico : M2 + R2 + Kh±Kv

Calcolo delle forze nei rinforzi col metodo rigido

Ricerca delle superfici critiche col metodo di Bishop

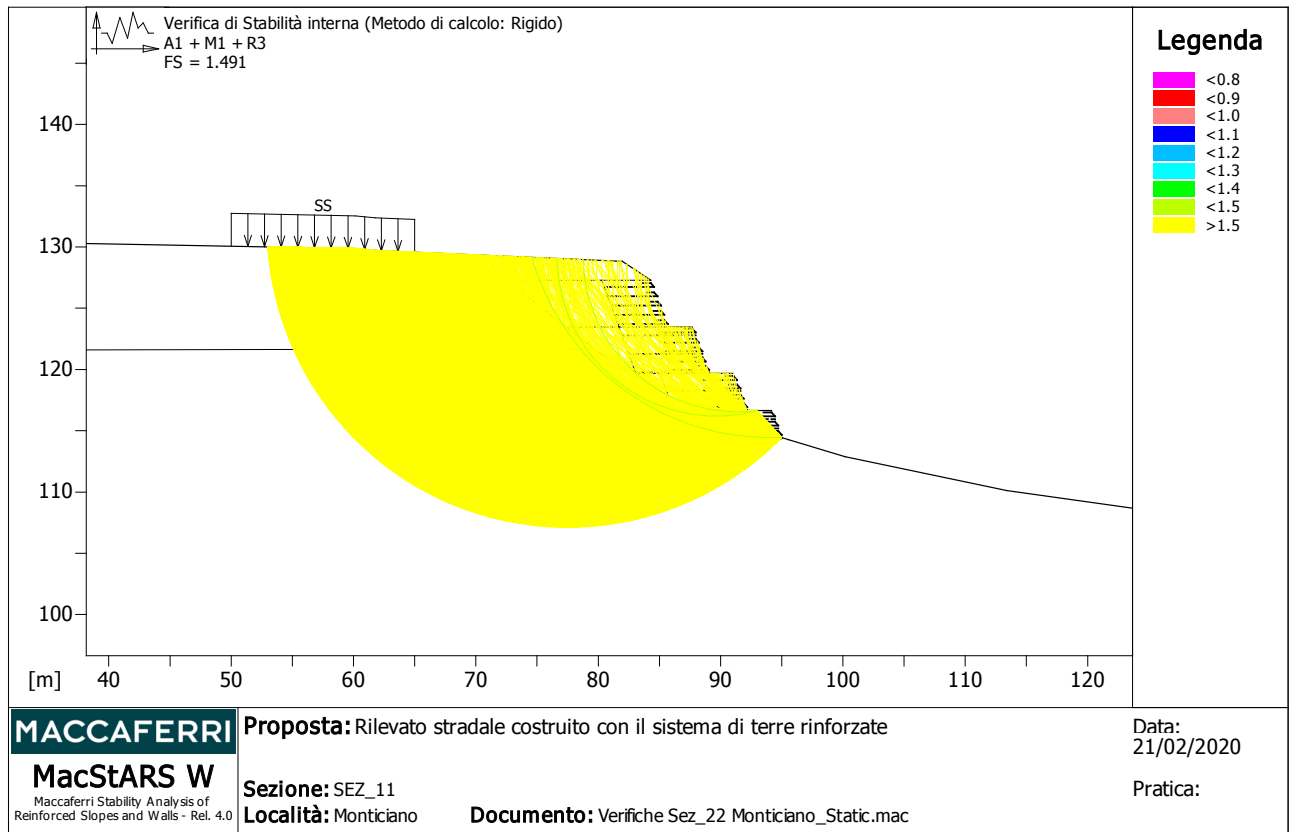
Coefficiente di sicurezza minimo calcolato.....: 1.072

**Intervallo di ricerca delle superfici**

| Segmento di partenza, ascisse [m]                           |               | Segmento di arrivo, ascisse [m] |               |
|---|---------------|---------------------------------|---------------|
| Primo punto   | Secondo punto | Primo punto                     | Secondo punto |
| 50.00   | 93.00         | 106.00                          | 130.00        |
| Numero punti avvio superfici sul segmento di partenza.....: |               | 100                             |               |
| Numero totale superfici di prova.....:                      |               | 1000                            |               |
| Lunghezza segmenti delle superfici..... [m].....:           |               | 0.50                            |               |
| Angolo limite orario..... [°].....:                         |               | 0.00                            |               |
| Angolo limite antiorario..... [°].....:                     |               | 0.00                            |               |

|         |                         |
|---------|-------------------------|
| Fattore | Classe                  |
| 1.00    | Variabile - sfavorevole |

|      |   |
|------|---|
| 1.00 | Sisma   |
| 1.00 | Coeff. Parziale - tangente dell'angolo di resistenza a taglio |
| 1.00 | Coeff. Parziale - Coesione efficace                           |
| 1.00 | Coeff. Parziale - Peso dell'unità di volume - favorevole      |
| 1.00 | Coeff. Parziale - Peso dell'unità di volume - sfavorevole     |
| 1.00 | Fs Rottura Rinforzi   |
| 1.00 | Fs Sfilamento Rinforzi  |
| 1.20 | Coeff. Parziale R - Stabilità                                 |



**Verifica di stabilità interna :**

Combinazione di carico : A1 + M1 + R3

Calcolo delle forze nei rinforzi col metodo rigido

Ricerca delle superfici critiche col metodo di Bishop

Coefficiente di sicurezza minimo calcolato.....: 1.491

**Intervallo di ricerca delle superfici**

| Blocco  | Segmento di arrivo, ascisse [m] |               |
|---|---------------------------------|---------------|
| TMV_1   | Primo punto                     | Secondo punto |
|   | 93.00                           | 53.00         |
| Numero punti avvio superfici sul segmento di partenza.....: | 1                               |               |
| Numero totale superfici di prova.....:                      | 1000                            |               |
| Lunghezza segmenti delle superfici..... [m].....:           | 0.50                            |               |
| Angolo limite orario..... [°].....:                         | 0.00                            |               |
| Angolo limite antiorario..... [°].....:                     | 0.00                            |               |

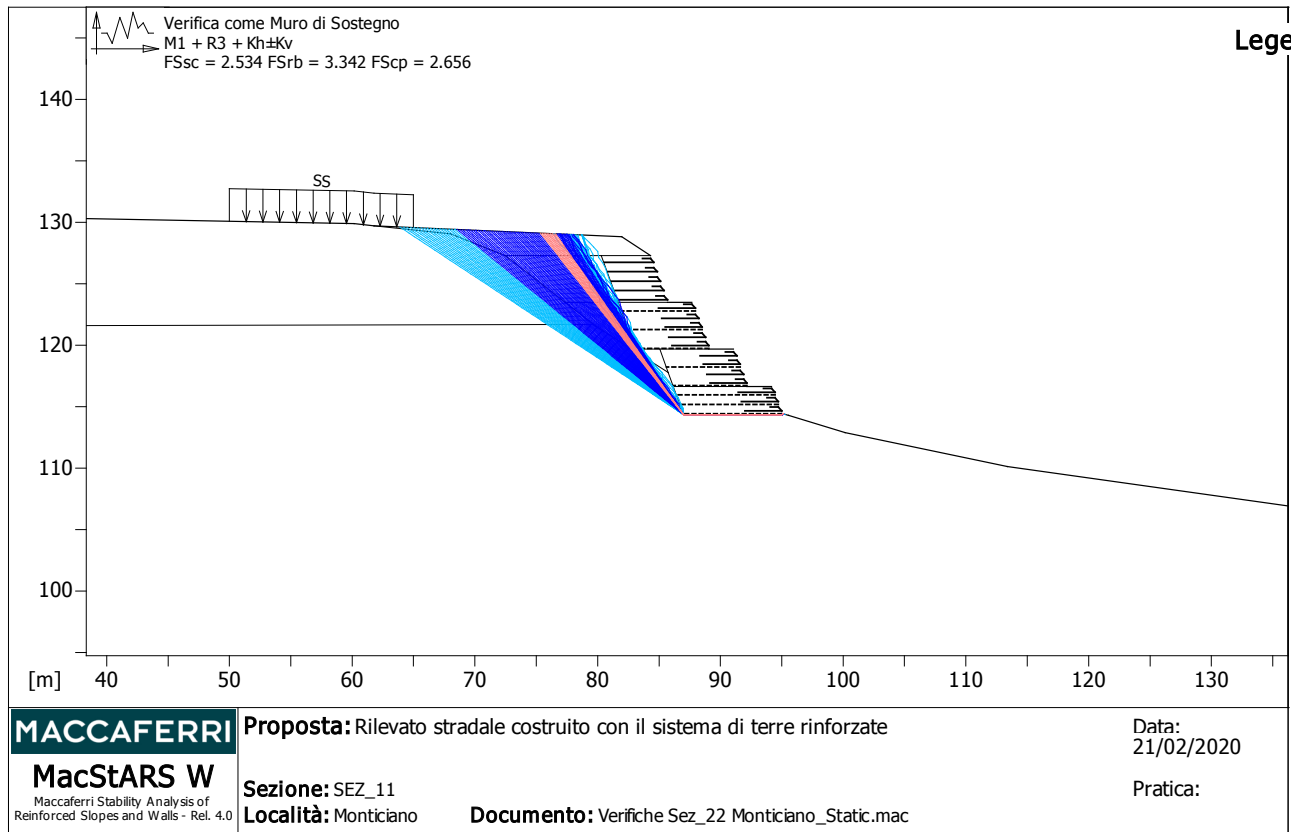
Blocco : TMV\_1

Linear Composites - ParaGrid - 200

| Y     | Tb      | Tp         | Td     | Tb/Td  | Tp/Td |
|-------|---------|------------|--------|--------|-------|
|       | rottura | sfilamento | agente | 1/Fmax |       |
| [m]   | [kN/m]  | [kN/m]     | [kN/m] |        |       |
| 0.760 | 200.0   | 368.8      | 132.4  | 1.51   | 2.79  |

| Fattore | Classe  |
|---------|---|
| 1.50    | Variabile - sfavorevole                                       |
| 0.00    | Sisma   |
| 1.00    | Coeff. Parziale - tangente dell'angolo di resistenza a taglio |
| 1.00    | Coeff. Parziale - Coesione efficace                           |
| 1.00    | Coeff. Parziale - Peso dell'unità di volume - favorevole      |
| 1.30    | Coeff. Parziale - Peso dell'unità di volume - sfavorevole     |
| 1.00    | Fs Rottura Rinforzi   |
| 1.00    | Fs Sfilamento Rinforzi  |
| 1.00    | Coeff. Parziale R - Stabilità                                 |





**Verifica come muro di sostegno :**

Combinazione di carico : M1 + R3 + Kh±Kv

Stabilità verificata sul blocco : TMV\_1

Forza Stabilizzante.....[kN/m].....: 1043.10

Forza Instabilizzante.....[kN/m].....: 411.66

Classe scorrimento.....: Coeff. parziale R - Scorrimento

Coefficiente di sicurezza allo scorrimento.....: 2.534

Momento Stabilizzante.....[kN\*m/m].....:12497.00

Momento Instabilizzante.....[kN\*m/m].....: 3739.20

Classe momento.....: Coeff. parziale R - Ribaltamento

Coefficiente di sicurezza al ribaltamento.....: 3.342

Pressione ultima calcolata con metodo dell'equilibrio limite.

Pressione ultima.....[kN/m<sup>2</sup>].....: 592.07

Pressione media agente.....[kN/m<sup>2</sup>].....: 185.75

Classe pressione.....: Coeff. parziale R - Capacità portante

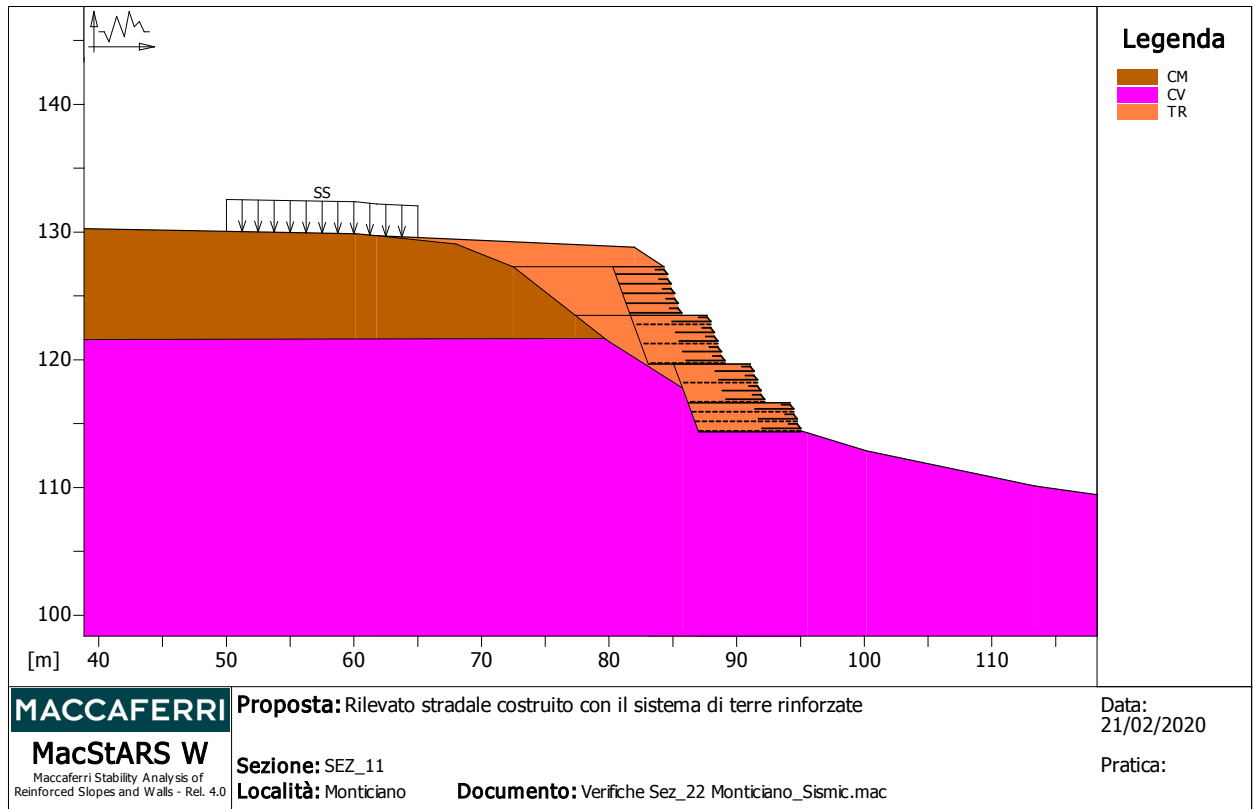
Coefficiente di sicurezza sulla capacità portante.....: 2.656

Fondazione equivalente.....[m].....: 8.00

Eccentricità forza normale.....[m].....: -2.13  
Braccio momento.....[m].....: 9.08  
Forza normale .....[kN].....: 1427.80  
Pressione estremo di valle.....[kN/m<sup>2</sup>].....: -929.83  
Pressione estremo di monte.....[kN/m<sup>2</sup>].....: 1694.95

| Fattore | Classe  |
|---------|---|
| 1.00    | Variabile - sfavorevole                                       |
| 1.00    | Sisma   |
| 1.00    | Coeff. Parziale - tangente dell'angolo di resistenza a taglio |
| 1.00    | Coeff. Parziale - Coesione efficace                           |
| 1.00    | Coeff. Parziale - Peso dell'unità di volume - favorevole      |
| 1.00    | Coeff. Parziale - Peso dell'unità di volume - sfavorevole     |
| 1.00    | Fs Rottura Rinforzi   |
| 1.00    | Fs Sfilamento Rinforzi  |
| 1.00    | Coeff. parziale R - Scorrimento                               |
| 1.20    | Coeff. parziale R - Capacità portante                         |
| 1.00    | Coeff. parziale R - Ribaltamento                              |

**CARATTERISTICHE GEOTECNICHE DEI TERRENI**



**Terreno : CM**                      Descrizione : Breccie e grotti

Classe coesione..... : Coeff. Parziale - Coesione efficace

Coesione.....[kN/m<sup>2</sup>]..... : 0.00

Classe d'attrito..... : Coeff. Parziale - tangente dell'angolo di resistenza a taglio

Angolo d'attrito.....[°]..... : 34.00

Rapporto di pressione interstiziale (Ru)..... : 0.00

Classe di peso..... : Coeff. Parziale - Peso dell'unità di volume - sfavorevole

Peso specifico sopra falda.....[kN/m<sup>3</sup>]..... : 19.00

Peso specifico in falda.....[kN/m<sup>3</sup>]..... : 18.00

Modulo elastico.....[kN/m<sup>2</sup>]..... : 0.00

Coefficiente di Poisson..... : 0.30

**Terreno : CV**                      Descrizione : Calcare cavernoso

Classe coesione..... : Coeff. Parziale - Coesione efficace

|  |       |
|--|-------|
| Coesione.....[kN/m <sup>2</sup> ].....:  | 10.00 |
| Classe d'attrito.....: Coeff. Parziale - tangente dell'angolo di resistenza a taglio |       |
| Angolo d'attrito.....[°].....:   | 34.00 |
| Rapporto di pressione interstiziale (Ru).....:                                       | 0.00  |
| Classe di peso.....: Coeff. Parziale - Peso dell'unità di volume - sfavorevole       |       |
| Peso specifico sopra falda.....[kN/m <sup>3</sup> ].....:                            | 21.00 |
| Peso specifico in falda.....[kN/m <sup>3</sup> ].....:                               | 20.00 |
| Modulo elastico.....[kN/m <sup>2</sup> ].....:                                       | 0.00  |
| Coefficiente di Poisson.....:  | 0.30  |

**Terreno : TR**                      Descrizione : Terreno di riempimento della terra rinforzata

|  |       |
|--|-------|
| Classe coesione.....: Coeff. Parziale - Coesione efficace                            |       |
| Coesione.....[kN/m <sup>2</sup> ].....:  | 0.00  |
| Classe d'attrito.....: Coeff. Parziale - tangente dell'angolo di resistenza a taglio |       |
| Angolo d'attrito.....[°].....:   | 35.00 |
| Rapporto di pressione interstiziale (Ru).....:                                       | 0.00  |
| Classe di peso.....: Coeff. Parziale - Peso dell'unità di volume - favorevole        |       |
| Peso specifico sopra falda.....[kN/m <sup>3</sup> ].....:                            | 19.00 |
| Peso specifico in falda.....[kN/m <sup>3</sup> ].....:                               | 18.00 |
| Modulo elastico.....[kN/m <sup>2</sup> ].....:                                       | 0.00  |
| Coefficiente di Poisson.....:  | 0.30  |

**PROFILI STRATIGRAFICI**

**Strato: STR\_CM**                      Descrizione: Strato di brecce e grotti

Terreno : CM

| X     | Y      | X     | Y      | X     | Y      | X     | Y      |
|-------|--------|-------|--------|-------|--------|-------|--------|
| [m]   | [m]    | [m]   | [m]    | [m]   | [m]    | [m]   | [m]    |
| 0.00  | 131.01 | 60.15 | 129.88 | 68.01 | 129.07 | 72.46 | 127.29 |
| 79.89 | 121.51 |       |        |       |        |       |        |

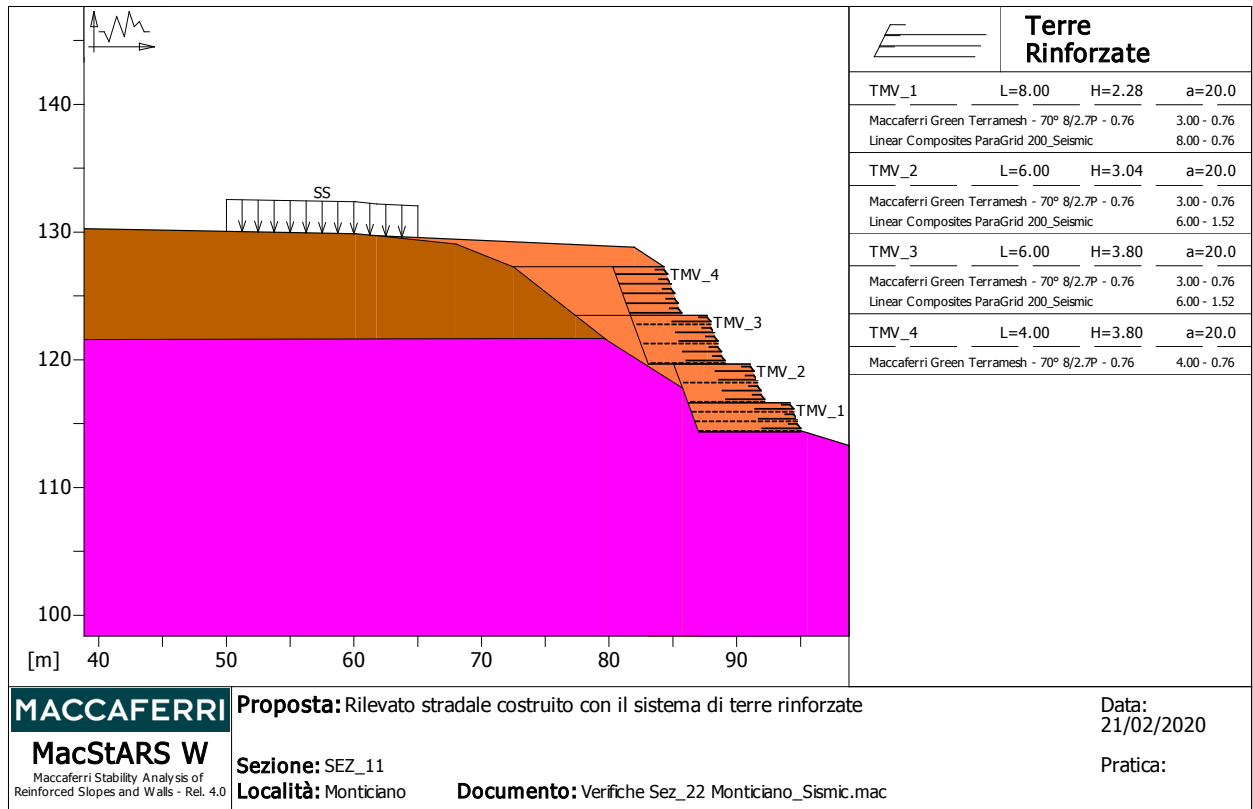
**Strato: STR\_CV**

Descrizione: Strato di calcare cavernoso

Terreno : CV

| X      | Y      | X      | Y      | X      | Y      | X     | Y      |
|--------|--------|--------|--------|--------|--------|-------|--------|
| [m]    | [m]    | [m]    | [m]    | [m]    | [m]    | [m]   | [m]    |
| 0.00   | 121.51 | 79.61  | 121.69 | 87.39  | 116.74 | 95.56 | 114.28 |
| 100.15 | 112.88 | 113.38 | 110.13 | 152.39 | 104.66 |       |        |

**BLOCCHI RINFORZATI**



**Blocco : TMV\_1**

Dati principali.....[m].....: Larghezza..... = 8.00 Altezza..... = 2.28  
 Coordinate Origine...[m].....: Ascissa..... = 95.00 Ordinata..... = 114.36  
 Inclinazione paramento.....[°]...: 20.00

Rilevato strutturale - materiale tipo.....: Sabbia  
 Rilevato strutturale.....: TR  
 Terreno di riempimento a tergo.....: TR  
 Terreno di copertura.....: TR  
 Terreno di fondazione.....: CV

Parametri per il calcolo della capacità portante con Brinch Hansen, Vesic o Meyerhof

Affondamento fondazione.....[m] : 0.00  
 Inclinazione pendio a valle.....[°] : 0.00

**Rinforzi :**

Maccaferri - Green Terramesh - 70° - 8/2.7P - 0.76

Lunghezza.....[m]..... = 3.00

Interasse.....[m]..... = 0.76

Risolto.....[m]..... = 0.65

Linear Composites - ParaGrid - 200\_Seismic

Lunghezza.....[m]..... = 8.00

Interasse verticale.....[m]..... = 0.76

Offset.....[m]..... = 0.00

**Blocco : TMV\_2**

Dati principali.....[m].....: Larghezza..... = 6.00 Altezza..... = 3.04

Arretramento.....[m]..... = 2.00 da TMV\_1

Inclinazione paramento.....[°].....: 20.00

Rilevato strutturale - materiale tipo.....: Sabbia

Rilevato strutturale.....: TR

Terreno di riempimento a tergo.....: TR

Terreno di copertura.....: TR

Terreno di fondazione.....: TR

Parametri per il calcolo della capacità portante com Brinch Hansen, Vesic o Meyerhof

Affondamento fondazione.....[m] : 0.00

Inclinazione pendio a valle.....[°] : 0.00

**Rinforzi :**

Maccaferri - Green Terramesh - 70° - 8/2.7P - 0.76

Lunghezza.....[m]..... = 3.00

Interasse.....[m]..... = 0.76

Risolto.....[m]..... = 0.65

Linear Composites - ParaGrid - 200\_Seismic

Lunghezza.....[m]..... = 6.00

Interasse verticale.....[m]..... = 1.52

Offset.....[m]..... = 0.00

**Blocco : TMV\_3**

Dati principali.....[m].....: Larghezza..... = 6.00 Altezza..... = 3.80

Arretramento.....[m].....= 2.00 da TMV\_2

Inclinazione paramento.....[°]..: 20.00

Rilevato strutturale - materiale tipo.....: Sabbia

Rilevato strutturale.....: TR

Terreno di riempimento a tergo.....: TR

Terreno di copertura.....: TR

Terreno di fondazione.....: TR

Parametri per il calcolo della capacità portante com Brinch Hansen, Vesic o Meyerhof

Affondamento fondazione.....[m] : 0.00

Inclinazione pendio a valle.....[°] : 0.00

#### Rinforzi :

Maccaferri - Green Terramesh - 70° - 8/2.7P - 0.76

Lunghezza.....[m].....= 3.00

Interasse.....[m].....= 0.76

Risolto.....[m].....= 0.65

Linear Composites - ParaGrid - 200\_Seismic

Lunghezza.....[m].....= 6.00

Interasse verticale.....[m].....= 1.52

Offset.....[m].....= 0.00

#### Blocco : TMV\_4

Dati principali.....[m].....: Larghezza.....= 4.00 Altezza.....= 3.80

Arretramento.....[m].....= 2.00 da TMV\_3

Inclinazione paramento.....[°]..: 20.00

Rilevato strutturale - materiale tipo.....: Sabbia

Rilevato strutturale.....: TR

Terreno di riempimento a tergo.....: TR

Terreno di copertura.....: TR

Terreno di fondazione.....: TR

Parametri per il calcolo della capacità portante com Brinch Hansen, Vesic o Meyerhof

Affondamento fondazione.....[m] : 0.00

Inclinazione pendio a valle.....[°] : 0.00



**Rinforzi :**

Maccaferri - Green Terramesh - 70° - 8/2.7P - 0.76

Lunghezza.....[m]..... = 4.00

Interasse.....[m]..... = 0.76

Risolto.....[m]..... = 0.65

**Profilo di ricopertura:**

| X    | Y    | X    | Y    | X     | Y    | X   | Y   |
|------|------|------|------|-------|------|-----|-----|
| [m]  | [m]  | [m]  | [m]  | [m]   | [m]  | [m] | [m] |
| 0.00 | 0.00 | 2.33 | 1.55 | 24.00 | 2.50 |     |     |

**CARICHI**

**Pressione : SS** Descrizione : Sovraccarico stradale

Classe : Variabile - sfavorevole

Intensità.....[kN/m<sup>2</sup>]... = 4.00 Inclinazione.....[°]... = 0.00

Ascissa.....[m] : Da = 50.00 To = 65.00

**Sisma :**

Classe : Sisma

Accelerazione.....[m/s<sup>2</sup>]: Orizzontale... = 0.93 Verticale..... = 0.47

**PROPRIETA' DEI RINFORZI UTILIZZATI**

Linear Composites - ParaGrid - 200\_Seismic

Carico di rottura Nominale Tr .....[kN/m]..... : 200.00

Rapporto di Scorrimento plastico..... : 0.00

Coefficiente di Scorrimento elastico.....[m<sup>3</sup>/kN]..... : 1.10e-04

Rigidezza estensionale.....[kN/m]..... : 2222.00

Lunghezza minima di ancoraggio.....[m]..... : 0.15

Coefficiente di sicurezza alla rottura (ghiaia)..... : 1.10

Coefficiente di sicurezza al Pull-out..... : 1.00

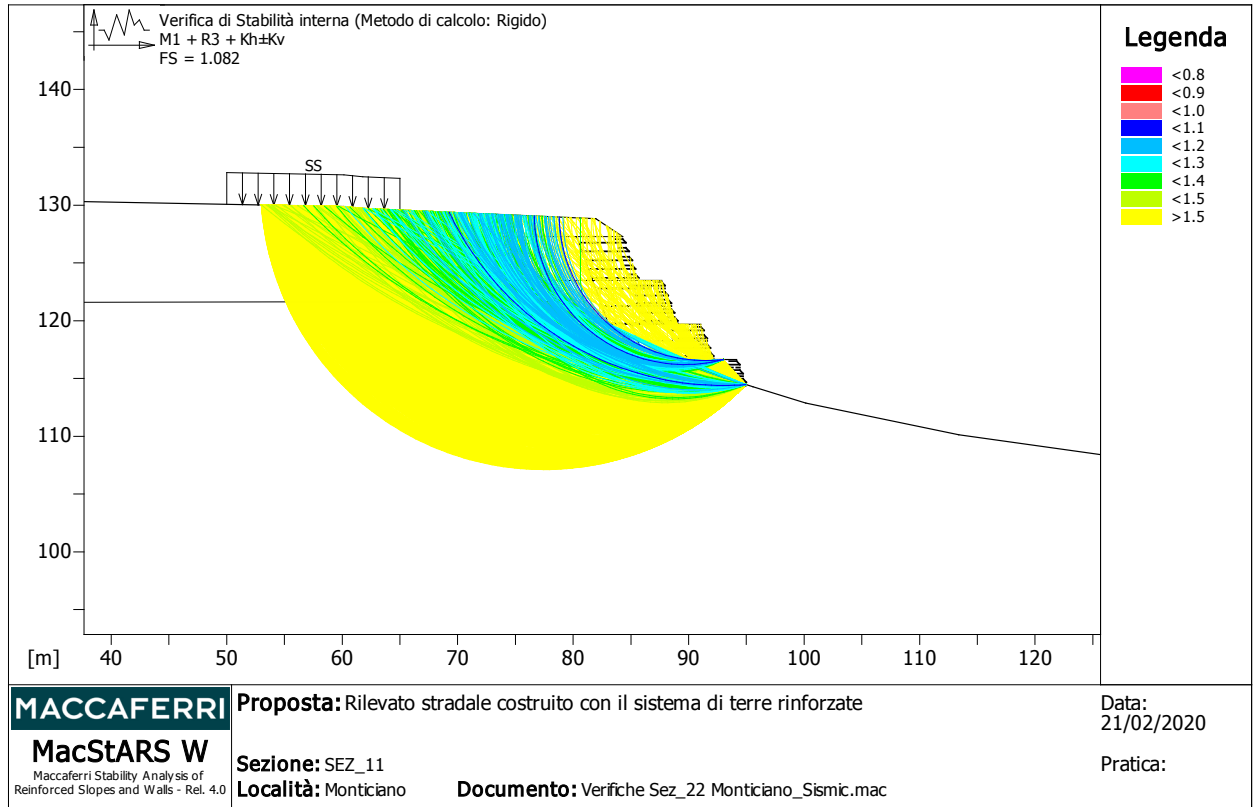
Coefficiente di sicurezza alla rottura (sabbia)..... : 1.09

Coefficiente di sicurezza al Pull-out..... : 1.00

Coefficiente di sicurezza alla rottura (limo)..... : 1.09

|   |   |          |
|---|---|----------|
| Coefficiente di sicurezza al Pull-out .....                         | : | 1.00     |
| Coefficiente di sicurezza alla rottura (argilla).....               | : | 1.09     |
| Coefficiente di sicurezza al Pull-out.....                          | : | 1.00     |
| Coefficiente di interazione rinforzo-rinforzo                       | : | 0.25     |
| Coefficiente di sfilamento rinforzo-ghiaia.....                     | : | 0.90     |
| Coefficiente di sfilamento rinforzo-sabbia.....                     | : | 0.90     |
| Coefficiente di sfilamento rinforzo-limo.....                       | : | 0.70     |
| Coefficiente di sfilamento rinforzo-argilla.....                    | : | 0.40     |
| Maccaferri - Green Terramesh - 70° - 8/2.7P - 0.76                  |   |          |
| Carico di rottura Nominale Tr ..... [kN/m].....                     | : | 50.00    |
| Rapporto di Scorrimento plastico.....                               | : | 2.00     |
| Coefficiente di Scorrimento elastico..... [m <sup>3</sup> /kN]..... | : | 1.10e-04 |
| Rigidezza estensionale..... [kN/m].....                             | : | 500.00   |
| Lunghezza minima di ancoraggio..... [m].....                        | : | 0.15     |
| Coefficiente di sicurezza alla rottura (ghiaia).....                | : | 1.26     |
| Coefficiente di sicurezza al Pull-out.....                          | : | 1.00     |
| Coefficiente di sicurezza alla rottura (sabbia).....                | : | 1.09     |
| Coefficiente di sicurezza al Pull-out.....                          | : | 1.00     |
| Coefficiente di sicurezza alla rottura (limo).....                  | : | 1.09     |
| Coefficiente di sicurezza al Pull-out .....                         | : | 1.00     |
| Coefficiente di sicurezza alla rottura (argilla).....               | : | 1.09     |
| Coefficiente di sicurezza al Pull-out.....                          | : | 1.00     |
| Coefficiente di interazione rinforzo-rinforzo                       | : | 0.30     |
| Coefficiente di sfilamento rinforzo-ghiaia.....                     | : | 0.90     |
| Coefficiente di sfilamento rinforzo-sabbia.....                     | : | 0.65     |
| Coefficiente di sfilamento rinforzo-limo.....                       | : | 0.50     |
| Coefficiente di sfilamento rinforzo-argilla.....                    | : | 0.30     |

**VERIFICHE**



**Verifica di stabilità interna :**

Combinazione di carico : M1 + R3 + Kh±Kv

Calcolo delle forze nei rinforzi col metodo rigido

Ricerca delle superfici critiche col metodo di Bishop

Coefficiente di sicurezza minimo calcolato.....: 1.082

**Intervallo di ricerca delle superfici**

| Blocco  | Segmento di arrivo, ascisse [m] |               |
|---|---------------------------------|---------------|
| TMV_1   | Primo punto                     | Secondo punto |
|   | 93.00                           | 53.00         |
| Numero punti avvio superfici sul segmento di partenza.....: | 1                               |               |
| Numero totale superfici di prova.....:                      | 1000                            |               |
| Lunghezza segmenti delle superfici..... [m].....:           | 0.50                            |               |
| Angolo limite orario..... [°].....:                         | 0.00                            |               |
| Angolo limite antiorario..... [°].....:                     | 0.00                            |               |

Blocco : TMV\_2

Maccaferri - Green Terramesh - 70° - 8/2.7P - 0.76

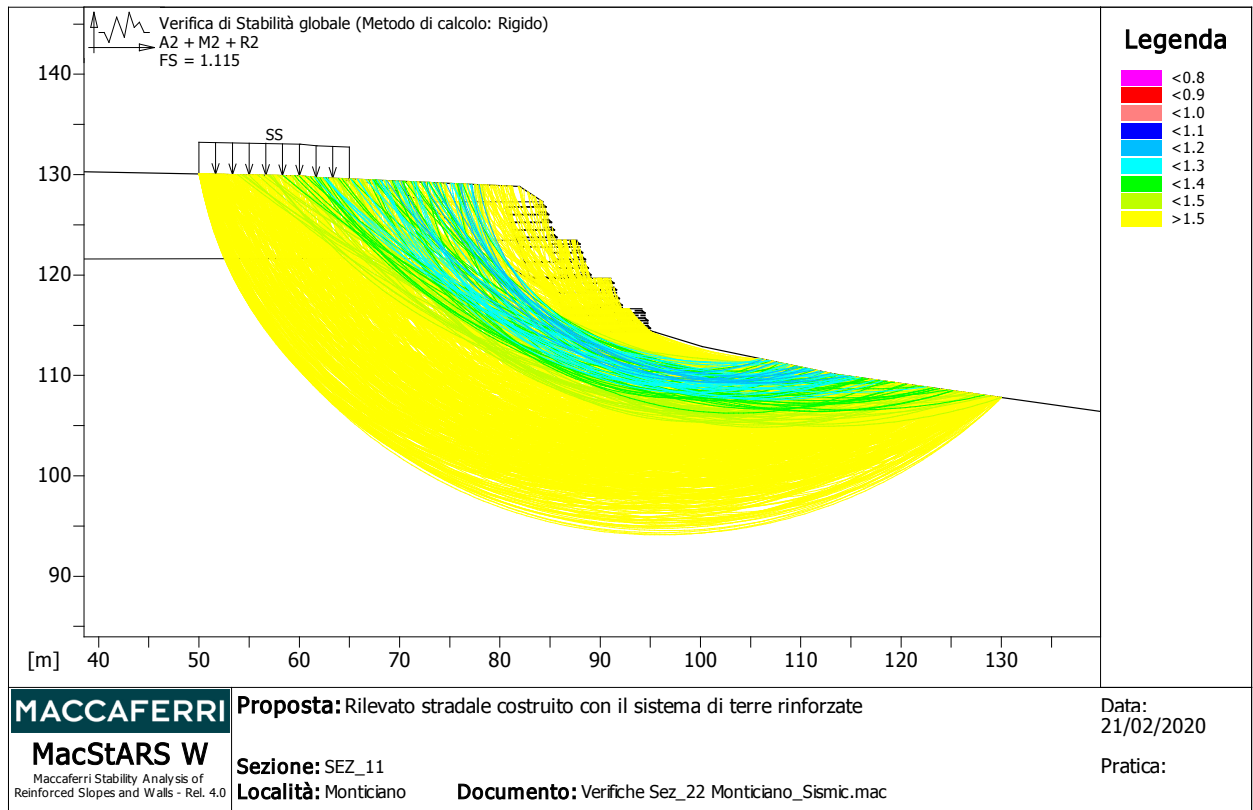
| Y     | Tb      | Tp         | Td     | Tb/Td  | Tp/Td |
|-------|---------|------------|--------|--------|-------|
|       | rottura | sfilamento | agente | 1/Fmax |       |
| [m]   | [kN/m]  | [kN/m]     | [kN/m] |        |       |
| 0.000 | 50.0    | 29.2       | 29.2   | 1.71   | 1.00  |

Blocco : TMV\_2

Linear Composites - ParaGrid - 200\_Seismic

| Y     | Tb      | Tp         | Td     | Tb/Td  | Tp/Td |
|-------|---------|------------|--------|--------|-------|
|       | rottura | sfilamento | agente | 1/Fmax |       |
| [m]   | [kN/m]  | [kN/m]     | [kN/m] |        |       |
| 0.000 | 200.0   | 84.0       | 84.0   | 2.38   | 1.00  |

| Fattore | Classe  |
|---------|---|
| 1.00    | Variabile - sfavorevole                                       |
| 1.00    | Sisma   |
| 1.00    | Coeff. Parziale - tangente dell'angolo di resistenza a taglio |
| 1.00    | Coeff. Parziale - Coesione efficace                           |
| 1.00    | Coeff. Parziale - Peso dell'unità di volume - favorevole      |
| 1.00    | Coeff. Parziale - Peso dell'unità di volume - sfavorevole     |
| 1.00    | Fs Rottura Rinforzi   |
| 1.00    | Fs Sfilamento Rinforzi  |
| 1.20    | Coeff. Parziale R - Stabilità                                 |



**Verifica di stabilità globale :**

Combinazione di carico : A2 + M2 + R2

Calcolo delle forze nei rinforzi col metodo rigido

Ricerca delle superfici critiche col metodo di Bishop

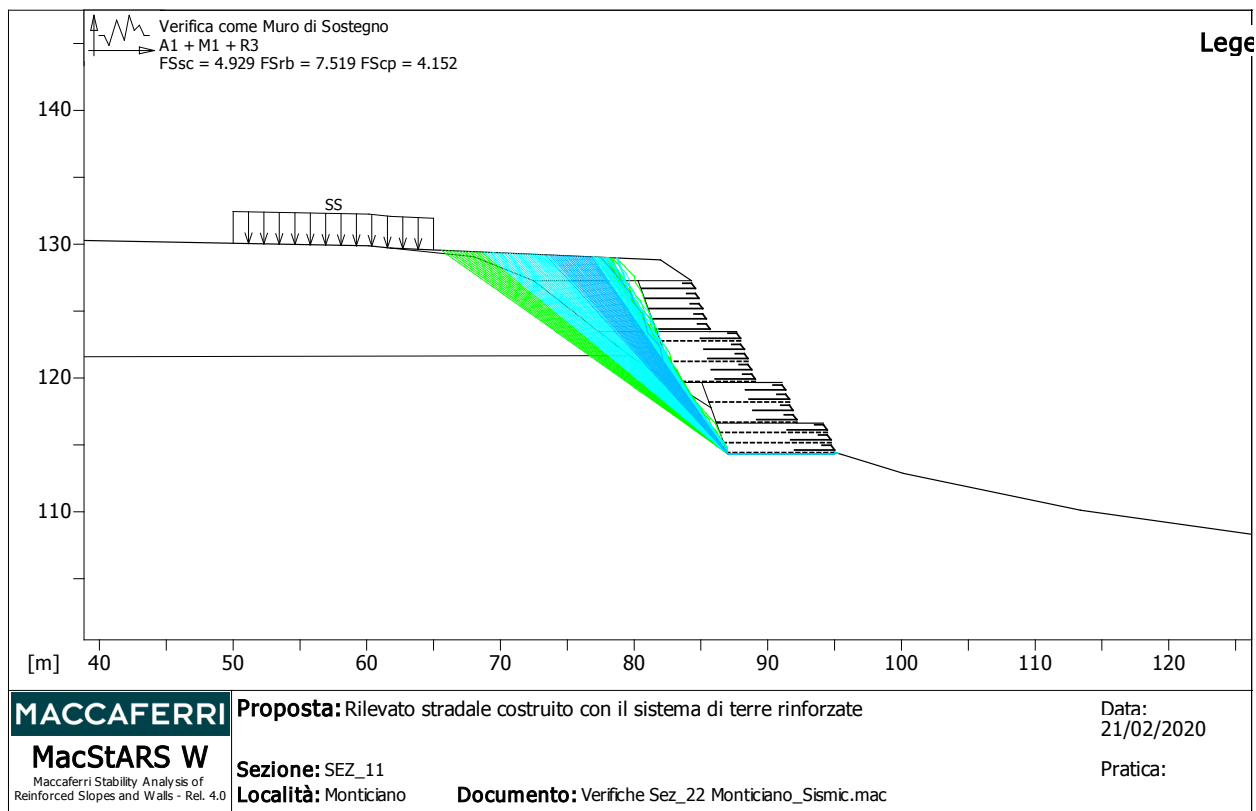
Coefficiente di sicurezza minimo calcolato..... : 1.115

**Intervallo di ricerca delle superfici**

| Segmento di partenza, ascisse [m]                            |               | Segmento di arrivo, ascisse [m] |               |
|--|---------------|---------------------------------|---------------|
| Primo punto  | Secondo punto | Primo punto                     | Secondo punto |
| 50.00  | 93.00         | 106.00                          | 130.00        |
| Numero punti avvio superfici sul segmento di partenza..... : |               | 100                             |               |
| Numero totale superfici di prova..... :                      |               | 1000                            |               |
| Lunghezza segmenti delle superfici..... [m]..... :           |               | 0.50                            |               |
| Angolo limite orario..... [°]..... :                         |               | 0.00                            |               |
| Angolo limite antiorario..... [°]..... :                     |               | 0.00                            |               |

|         |                         |
|---------|-------------------------|
| Fattore | Classe                  |
| 1.30    | Variabile - sfavorevole |

|      |   |
|------|---|
| 0.00 | Sisma   |
| 1.25 | Coeff. Parziale - tangente dell'angolo di resistenza a taglio |
| 1.25 | Coeff. Parziale - Coesione efficace                           |
| 1.00 | Coeff. Parziale - Peso dell'unità di volume - favorevole      |
| 1.00 | Coeff. Parziale - Peso dell'unità di volume - sfavorevole     |
| 1.00 | Fs Rottura Rinforzi   |
| 1.00 | Fs Sfilamento Rinforzi  |
| 1.10 | Coeff. Parziale R - Stabilità                                 |



**Verifica come muro di sostegno :**

Combinazione di carico : A1 + M1 + R3

Stabilità verificata sul blocco : TMV\_1

Forza Stabilizzante.....[kN/m]..... : 1091.70

Forza Instabilizzante.....[kN/m]..... : 201.34

Classe scorrimento.....: Coeff. parziale R - Scorrimento

Coefficiente di sicurezza allo scorrimento..... : 4.929

Momento Stabilizzante.....[kN\*m/m].....:12497.00

Momento Instabilizzante.....[kN\*m/m].....: 1445.20

Classe momento.....: Coeff. parziale R - Ribaltamento

Coefficiente di sicurezza al ribaltamento..... : 7.519

Pressione ultima calcolata con metodo dell'equilibrio limite.

Pressione ultima.....[kN/m<sup>2</sup>]..... : 1099.50

Pressione media agente.....[kN/m<sup>2</sup>]..... : 189.16

Classe pressione.....: Coeff. parziale R - Capacità portante

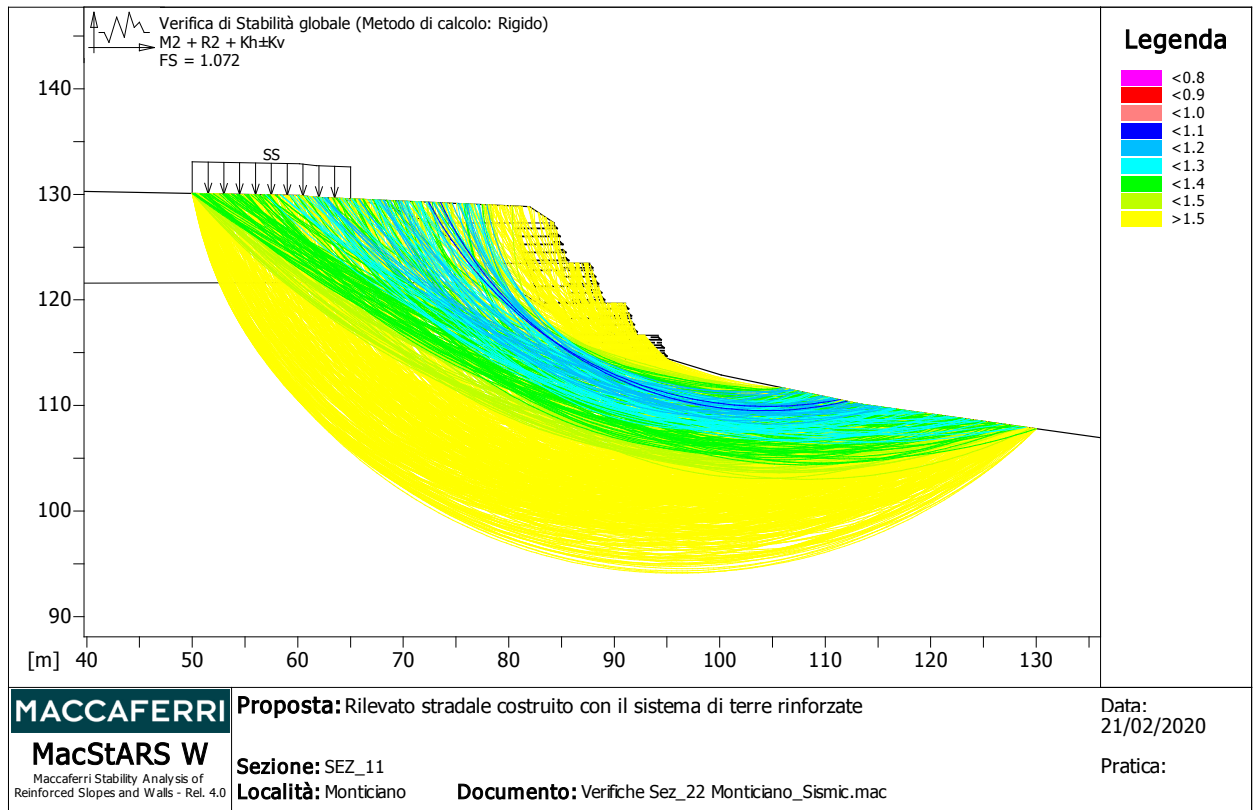
Coefficiente di sicurezza sulla capacità portante..... : 4.152

Fondazione equivalente.....[m]..... : 8.00

Eccentricità forza normale.....[m].....: -3.37  
Braccio momento.....[m].....: 7.18  
Forza normale .....[kN].....: 1499.80  
Pressione estremo di valle.....[kN/m<sup>2</sup>].....:-17840.78  
Pressione estremo di monte.....[kN/m<sup>2</sup>].....:20217.27

| Fattore | Classe  |
|---------|---|
| 1.50    | Variabile - sfavorevole                                       |
| 0.00    | Sisma   |
| 1.00    | Coeff. Parziale - tangente dell'angolo di resistenza a taglio |
| 1.00    | Coeff. Parziale - Coesione efficace                           |
| 1.00    | Coeff. Parziale - Peso dell'unità di volume - favorevole      |
| 1.30    | Coeff. Parziale - Peso dell'unità di volume - sfavorevole     |
| 1.00    | Fs Rottura Rinforzi   |
| 1.00    | Fs Sfilamento Rinforzi  |
| 1.10    | Coeff. parziale R - Scorrimento                               |
| 1.40    | Coeff. parziale R - Capacità portante                         |
| 1.15    | Coeff. parziale R - Ribaltamento                              |





**Verifica di stabilità globale :**

Combinazione di carico : M2 + R2 + Kh±Kv

Calcolo delle forze nei rinforzi col metodo rigido

Ricerca delle superfici critiche col metodo di Bishop

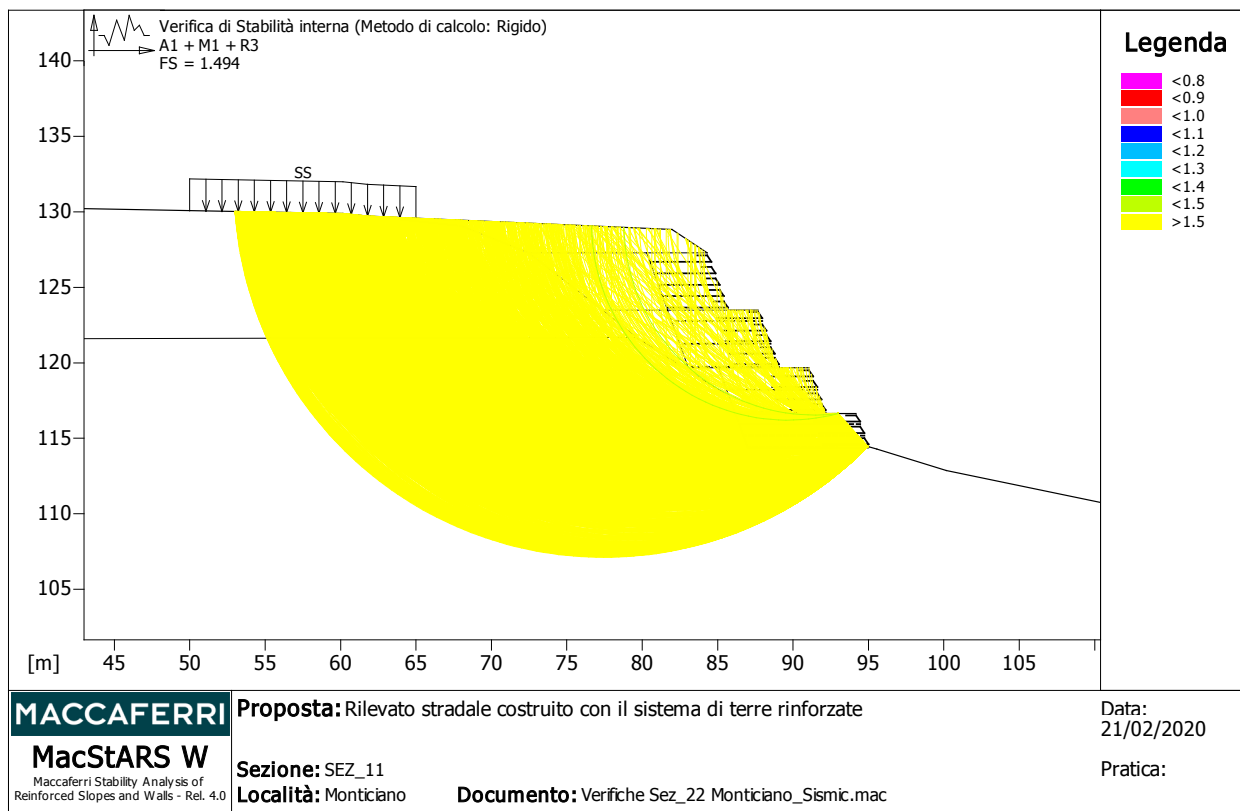
Coefficiente di sicurezza minimo calcolato..... : 1.072

**Intervallo di ricerca delle superfici**

| Segmento di partenza, ascisse [m]                            |               | Segmento di arrivo, ascisse [m] |               |
|--|---------------|---------------------------------|---------------|
| Primo punto  | Secondo punto | Primo punto                     | Secondo punto |
| 50.00  | 93.00         | 106.00                          | 130.00        |
| Numero punti avvio superfici sul segmento di partenza..... : |               | 100                             |               |
| Numero totale superfici di prova..... :                      |               | 1000                            |               |
| Lunghezza segmenti delle superfici..... [m]..... :           |               | 0.50                            |               |
| Angolo limite orario..... [°]..... :                         |               | 0.00                            |               |
| Angolo limite antiorario..... [°]..... :                     |               | 0.00                            |               |

|         |                         |
|---------|-------------------------|
| Fattore | Classe                  |
| 1.00    | Variabile - sfavorevole |

|      |   |
|------|---|
| 1.00 | Sisma   |
| 1.00 | Coeff. Parziale - tangente dell'angolo di resistenza a taglio |
| 1.00 | Coeff. Parziale - Coesione efficace                           |
| 1.00 | Coeff. Parziale - Peso dell'unità di volume - favorevole      |
| 1.00 | Coeff. Parziale - Peso dell'unità di volume - sfavorevole     |
| 1.00 | Fs Rottura Rinforzi   |
| 1.00 | Fs Sfilamento Rinforzi  |
| 1.20 | Coeff. Parziale R - Stabilità                                 |



**Verifica di stabilità interna :**

Combinazione di carico : A1 + M1 + R3

Calcolo delle forze nei rinforzi col metodo rigido

Ricerca delle superfici critiche col metodo di Bishop

Coefficiente di sicurezza minimo calcolato..... : 1.494

Intervallo di ricerca delle superfici

| Blocco   | Segmento di arrivo, ascisse [m] |               |
|--|---------------------------------|---------------|
| TMV_1  | Primo punto                     | Secondo punto |
|  | 93.00                           | 53.00         |
| Numero punti avvio superfici sul segmento di partenza..... : | 1                               |               |
| Numero totale superfici di prova..... :                      | 1000                            |               |
| Lunghezza segmenti delle superfici..... [m]..... :           | 0.50                            |               |
| Angolo limite orario..... [°]..... :                         | 0.00                            |               |
| Angolo limite antiorario..... [°]..... :                     | 0.00                            |               |

Blocco : TMV\_2

Maccaferri - Green Terramesh - 70° - 8/2.7P - 0.76

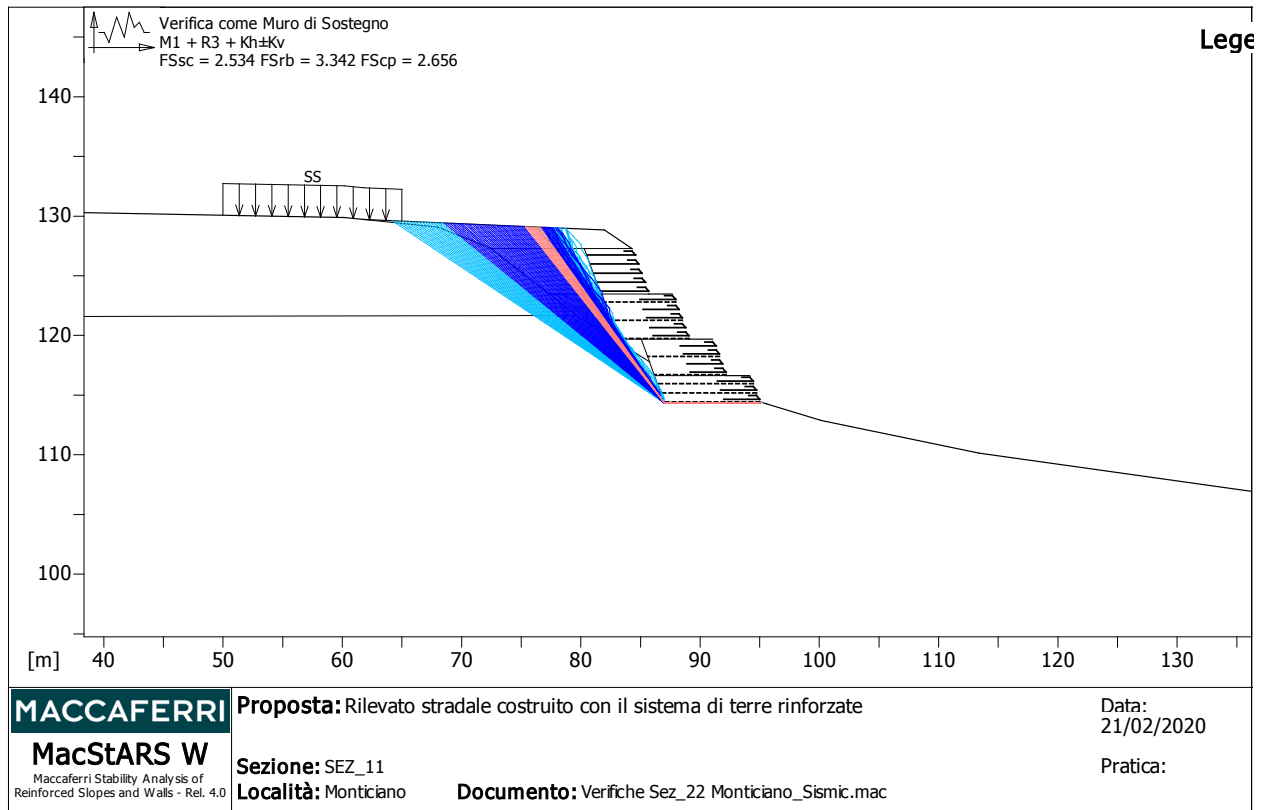
| Y     | Tb      | Tp         | Td     | Tb/Td  | Tp/Td |
|-------|---------|------------|--------|--------|-------|
|       | rottura | sfilamento | agente | 1/Fmax |       |
| [m]   | [kN/m]  | [kN/m]     | [kN/m] |        |       |
| 0.000 | 50.0    | 29.2       | 29.2   | 1.71   | 1.00  |

Blocco : TMV\_2

Linear Composites - ParaGrid - 200\_Seismic

| Y     | Tb      | Tp         | Td     | Tb/Td  | Tp/Td |
|-------|---------|------------|--------|--------|-------|
|       | rottura | sfilamento | agente | 1/Fmax |       |
| [m]   | [kN/m]  | [kN/m]     | [kN/m] |        |       |
| 0.000 | 200.0   | 84.0       | 84.0   | 2.38   | 1.00  |

| Fattore | Classe  |
|---------|---|
| 1.50    | Variabile - sfavorevole                                       |
| 0.00    | Sisma   |
| 1.00    | Coeff. Parziale - tangente dell'angolo di resistenza a taglio |
| 1.00    | Coeff. Parziale - Coesione efficace                           |
| 1.00    | Coeff. Parziale - Peso dell'unità di volume - favorevole      |
| 1.30    | Coeff. Parziale - Peso dell'unità di volume - sfavorevole     |
| 1.00    | Fs Rottura Rinforzi   |
| 1.00    | Fs Sfilamento Rinforzi  |
| 1.00    | Coeff. Parziale R - Stabilità                                 |



**Verifica come muro di sostegno :**

Combinazione di carico : M1 + R3 + Kh±Kv

Stabilità verificata sul blocco : TMV\_1

Forza Stabilizzante.....[kN/m].....: 1043.10

Forza Instabilizzante.....[kN/m].....: 411.66

Classe scorrimento.....: Coeff. parziale R - Scorrimento

Coefficiente di sicurezza allo scorrimento.....: 2.534

Momento Stabilizzante.....[kN\*m/m].....:12497.00

Momento Instabilizzante.....[kN\*m/m].....: 3739.20

Classe momento.....: Coeff. parziale R - Ribaltamento

Coefficiente di sicurezza al ribaltamento.....: 3.342

Pressione ultima calcolata con metodo dell'equilibrio limite.

Pressione ultima.....[kN/m<sup>2</sup>].....: 592.07

Pressione media agente.....[kN/m<sup>2</sup>].....: 185.75

Classe pressione.....: Coeff. parziale R - Capacità portante

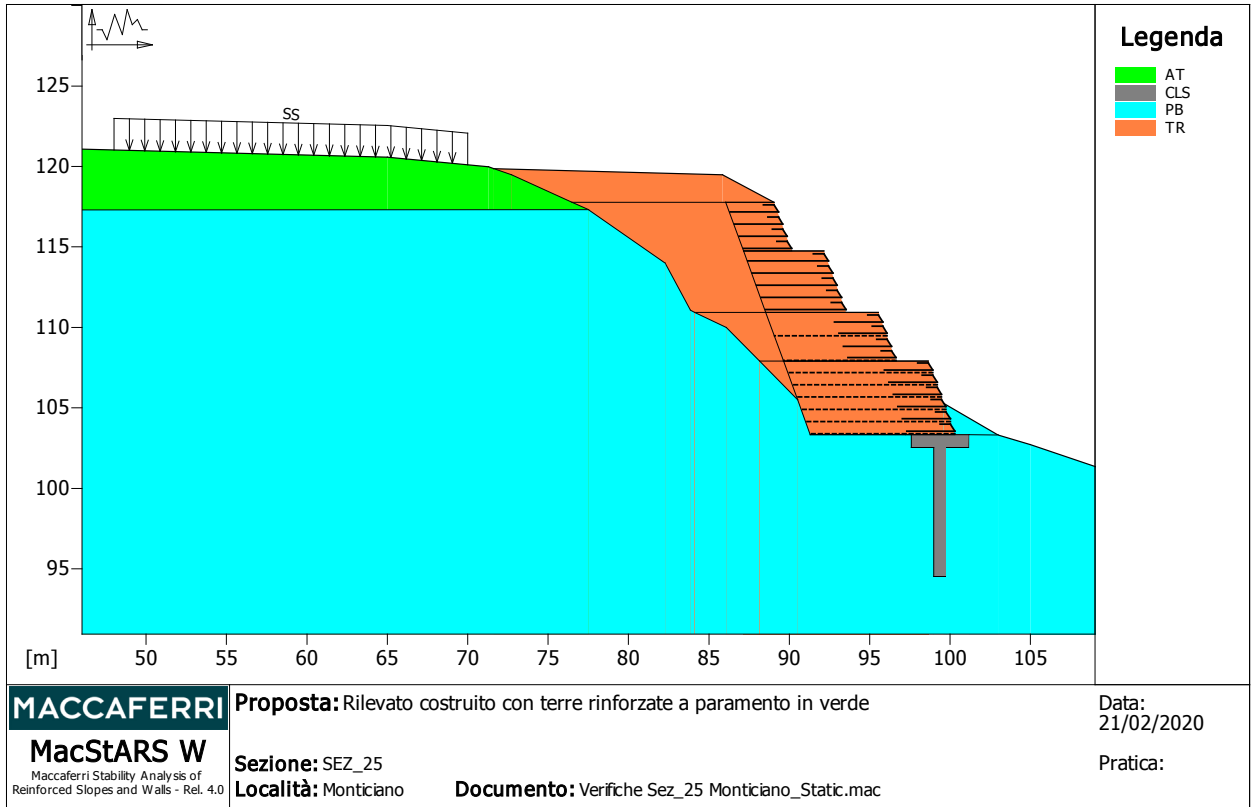
Coefficiente di sicurezza sulla capacità portante.....: 2.656

Fondazione equivalente.....[m].....: 8.00

Eccentricità forza normale.....[m].....: -2.13  
Braccio momento.....[m].....: 9.08  
Forza normale .....[kN].....: 1427.80  
Pressione estremo di valle.....[kN/m<sup>2</sup>].....: -929.83  
Pressione estremo di monte.....[kN/m<sup>2</sup>].....: 1694.95

| Fattore | Classe  |
|---------|---|
| 1.00    | Variabile - sfavorevole                                       |
| 1.00    | Sisma   |
| 1.00    | Coeff. Parziale - tangente dell'angolo di resistenza a taglio |
| 1.00    | Coeff. Parziale - Coesione efficace                           |
| 1.00    | Coeff. Parziale - Peso dell'unità di volume - favorevole      |
| 1.00    | Coeff. Parziale - Peso dell'unità di volume - sfavorevole     |
| 1.00    | Fs Rottura Rinforzi   |
| 1.00    | Fs Sfilamento Rinforzi  |
| 1.00    | Coeff. parziale R - Scorrimento                               |
| 1.20    | Coeff. parziale R - Capacità portante                         |
| 1.00    | Coeff. parziale R – Ribaltamento                              |

**CARATTERISTICHE GEOTECNICHE DEI TERRENI**



**Terreno : AT**                      Descrizione : Alluvioni fluviali terrszzste recenti e antiche  
 Classe coesione..... : Coeff. Parziale - Coesione efficace  
 Coesione.....[kN/m<sup>2</sup>]..... : 10.00  
 Classe d'attrito..... : Coeff. Parziale - tangente dell'angolo di resistenza a taglio  
 Angolo d'attrito.....[°]..... : 25.00  
 Rapporto di pressione interstiziale (Ru)..... : 0.00  
 Classe di peso..... : Coeff. Parziale - Peso dell'unità di volume - sfavorevole  
 Peso specifico sopra falda.....[kN/m<sup>3</sup>]..... : 19.50  
 Peso specifico in falda.....[kN/m<sup>3</sup>]..... : 19.50  
 Modulo elastico.....[kN/m<sup>2</sup>]..... : 0.00  
 Coefficiente di Poisson..... : 0.30

**Terreno : CLS**                      Descrizione : Calcestruzzo  
 Coesione.....[kN/m<sup>2</sup>]..... : 1500.00

Classe d'attrito.....: Coeff. Parziale - tangente dell'angolo di resistenza a taglio  
 Angolo d'attrito.....[°].....: 0.00  
 Rapporto di pressione interstiziale (Ru).....: 0.00  
 Classe di peso.....: Coeff. Parziale - Peso dell'unità di volume - favorevole  
 Peso specifico sopra falda.....[kN/m<sup>3</sup>].....: 25.00  
 Peso specifico in falda.....[kN/m<sup>3</sup>].....: 25.00  
 Modulo elastico.....[kN/m<sup>2</sup>].....: 0.00  
 Coefficiente di Poisson.....: 0.30

**Terreno : PB**                      Descrizione : Argille palombini  
 Classe coesione.....: Coeff. Parziale - Coesione efficace  
 Coesione.....[kN/m<sup>2</sup>].....: 10.00  
 Classe d'attrito.....: Coeff. Parziale - tangente dell'angolo di resistenza a taglio  
 Angolo d'attrito.....[°].....: 28.00  
 Rapporto di pressione interstiziale (Ru).....: 0.00  
 Classe di peso.....: Coeff. Parziale - Peso dell'unità di volume - sfavorevole  
 Peso specifico sopra falda.....[kN/m<sup>3</sup>].....: 20.00  
 Peso specifico in falda.....[kN/m<sup>3</sup>].....: 20.00  
 Modulo elastico.....[kN/m<sup>2</sup>].....: 0.00  
 Coefficiente di Poisson.....: 0.30

**Terreno : TR**                      Descrizione : Terreno di riempimento delle terre rinforzate  
 Classe coesione.....: Coeff. Parziale - Coesione efficace  
 Coesione.....[kN/m<sup>2</sup>].....: 0.00  
 Classe d'attrito.....: Coeff. Parziale - tangente dell'angolo di resistenza a taglio  
 Angolo d'attrito.....[°].....: 35.00  
 Rapporto di pressione interstiziale (Ru).....: 0.00  
 Classe di peso.....: Coeff. Parziale - Peso dell'unità di volume - favorevole  
 Peso specifico sopra falda.....[kN/m<sup>3</sup>].....: 19.00  
 Peso specifico in falda.....[kN/m<sup>3</sup>].....: 18.00  
 Modulo elastico.....[kN/m<sup>2</sup>].....: 0.00  
 Coefficiente di Poisson.....: 0.30



**PROFILI STRATIGRAFICI**

**Strato: STR\_AT**

Descrizione: Strato di Alluvioni fluviali terrszzste recenti e antiche

Terreno : AT

| X     | Y      | X     | Y      | X     | Y      | X     | Y      |
|-------|--------|-------|--------|-------|--------|-------|--------|
| [m]   | [m]    | [m]   | [m]    | [m]   | [m]    | [m]   | [m]    |
| 0.00  | 122.28 | 65.00 | 120.57 | 71.30 | 119.98 | 72.72 | 119.48 |
| 77.52 | 117.31 |       |        |       |        |       |        |

**Strato: STR\_CLS**

Descrizione: Strato di calcestruzzo

Terreno : CLS

| X     | Y      | X      | Y      | X   | Y   | X   | Y   |
|-------|--------|--------|--------|-----|-----|-----|-----|
| [m]   | [m]    | [m]    | [m]    | [m] | [m] | [m] | [m] |
| 97.58 | 103.33 | 101.18 | 103.33 |     |     |     |     |

**Strato: STR\_PB**

Descrizione: Strato di argille e palombini

Terreno : PB

| X      | Y      | X      | Y      | X      | Y      | X      | Y      |
|--------|--------|--------|--------|--------|--------|--------|--------|
| [m]    | [m]    | [m]    | [m]    | [m]    | [m]    | [m]    | [m]    |
| 0.00   | 117.28 | 77.51  | 117.31 | 82.29  | 114.00 | 83.85  | 111.07 |
| 86.09  | 110.00 | 92.51  | 103.47 | 97.58  | 103.33 | 97.58  | 102.53 |
| 98.98  | 102.53 | 98.98  | 94.53  | 99.78  | 94.53  | 99.78  | 102.53 |
| 101.18 | 102.53 | 101.18 | 103.33 | 102.99 | 103.31 | 105.00 | 102.72 |
| 142.39 | 90.06  |        |        |        |        |        |        |

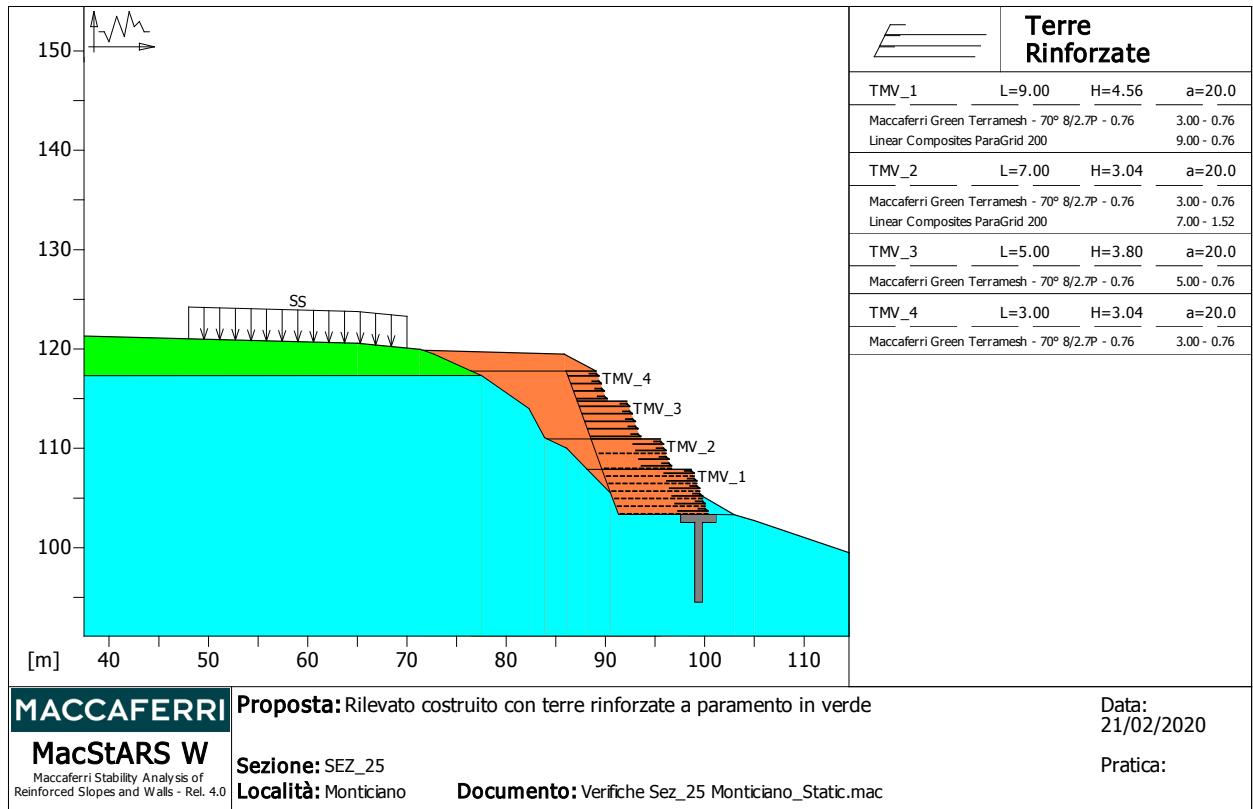
**Strato: STR\_PB1**

Descrizione: Strato di argille palombini

Terreno : PB

| X     | Y      | X      | Y      | X   | Y   | X   | Y   |
|-------|--------|--------|--------|-----|-----|-----|-----|
| [m]   | [m]    | [m]    | [m]    | [m] | [m] | [m] | [m] |
| 99.57 | 105.30 | 102.99 | 103.31 |     |     |     |     |

**BLOCCHI RINFORZATI**



**Blocco : TMV\_1**

Dati principali.....[m].....: Larghezza..... = 9.00 Altezza..... = 4.56  
 Coordinate Origine...[m].....: Ascissa..... = 100.30 Ordinata..... = 103.34  
 Inclinazione paramento.....[°]...: 20.00

Rilevato strutturale - materiale tipo.....: Sabbia  
 Rilevato strutturale.....: TR  
 Terreno di riempimento a tergo.....: TR  
 Terreno di copertura.....: TR  
 Terreno di fondazione.....: PB

Parametri per il calcolo della capacità portante con Brinch Hansen, Vesic o Meyerhof

Affondamento fondazione.....[m] : 0.00  
 Inclinazione pendio a valle.....[°] : 0.00

**Rinforzi :**

Maccaferri - Green Terramesh - 70° - 8/2.7P - 0.76

Lunghezza.....[m]..... = 3.00

Interasse.....[m]..... = 0.76

Risolto.....[m]..... = 0.65

Linear Composites - ParaGrid - 200

Lunghezza.....[m]..... = 9.00

Interasse verticale.....[m]..... = 0.76

Offset.....[m]..... = 0.00

**Blocco : TMV\_2**

Dati principali.....[m].....: Larghezza..... = 7.00 Altezza..... = 3.04

Arretramento.....[m]..... = 2.00 da TMV\_1

Inclinazione paramento.....[°].....: 20.00

Rilevato strutturale - materiale tipo.....: Sabbia

Rilevato strutturale.....: TR

Terreno di riempimento a tergo.....: TR

Terreno di copertura.....: TR

Terreno di fondazione.....: TR

Parametri per il calcolo della capacità portante com Brinch Hansen, Vesic o Meyerhof

Affondamento fondazione.....[m] : 0.00

Inclinazione pendio a valle.....[°] : 0.00

**Rinforzi :**

Maccaferri - Green Terramesh - 70° - 8/2.7P - 0.76

Lunghezza.....[m]..... = 3.00

Interasse.....[m]..... = 0.76

Risolto.....[m]..... = 0.65

Linear Composites - ParaGrid - 200

Lunghezza.....[m]..... = 7.00

Interasse verticale.....[m]..... = 1.52

Offset.....[m]..... = 0.00

**Blocco : TMV\_3**

Dati principali.....[m].....: Larghezza..... = 5.00 Altezza..... = 3.80

Arretramento.....[m].....= 2.00 da TMV\_2

Inclinazione paramento.....[°]...: 20.00

Rilevato strutturale - materiale tipo.....: Sabbia

Rilevato strutturale.....: TR

Terreno di riempimento a tergo.....: TR

Terreno di copertura.....: TR

Terreno di fondazione.....: TR

Parametri per il calcolo della capacità portante com Brinch Hansen, Vesic o Meyerhof

Affondamento fondazione.....[m] : 0.00

Inclinazione pendio a valle.....[°] : 0.00

**Rinforzi :**

Maccaferri - Green Terramesh - 70° - 8/2.7P - 0.76

Lunghezza.....[m].....= 5.00

Interasse.....[m].....= 0.76

Risolto.....[m].....= 0.65

**Blocco : TMV\_4**

Dati principali.....[m].....: Larghezza.....= 3.00 Altezza.....= 3.04

Arretramento.....[m].....= 2.00 da TMV\_3

Inclinazione paramento.....[°]...: 20.00

Rilevato strutturale - materiale tipo.....: Sabbia

Rilevato strutturale.....: TR

Terreno di riempimento a tergo.....: TR

Terreno di copertura.....: TR

Terreno di fondazione.....: TR

Parametri per il calcolo della capacità portante com Brinch Hansen, Vesic o Meyerhof

Affondamento fondazione.....[m] : 0.00

Inclinazione pendio a valle.....[°] : 0.00

**Rinforzi :**

Maccaferri - Green Terramesh - 70° - 8/2.7P - 0.76

Lunghezza.....[m].....= 3.00

Interasse.....[m].....= 0.76

Risolto.....[m].....= 0.65

**Profilo di ricopertura:**

| X    | Y    | X    | Y    | X     | Y    | X   | Y   |
|------|------|------|------|-------|------|-----|-----|
| [m]  | [m]  | [m]  | [m]  | [m]   | [m]  | [m] | [m] |
| 0.00 | 0.00 | 3.20 | 1.70 | 18.00 | 2.10 |     |     |

**CARICHI**

**Pressione : SS** Descrizione : Sovraccarico stradale

Classe : Variabile - sfavorevole

Intensità.....[kN/m<sup>2</sup>]..= 20.00 Inclinazione.....[°]..= 0.00

Ascissa.....[m] : Da = 48.00 To = 70.00

**Sisma :**

Classe : Sisma

Accelerazione.....[m/s<sup>2</sup>]: Orizzontale...= 0.93 Verticale.....= 0.47

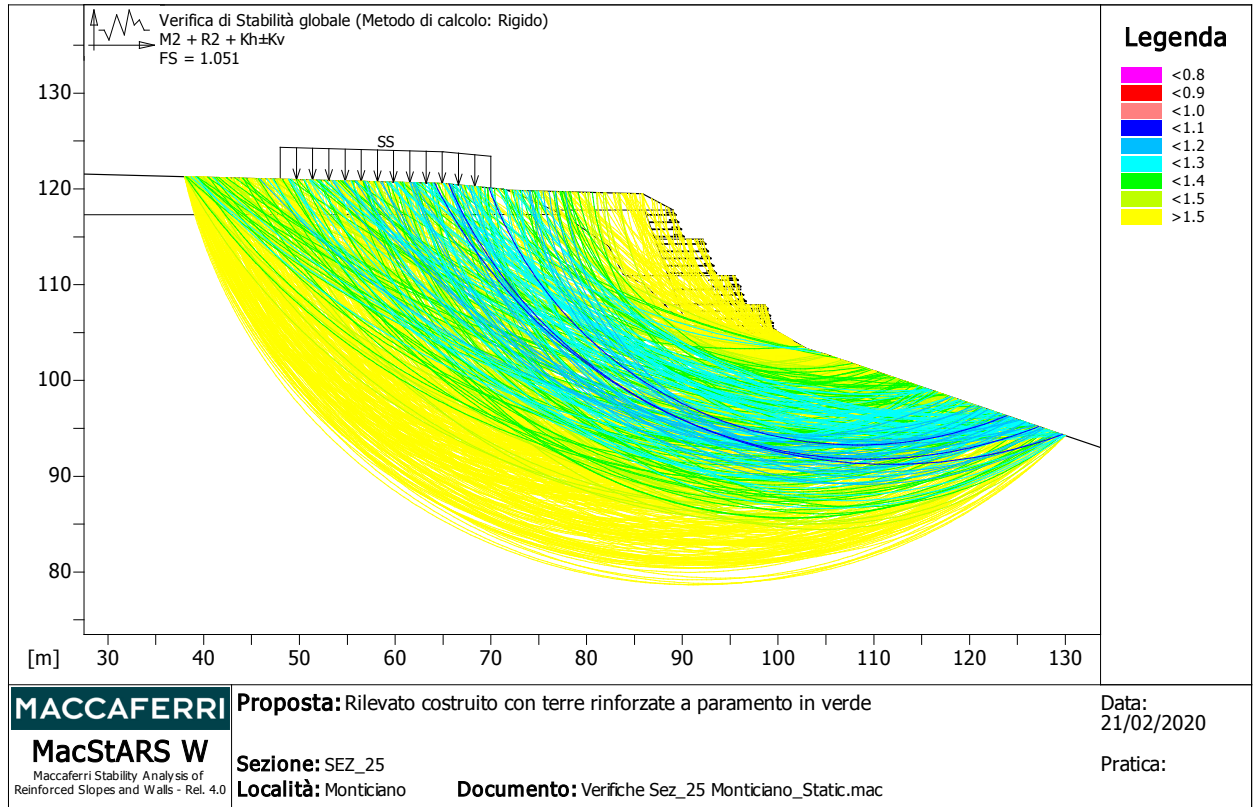
**PROPRIETA' DEI RINFORZI UTILIZZATI**

Linear Composites - ParaGrid - 200

|   |                            |          |
|---|----------------------------|----------|
| Carico di rottura Nominale Tr .....                   | [kN/m].....:               | 200.00   |
| Rapporto di Scorrimento plastico.....                 | :                          | 0.00     |
| Coefficiente di Scorrimento elastico.....             | [m <sup>3</sup> /kN].....: | 1.10e-04 |
| Rigidezza estensionale.....                           | [kN/m].....:               | 2222.00  |
| Lunghezza minima di ancoraggio.....                   | [m].....:                  | 0.15     |
| Coefficiente di sicurezza alla rottura (ghiaia).....  | :                          | 1.52     |
| Coefficiente di sicurezza al Pull-out.....            | :                          | 1.00     |
| Coefficiente di sicurezza alla rottura (sabbia).....  | :                          | 1.51     |
| Coefficiente di sicurezza al Pull-out.....            | :                          | 1.00     |
| Coefficiente di sicurezza alla rottura (limo).....    | :                          | 1.51     |
| Coefficiente di sicurezza al Pull-out .....           | :                          | 1.00     |
| Coefficiente di sicurezza alla rottura (argilla)..... | :                          | 1.51     |
| Coefficiente di sicurezza al Pull-out.....            | :                          | 1.00     |
| Coefficiente di interazione rinforzo-rinforzo         | :                          | 0.25     |
| Coefficiente di sfilamento rinforzo-ghiaia.....       | :                          | 0.90     |

|   |                           |          |
|---|---------------------------|----------|
| Coefficiente di sfilamento rinforzo-sabbia.....       | :                         | 0.90     |
| Coefficiente di sfilamento rinforzo-limo.....         | :                         | 0.70     |
| Coefficiente di sfilamento rinforzo-argilla.....      | :                         | 0.40     |
| Maccaferri - Green Terramesh - 70° - 8/2.7P - 0.76    |                           |          |
| Carico di rottura Nominale Tr .....                   | [kN/m].....               | 50.00    |
| Rapporto di Scorrimento plastico.....                 | :                         | 2.00     |
| Coefficiente di Scorrimento elastico.....             | [m <sup>3</sup> /kN]..... | 1.10e-04 |
| Rigidezza estensionale.....                           | [kN/m].....               | 500.00   |
| Lunghezza minima di ancoraggio.....                   | [m].....                  | 0.15     |
| Coefficiente di sicurezza alla rottura (ghiaia).....  | :                         | 1.26     |
| Coefficiente di sicurezza al Pull-out.....            | :                         | 1.00     |
| Coefficiente di sicurezza alla rottura (sabbia).....  | :                         | 1.09     |
| Coefficiente di sicurezza al Pull-out.....            | :                         | 1.00     |
| Coefficiente di sicurezza alla rottura (limo).....    | :                         | 1.09     |
| Coefficiente di sicurezza al Pull-out .....           | :                         | 1.00     |
| Coefficiente di sicurezza alla rottura (argilla)..... | :                         | 1.09     |
| Coefficiente di sicurezza al Pull-out.....            | :                         | 1.00     |
| Coefficiente di interazione rinforzo-rinforzo         | :                         | 0.30     |
| Coefficiente di sfilamento rinforzo-ghiaia.....       | :                         | 0.90     |
| Coefficiente di sfilamento rinforzo-sabbia.....       | :                         | 0.65     |
| Coefficiente di sfilamento rinforzo-limo.....         | :                         | 0.50     |
| Coefficiente di sfilamento rinforzo-argilla.....      | :                         | 0.30     |

**VERIFICHE**



**Verifica di stabilità globale :**

Combinazione di carico : M2 + R2 + Kh±Kv

Calcolo delle forze nei rinforzi col metodo rigido

Ricerca delle superfici critiche col metodo di Bishop

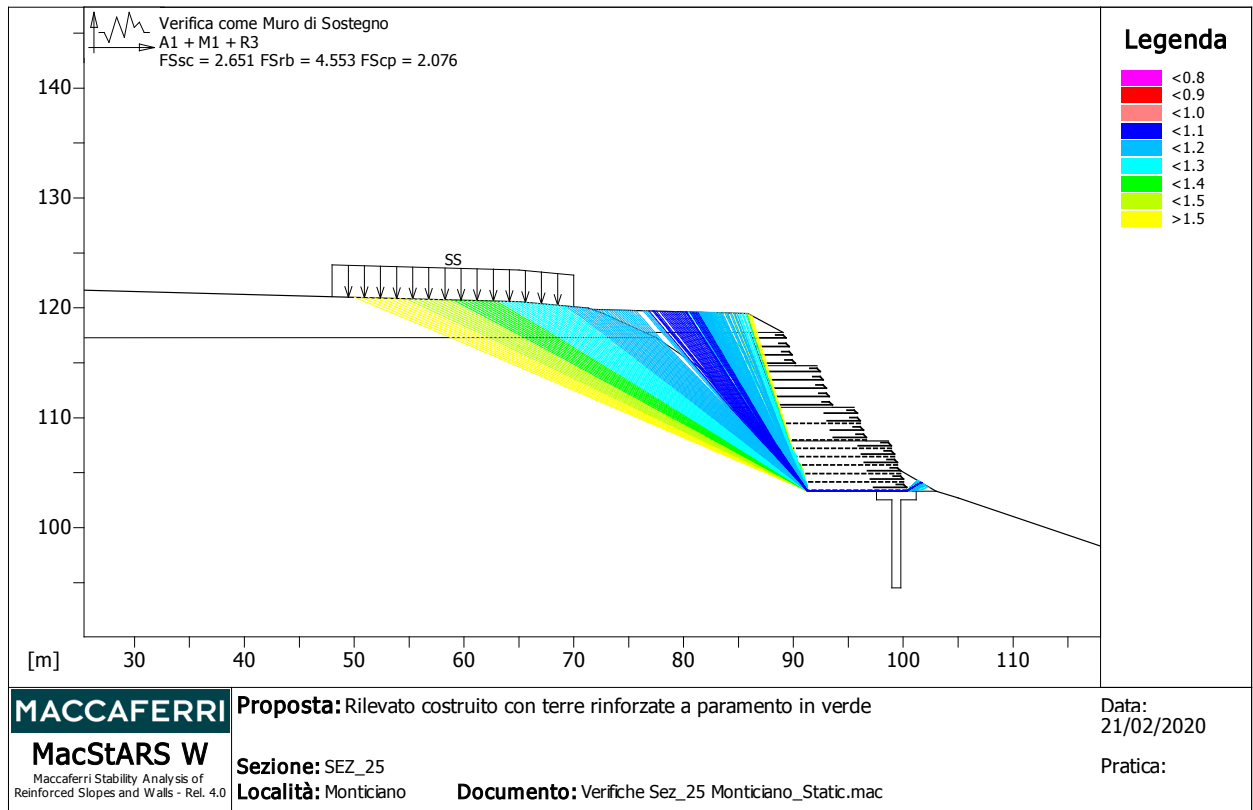
Coefficiente di sicurezza minimo calcolato..... : 1.051

**Intervallo di ricerca delle superfici**

| Segmento di partenza, ascisse [m]                            |               | Segmento di arrivo, ascisse [m] |               |
|--|---------------|---------------------------------|---------------|
| Primo punto  | Secondo punto | Primo punto                     | Secondo punto |
| 102.50   | 130.00        | 38.00                           | 101.50        |
| Numero punti avvio superfici sul segmento di partenza..... : |               | 100                             |               |
| Numero totale superfici di prova..... :                      |               | 1000                            |               |
| Lunghezza segmenti delle superfici..... [m]..... :           |               | 0.50                            |               |
| Angolo limite orario..... [°]..... :                         |               | 0.00                            |               |
| Angolo limite antiorario..... [°]..... :                     |               | 0.00                            |               |

| Fattore | Classe  |
|---------|---|
| 1.00    | Variabile - sfavorevole                                       |
| 1.00    | Sisma   |
| 1.00    | Coeff. Parziale - tangente dell'angolo di resistenza a taglio |
| 1.00    | Coeff. Parziale - Coesione efficace                           |
| 1.00    | Coeff. Parziale - Peso dell'unità di volume - favorevole      |
| 1.00    | Coeff. Parziale - Peso dell'unità di volume - sfavorevole     |
| 1.00    | Fs Rottura Rinforzi   |
| 1.00    | Fs Sfilamento Rinforzi  |
| 1.20    | Coeff. Parziale R - Stabilità                                 |





**Verifica come muro di sostegno :**

Combinazione di carico : A1 + M1 + R3

Stabilità verificata sul blocco : TMV\_1

Forza Stabilizzante.....[kN/m]..... : 1035.40

Forza Instabilizzante.....[kN/m]..... : 355.04

Classe scorrimento.....: Coeff. parziale R - Scorrimento

Coefficiente di sicurezza allo scorrimento..... : 2.651

Momento Stabilizzante.....[kN\*m/m].....:13596.00

Momento Instabilizzante.....[kN\*m/m].....: 2596.50

Classe momento.....: Coeff. parziale R - Ribaltamento

Coefficiente di sicurezza al ribaltamento..... : 4.553

Pressione ultima calcolata con metodo dell'equilibrio limite.

Pressione ultima.....[kN/m<sup>2</sup>]..... : 585.46

Pressione media agente.....[kN/m<sup>2</sup>]..... : 201.45

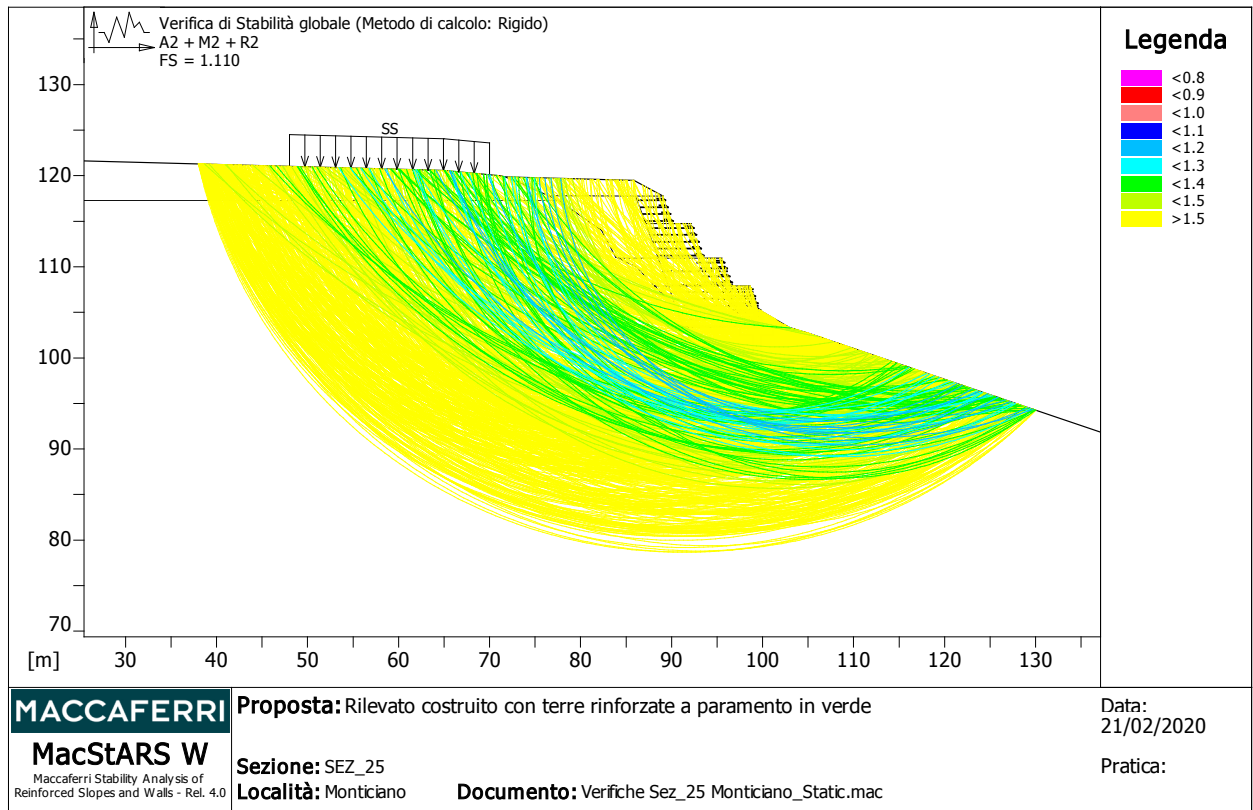
Classe pressione.....: Coeff. parziale R - Capacità portante

Coefficiente di sicurezza sulla capacità portante..... : 2.076

Fondazione equivalente.....[m]..... : 9.00

Eccentricità forza normale.....[m].....: -1.69  
Braccio momento.....[m].....: 7.31  
Forza normale.....[kN].....: 1777.90  
Pressione estremo di valle.....[kN/m<sup>2</sup>].....: -252.42  
Pressione estremo di monte.....[kN/m<sup>2</sup>].....: 884.40

| Fattore | Classe  |
|---------|---|
| 1.50    | Variabile - sfavorevole                                       |
| 0.00    | Sisma   |
| 1.00    | Coeff. Parziale - tangente dell'angolo di resistenza a taglio |
| 1.00    | Coeff. Parziale - Coesione efficace                           |
| 1.00    | Coeff. Parziale - Peso dell'unità di volume - favorevole      |
| 1.30    | Coeff. Parziale - Peso dell'unità di volume - sfavorevole     |
| 1.00    | Fs Rottura Rinforzi   |
| 1.00    | Fs Sfilamento Rinforzi  |
| 1.10    | Coeff. parziale R - Scorrimento                               |
| 1.40    | Coeff. parziale R - Capacità portante                         |
| 1.15    | Coeff. parziale R - Ribaltamento                              |



**Verifica di stabilità globale :**

Combinazione di carico : A2 + M2 + R2

Calcolo delle forze nei rinforzi col metodo rigido

Ricerca delle superfici critiche col metodo di Bishop

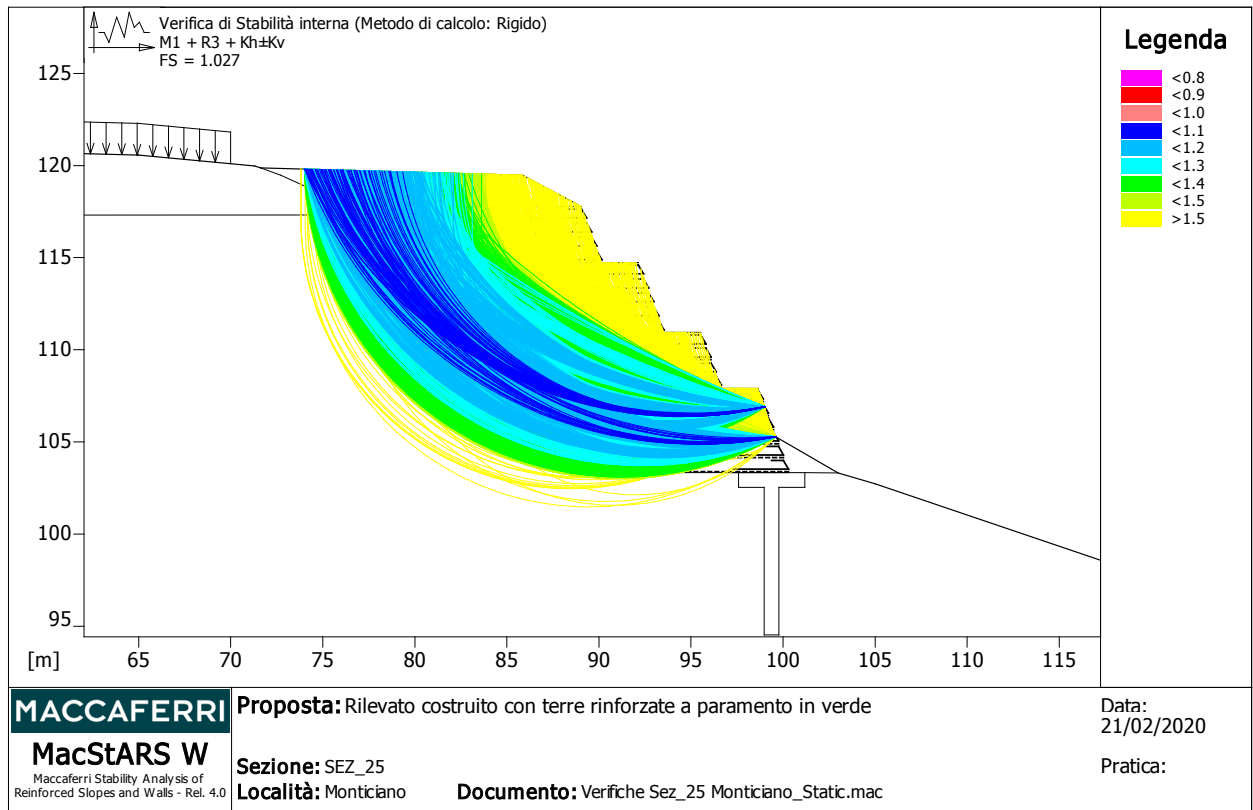
Coefficiente di sicurezza minimo calcolato..... : 1.110

**Intervallo di ricerca delle superfici**

| Segmento di partenza, ascisse [m]                            |               | Segmento di arrivo, ascisse [m] |               |
|--|---------------|---------------------------------|---------------|
| Primo punto  | Secondo punto | Primo punto                     | Secondo punto |
| 102.50   | 130.00        | 38.00                           | 101.50        |
| Numero punti avvio superfici sul segmento di partenza..... : |               | 100                             |               |
| Numero totale superfici di prova..... :                      |               | 1000                            |               |
| Lunghezza segmenti delle superfici..... [m]..... :           |               | 0.50                            |               |
| Angolo limite orario..... [°]..... :                         |               | 0.00                            |               |
| Angolo limite antiorario..... [°]..... :                     |               | 0.00                            |               |

|         |                         |
|---------|-------------------------|
| Fattore | Classe                  |
| 1.30    | Variabile - sfavorevole |

|      |   |
|------|---|
| 0.00 | Sisma   |
| 1.25 | Coeff. Parziale - tangente dell'angolo di resistenza a taglio |
| 1.25 | Coeff. Parziale - Coesione efficace                           |
| 1.00 | Coeff. Parziale - Peso dell'unità di volume - favorevole      |
| 1.00 | Coeff. Parziale - Peso dell'unità di volume - sfavorevole     |
| 1.00 | Fs Rottura Rinforzi   |
| 1.00 | Fs Sfilamento Rinforzi  |
| 1.10 | Coeff. Parziale R - Stabilità                                 |



**Verifica di stabilità interna :**

Combinazione di carico : M1 + R3 + Kh±Kv

Calcolo delle forze nei rinforzi col metodo rigido

Ricerca delle superfici critiche col metodo di Bishop

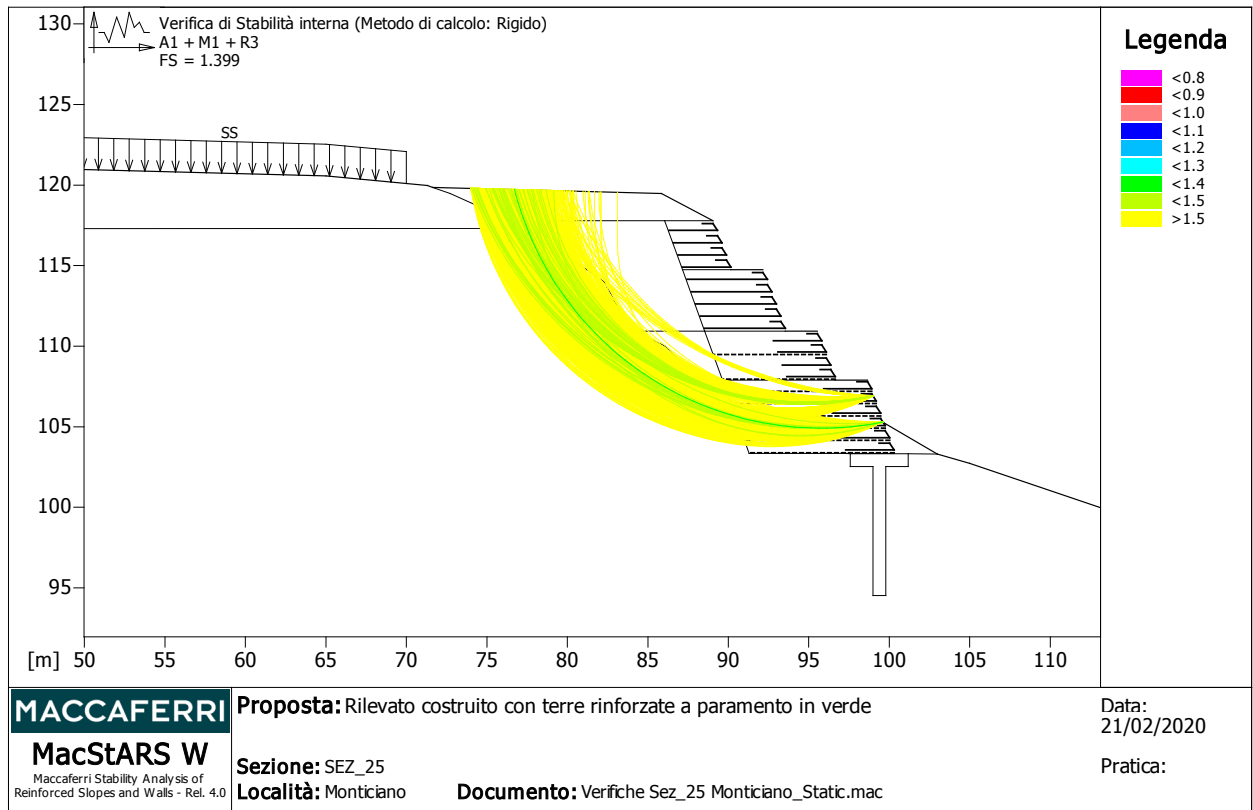
Coefficiente di sicurezza minimo calcolato..... : 1.027

Intervallo di ricerca delle superfici

| Blocco   | Segmento di arrivo, ascisse [m] |               |
|--|---------------------------------|---------------|
| TMV_1  | Primo punto                     | Secondo punto |
|  | 99.00                           | 74.00         |
| Numero punti avvio superfici sul segmento di partenza..... : | 1                               |               |
| Numero totale superfici di prova..... :                      | 1000                            |               |
| Lunghezza segmenti delle superfici..... [m]..... :           | 0.50                            |               |
| Angolo limite orario..... [°]..... :                         | 0.00                            |               |
| Angolo limite antiorario..... [°]..... :                     | 0.00                            |               |

| Fattore | Classe                  |
|---------|-------------------------|
| 1.00    | Variabile - sfavorevole |

|      |   |
|------|---|
| 1.00 | Sisma   |
| 1.00 | Coeff. Parziale - tangente dell'angolo di resistenza a taglio |
| 1.00 | Coeff. Parziale - Coesione efficace                           |
| 1.00 | Coeff. Parziale - Peso dell'unità di volume - favorevole      |
| 1.00 | Coeff. Parziale - Peso dell'unità di volume - sfavorevole     |
| 1.00 | Fs Rottura Rinforzi   |
| 1.00 | Fs Sfilamento Rinforzi  |
| 1.20 | Coeff. Parziale R - Stabilità                                 |



**Verifica di stabilità interna :**

Combinazione di carico : A1 + M1 + R3

Calcolo delle forze nei rinforzi col metodo rigido

Ricerca delle superfici critiche col metodo di Bishop

Coefficiente di sicurezza minimo calcolato..... : 1.399

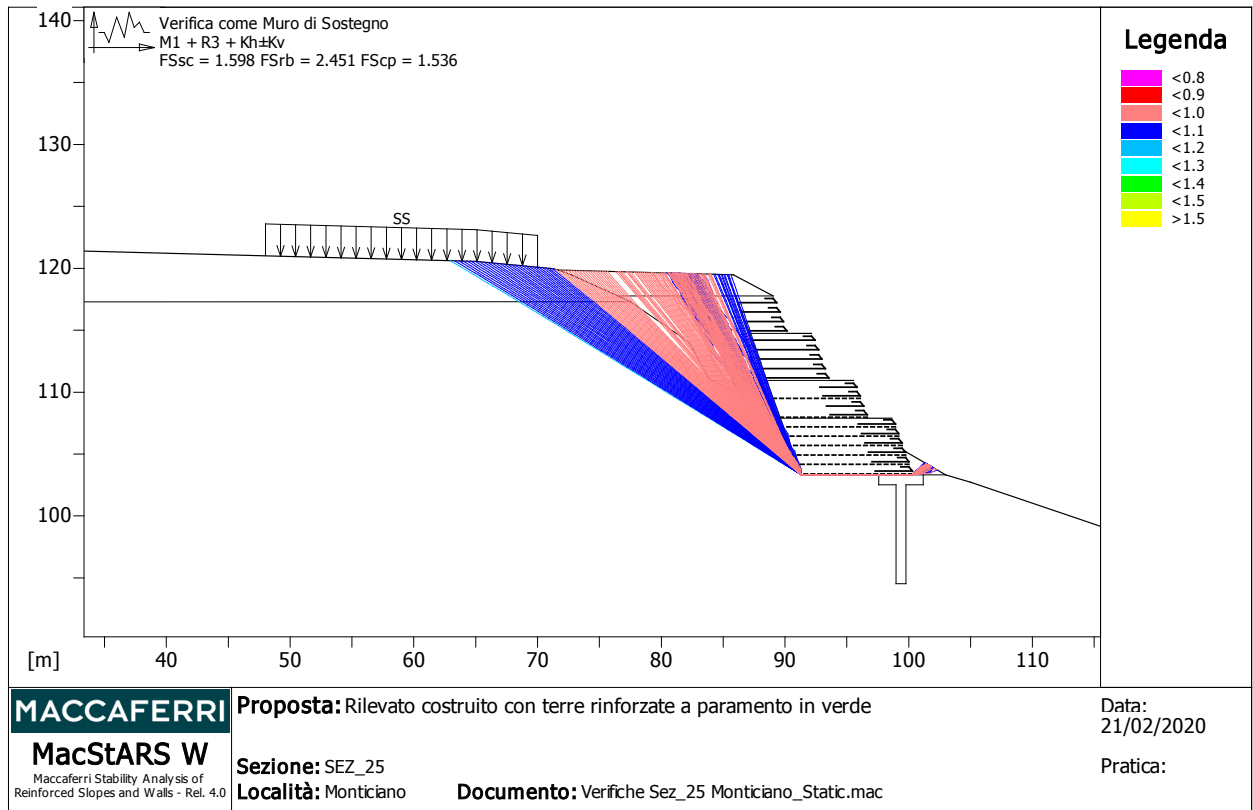
Intervallo di ricerca delle superfici

| Blocco   | Segmento di arrivo, ascisse [m] |               |
|--|---------------------------------|---------------|
| TMV_1  | Primo punto                     | Secondo punto |
|  | 99.00                           | 74.00         |
| Numero punti avvio superfici sul segmento di partenza..... : | 1                               |               |
| Numero totale superfici di prova..... :                      | 1000                            |               |
| Lunghezza segmenti delle superfici..... [m]..... :           | 0.50                            |               |
| Angolo limite orario..... [°]..... :                         | 0.00                            |               |
| Angolo limite antiorario..... [°]..... :                     | 0.00                            |               |

|         |                         |
|---------|-------------------------|
| Fattore | Classe                  |
| 1.50    | Variabile - sfavorevole |

|      |   |
|------|---|
| 0.00 | Sisma   |
| 1.00 | Coeff. Parziale - tangente dell'angolo di resistenza a taglio |
| 1.00 | Coeff. Parziale - Coesione efficace                           |
| 1.00 | Coeff. Parziale - Peso dell'unità di volume - favorevole      |
| 1.30 | Coeff. Parziale - Peso dell'unità di volume - sfavorevole     |
| 1.00 | Fs Rottura Rinforzi   |
| 1.00 | Fs Sfilamento Rinforzi  |
| 1.00 | Coeff. Parziale R - Stabilità                                 |





**Verifica come muro di sostegno :**

Combinazione di carico : M1 + R3 + Kh±Kv

Stabilità verificata sul blocco : TMV\_1

Forza Stabilizzante.....[kN/m].....: 988.32

Forza Instabilizzante.....[kN/m].....: 618.62

Classe scorrimento.....: Coeff. parziale R - Scorrimento

Coefficiente di sicurezza allo scorrimento.....: 1.598

Momento Stabilizzante.....[kN\*m/m].....:13595.00

Momento Instabilizzante.....[kN\*m/m].....: 5547.30

Classe momento.....: Coeff. parziale R - Ribaltamento

Coefficiente di sicurezza al ribaltamento.....: 2.451

Pressione ultima calcolata con metodo dell'equilibrio limite.

Pressione ultima.....[kN/m<sup>2</sup>].....: 368.58

Pressione media agente.....[kN/m<sup>2</sup>].....: 199.91

Classe pressione.....: Coeff. parziale R - Capacità portante

Coefficiente di sicurezza sulla capacità portante.....: 1.536

Fondazione equivalente.....[m].....: 9.00

Eccentricità forza normale.....[m].....: -0.26  
Braccio momento.....[m].....: 8.97  
Forza normale.....[kN].....: 1689.50  
Pressione estremo di valle.....[kN/m<sup>2</sup>].....: 162.20  
Pressione estremo di monte.....[kN/m<sup>2</sup>].....: 236.60

| Fattore | Classe  |
|---------|---|
| 1.00    | Variabile - sfavorevole                                       |
| 1.00    | Sisma   |
| 1.00    | Coeff. Parziale - tangente dell'angolo di resistenza a taglio |
| 1.00    | Coeff. Parziale - Coesione efficace                           |
| 1.00    | Coeff. Parziale - Peso dell'unità di volume - favorevole      |
| 1.00    | Coeff. Parziale - Peso dell'unità di volume - sfavorevole     |
| 1.00    | Fs Rottura Rinforzi   |
| 1.00    | Fs Sfilamento Rinforzi  |
| 1.00    | Coeff. parziale R - Scorrimento                               |
| 1.20    | Coeff. parziale R - Capacità portante                         |
| 1.00    | Coeff. parziale R - Ribaltamento                              |